

# Geometria 2

Marco Ambrogio Bergamo

Anno 2023-2024

## Indice

<b>I</b>	<b>Topologia algebrica</b>	<b>4</b>
<b>1</b>	<b>Omotopia e gruppo fondamentale</b>	<b>4</b>
1.1	Omotopia ed equivalenza omotopica . . . . .	4
1.1.1	Spazio contraibile . . . . .	6
1.2	Cammini e funtore $\pi_0$ . . . . .	6
1.3	Categorie e Funtori . . . . .	7
1.4	Omotopia di cammini . . . . .	8
1.4.1	Altri risultati utili . . . . .	9
1.5	Gruppo fondamentale . . . . .	9
1.5.1	Invarianza del gruppo fondamentale per equivalenza omotopica . . . . .	10
1.6	Retrazioni e Deformazioni e Bouquet . . . . .	11
<b>2</b>	<b>Gruppo fondamentale di <math>S^1</math>, sollevamenti e applicazioni</b>	<b>11</b>
2.1	Lemma del numero di Lebesgue . . . . .	11
2.2	Rivestimenti e Sollevamenti . . . . .	12
2.2.1	Unicit� del sollevamento . . . . .	12
2.3	Applicazioni: teoremi di Brouwer, Borsuk e teorema fondamentale dell'algebra . . . . .	15
<b>3</b>	<b>Gruppi liberi e presentazioni</b>	<b>17</b>
3.1	Costruzione di gruppi liberi . . . . .	17
3.2	Relazione tra gruppi e gruppi liberi . . . . .	18
3.3	Presentazioni . . . . .	18
<b>4</b>	<b>Prodotto libero e Teorema di Van Kampen</b>	<b>19</b>
4.1	Prodotto libero di gruppi . . . . .	19
4.2	Teorema di Van Kampen . . . . .	19
<b>II</b>	<b>Geometria differenziale</b>	<b>22</b>
<b>5</b>	<b>Curve</b>	<b>22</b>
5.1	Lunghezza d'arco e Curvatura . . . . .	23
5.1.1	Prodotto vettoriale e isometrie . . . . .	23
5.1.2	Prodotto scalare e vettoriale di funzioni lisce . . . . .	24
5.2	Triedro di Frenet . . . . .	24
5.2.1	Teorema fondamentale della teoria locale delle curve . . . . .	26
5.3	Curve geometriche . . . . .	27
<b>6</b>	<b>Calcolo differenziale in pi� variabili</b>	<b>28</b>
6.1	Teoremi vari . . . . .	28
6.1.1	Teorema della funzione implicita . . . . .	28
6.1.2	Forme canoniche locali . . . . .	29

<b>7</b>	<b>Varietà</b>	<b>30</b>
7.1	Teoremi sulle Varietà . . . . .	31
7.1.1	Teorema del Valore regolare . . . . .	31
7.1.2	Teoremi locali . . . . .	32
7.2	Carte e Atlanti . . . . .	34
7.3	Funzioni su e applicazioni fra varietà . . . . .	34
7.4	Spazi tangenti . . . . .	35
7.4.1	Differenziale . . . . .	36
7.5	Omeomorfismi e Diffeomorfismi locali . . . . .	37
7.6	Orientazione di varietà . . . . .	38
<b>8</b>	<b>Superfici</b>	<b>39</b>
8.1	Prima forma fondamentale . . . . .	39
8.1.1	Parametrizzazioni ortogonali . . . . .	41
8.2	Seconda forma fondamentale . . . . .	41
8.3	Curvatura . . . . .	42
8.3.1	Curvatura normale . . . . .	42
8.3.2	Sezione normale . . . . .	43
8.3.3	Curvature principali e classificazione dei punti di una superficie . . . . .	43
8.3.4	Matrice dell'operatore di Weingarten . . . . .	45
8.3.5	Altri risultati sulla curvatura . . . . .	46
8.4	Coordinate polari e cilindriche e Superfici di rivoluzione . . . . .	46
8.4.1	Coordinate . . . . .	46
8.4.2	Superfici di rotazione . . . . .	46
<b>9</b>	<b>Derivata covariante, Simboli di Christoffel e Teorema Egregium</b>	<b>48</b>
9.1	Campi vettoriali . . . . .	48
9.1.1	Campi vettoriali su superficie e Campi tangenti . . . . .	48
9.2	Derivata covariante . . . . .	48
9.2.1	Campi coordinati . . . . .	48
9.3	Simboli di Christoffel . . . . .	49
9.3.1	Formula chiusa dei simboli di Christoffel . . . . .	49
9.3.2	Formula chiusa della Curvatura Gaussiana . . . . .	50
<b>10</b>	<b>Isometrie tra superfici - geometria intrinseca</b>	<b>51</b>
<b>11</b>	<b>Trasporto Parallelo e Geodetiche</b>	<b>52</b>
11.1	Campo tangente e Derivata covariante lungo una curva . . . . .	52
11.1.1	Campo Parallelo . . . . .	53
11.2	Trasporto Parallelo . . . . .	53
11.2.1	Isometrie e Trasporto parallelo . . . . .	53
11.3	Geodetiche . . . . .	54
<b>12</b>	<b>Teorema di Gauss - Bonnet</b>	<b>55</b>
12.1	Valore algebrico della derivata covariante e Curvatura geodetica . . . . .	55
12.1.1	Angolo tra campi tangenti lungo una curva . . . . .	55
12.2	Curve regolari a tratti, chiuse e semplici e Regione poligonale semplice . . . . .	56
12.2.1	Teorema delle tangenti di Heinz Hopf . . . . .	57
12.3	Gauss - Bonnet locale . . . . .	57
12.4	Triangolazioni . . . . .	58
12.4.1	Teoremi sulle triangolazioni . . . . .	58
12.5	Gauss - Bonnet globale . . . . .	58
<b>III</b>	<b>Recap</b>	<b>60</b>
<b>13</b>	<b>Geometria algebrica</b>	<b>60</b>
13.1	Gruppi fondamentali . . . . .	60
<b>14</b>	<b>Geometria differenziale</b>	<b>60</b>
14.1	Curve e curvature . . . . .	60

## Legenda

- $I = [0, 1]$  con topologia euclidea (è il "tempo")
- le funzione con cui lavoreremo sono tutte continue, quindi lo omettiamo

## Parte I

# Topologia algebrica

## 1 Omotopia e gruppo fondamentale

### 1.1 Omotopia ed equivalenza omotopica

**Definizione 1.1 (Omotopia):** tra due funzioni  $f_0, f_1 : X \rightarrow Y$  è un'applicazione

$$H : X \times I \rightarrow Y \text{ continua} \quad \text{tale che} \quad \begin{aligned} H(x, 0) &= f_0(x) \quad \forall x \in X \\ H(x, 1) &= f_1(x) \quad \forall x \in X \end{aligned}$$

**Definizione 1.2 (Funzioni omotope):**  $X, Y$  sp. top.,  $f_0, f_1 : X \rightarrow Y$  continue sono omotope ( $f_0 \sim f_1$ ) se esiste un'omotopia da  $f_0$  a  $f_1$ .

Quindi ponendo  $f_t(x) = H(x, t)$ , abbiamo che  $\{f_t\}_{t \in [0, 1]}$  è una famiglia di applicazioni continue che si deformano con continuità da  $f_0$  a  $f_1$  con immagine sempre contenuta in  $Y$

*Osservazione* Ogni applicazione continua  $f : X \rightarrow Y \subseteq \mathbb{R}^n$  convesso è omotopa a qualunque applicazione costante  $g(x) = a \in Y$  a qualunque punto di  $Y$ , prendendo  $H(x, t) = (1 - t)f(x) + tg(x)$

*Osservazione* Ogni cammino in  $X$ , ovvero  $\alpha : I \rightarrow X$  continua, è omotopa all'applicazione costante  $\varepsilon_{x_0}(t) = x_0$  che manda tutto nel punto iniziale del cammino ( $\alpha(0) = x_0$ ), prendendo  $H : I \times I \rightarrow X$  tale che

$$H(s, t) = \begin{cases} \alpha(s) & s \in [0, 1 - t] \\ \alpha(1 - t) & s \in [1 - t, 1] \end{cases}$$

Visualizzare quadrato  $I \times I = [0, 1] \times [0, 1]$  con  $s$  che varia sulle ascisse e  $t$  sulle ordinate, plottando  $t = 1 - s$ . Fissato un  $t$  (ovvero una retta orizzontale sul quadrato) faccio variare  $s$  su tale retta: fin tanto che  $s$  sta prima della retta  $t = 1 - s$  mi muovo lungo il cammino, da  $s = 1 - t$  in poi mi fermo sul punto a cui ero arrivato  $\alpha(1 - t)$  (che è fisso se ho fissato  $t$ ). Più aumento  $t$  più mi fermo prima, fino a  $t = 1$  in cui ho la funzione costante.  $H$  è continua poiché sui due triangoli del quadrato  $I \times I$  è continua e sulla diagonale abbiamo che  $H$  ristretta ai due triangoli è uguale, quindi  $H$  è continua per lemma di incollamento.

**Proposizione 1** Se  $X$  connesso e  $Y$  sconnesso,  $f_0, f_1 : X \rightarrow Y$  tali che  $f_0(x)$  e  $f_1(x)$  stanno in due componenti connesse diverse  $\implies f_0 \not\sim f_1$

*Dimostrazione.* Basta vedere se per assurdo esistesse un  $H$  come da def., avremmo che che  $H_x(t)$  (fisso  $x \in X$  e vario solo  $t$ ) è continua da un connesso ad uno sconnesso, il che è assurdo.  $\square$

**Proposizione 2 ( $f \sim g$  rel. d'equival.)**  $\sim$  è una relazione d'equivalenza in  $C(X, Y) = \{f : X \rightarrow Y \text{ continue}\}$  con  $X, Y$  sp. top.

*Dimostrazione.* .

- $f \sim f$  (riflessiva): basta prendere  $H(x, t) := f(x)$  (ovvero  $H$  costante nel tempo)
- Simmetrica: supponiamo  $f \sim g \implies \exists H : X \times I \rightarrow Y \mid H_0 = f, H_1 = g$   
Allora riparametrizzo l'intervallo, ovvero inverte il tempo:  $H(x, 1 - t)$  soddisfa la definizione per  $g \sim f$
- Transitiva:  $f \sim g, g \sim h \implies \exists H, K$  come da def. Allora dividiamo l'intervallo  $I = [0, 1/2] \cup [1/2, 1]$  e riparametrizziamo il tempo, definendo

$$N(x, t) = \begin{cases} H(x, 2t) & t \in [0, 1/2] \\ K(x, 2t - 1) & t \in (1/2, 1] \end{cases}$$

ovvero abbiamo riparametrizzato  $I$  tramite

$$\bar{t} \mapsto \begin{cases} 2t & t \in [0, 1/2] \\ 2t - 1 & t \in (1/2, 1] \end{cases}$$

(visualizzare questa mappa in piano con ascissa  $t$  e ordinata  $\bar{t}$ )

Uso **gluing lemma** e ho finito.

□

**Proposizione 3** (Omotopia di funzioni di funzioni)

$$\begin{cases} f \stackrel{H}{\sim} g & f, g : X \rightarrow Y \\ h \stackrel{K}{\sim} l & h, l : Y \rightarrow Z \end{cases} \implies h(f(x)) \stackrel{N}{\sim} l(g(x))$$

( $f \stackrel{H}{\sim} g$  significa che  $f, g$  sono omotop. eq. con omotopia tra le due  $H$ )

*Dimostrazione.* Definisco  $N_t = K_t \circ H_t \quad \forall t \in I$

□

**Definizione 1.3** (Spazi omotopicamente equivalenti):  $X, Y$  sp. topologici. Si dice  $X \stackrel{omoto.}{\approx} Y$  se:

$$\exists f : X \rightarrow Y, \quad g : Y \rightarrow X \text{ continue tali che } \begin{cases} f \circ g \sim Id_Y \\ g \circ f \sim Id_X \end{cases} \quad X \begin{matrix} \xrightarrow{f} \\ \xleftarrow{g} \end{matrix} Y$$

*Osservazione* Se  $X, Y$  fossero omeomorfi, al posto del  $\sim$  ci sarebbe un  $=$ . Infatti:  $X \stackrel{omeo.}{\approx} Y \implies X \stackrel{omoto.}{\approx} Y$  ma il viceversa non vale.

*Osservazione* Se ho due funzioni omotope  $f_1$  e  $f_2$ , non vuol dire che gli spazi immagine  $\text{Im}(f_1), \text{Im}(f_2)$  sono omotopicamente equivalenti, ovvero

$$\begin{array}{ccc} & X & \\ f_1 \swarrow & & \searrow f_2 \\ \text{Im}(f_1) & \approx & \text{Im}(f_2) \end{array}$$

Infatti se sono omotope vuol dire che ho una funzione  $f_t$

*Esempio 1* ( $X \stackrel{omoto.}{\approx} Y \not\Rightarrow X \stackrel{omeo.}{\approx} Y$ ) Prendere  $X = \mathbb{R}^n, Y = \{p\} \in \mathbb{R}^n$ .  $f$  è unica, mentre di  $g : \{p\} \rightarrow \mathbb{R}^n$  ne scelgo una ( $g(p) = q \in \mathbb{R}^n$ ): vedo che  $f \circ g : \{p\} \rightarrow \{p\}$  è proprio l'identità su  $Y$ , mentre  $g \circ f : \mathbb{R}^n \rightarrow \{q\} \subset \mathbb{R}^n$  è omotopa all'identità (posso trasportare con continuità  $q$  a  $p$ , ma non uguale all'identità. Infatti non è biettiva e gli spazi non sono omeomorfi.

**Proposizione 4** ( $X \approx Y$  rel. d'equival.)  $\approx$  è una relazione d'equivalenza nell'insieme degli spazi topologici.

*Dimostrazione.* .

1. (Riflessiva):  $X \approx X$  ovvio
2. (Simmetrica)  $X \approx Y \implies Y \approx X$ , basta scrivere la def. e riscriverla scambiando  $X, Y$

3. (Transitiva)  $\underbrace{X \approx Y}_{\exists f, g}, \underbrace{Y \approx Z}_{\exists h, l} \implies X \approx Z$ , dove  $f, g$  e  $h, l$  seguono la def.  $X \begin{matrix} \xrightarrow{f} & & \xrightarrow{h} \\ \xleftarrow{g} & Y & \xleftarrow{l} \\ & \xleftarrow{g \circ l} & \end{matrix} Z$

È vero che  $(h \circ f) \circ (g \circ l) \sim Id_Z$  e che  $(g \circ l) \circ (h \circ f) \sim Id_X$ ?

$\implies (h \circ f) \circ (g \circ l) = h \circ (f \circ g) \circ l \sim h \circ Id_Y \circ l = h \circ l \sim Id_Z$ .

Stessa cosa per  $Id_X$

□

**Definizione 1.4** (Omotopia relativa):  $X, Y$  sp. top.,  $f_0, f_1 : X \rightarrow Y$ .  $A \subseteq X$ .  $f_0$  e  $f_1$  sono omotope relativamente ad  $A$  se esiste un'omotopia  $H : X \times I \rightarrow Y$  tra  $f_0$  e  $f_1$  tale che  $H_t(a)$  costante al variare di  $t$   $\forall a \in A$ .

Si indica con  $f_0 \sim_A f_1$

**Proposizione 5** Siano:  $X \begin{matrix} \xrightarrow{f_0} \\ \xleftarrow{f_1} \end{matrix} Y \begin{matrix} \xrightarrow{g_0} \\ \xleftarrow{g_1} \end{matrix} Z$  e  $A \subseteq X, B \subseteq Y$  tali che  $f_0 \sim_A f_1$  e  $g_0 \sim_B g_1$ .

Se  $f(A) \subseteq B \implies g_0 \circ f_0 \sim_A g_1 \circ f_1$

### 1.1.1 Spazio contraibile

**Definizione 1.5** (spazio contraibile):  $X$  spazio topologico omotopicamente equivalente al punto. Equivalentemente  $X$  contraibile  $\iff \text{Id}_X$  omotopa ad una applicazione costante.

**Proposizione 6**  $X$  contraibile  $\implies X$  connesso per archi

*Dimostrazione.* Dalla seconda definizione, siccome applicazioni omotope mandano componenti connesse nelle stesse componenti connesse  $\square$

*Osservazione* I convessi sono contraibili

### 1.2 Cammini e funtore $\pi_0$

**Definizione 1.6** (Insieme dei cammini, lacci):  $X$  sp. top.,  $a, b \in X$  (anche uguali).

$$\Omega(X, a, b) := \{\gamma : I \rightarrow X \mid \gamma(0) = a, \gamma(1) = b\}$$

Se  $a = b$ :  $\Omega(X, a) := \Omega(X, a, a) \longrightarrow$  **insieme dei lacci (loop)**

*Notazione 1* Cammino inverso (percorso al contrario):  $i(\gamma) := \gamma \circ (t \mapsto (1 - t))$

**Definizione 1.7** (Giunzione di cammini):  $\alpha \in \Omega(X, a, b)$ ,  $\beta \in \Omega(X, b, c)$ .

$$\alpha * \beta : I \rightarrow X \text{ tale che: } t \mapsto \begin{cases} \alpha(2t) & t \in [0, 1/2] \\ \beta(2t - 1) & t \in [1/2, 1] \end{cases}$$

Per gluing lemma  $\alpha * \beta$  è continua e  $\alpha * \beta \in \Omega(X, a, c)$

NB: si legge da sx a dx

*Osservazione*  $((\Omega, x, a), *)$  non è un gruppo. Vediamo che non c'è l'elemento neutro: se c'è, è il laccio costante  $1_a : t \mapsto a$ , che mappa tutto in  $a \implies \alpha * 1_a \neq \alpha$ , in quanto il supporto (la curva a meno di parametrizz.) è uguale, ma cambia la parametrizzazione, quindi la funzione  $\alpha$  viene cambiata.

*Osservazione*  $X \text{ CPA} \iff \Omega(X, a, b) \neq \emptyset$  per ogni  $a, b$

**Definizione 1.8** (Relazione tra punti CPA):  $a, b \in X$ , diciamo  $a$  in relazione con  $b$  ( $aRb$ )  $\iff \Omega(X, a, b) \neq \emptyset$

**Proposizione 7** ( $aRa$  relaz. d'eq.)  $R$  è una relazione d'equivalenza su  $X$

*Dimostrazione.* •  $aRa$ : sì perché  $1_a \in \Omega(X, a) \implies \Omega(X, a) \neq \emptyset \implies aRa$  (con cammino costante)

•  $aRb \implies \exists \gamma \in \Omega(X, a, b) \implies i(\gamma) \in \Omega(X, b, a) \neq \emptyset \implies bRa$  (con cammino inverso)

• Transitività:  $\begin{cases} aRb \implies \exists \alpha \\ bRc \implies \exists \beta \end{cases} \implies \alpha * \beta \in \Omega(X, a, c) \neq \emptyset \implies aRc$  (con giunzione di cammini)

$\square$

**Definizione 1.9** (0-esimo gruppo di omotopia): di  $X$  sp. top. è

$$\pi_0(X) := X/R \text{ (insieme delle componenti connesse per archi)}$$

$[x_a]$  = componente CPA di  $X$  che contiene  $x$ , quindi  $\pi_0(X) = \{\text{componenti CPA di } X\}$

*Esempio 2* • Se  $X \text{ CPA} \implies \pi_0(X) = \{\text{pt}\}$

•  $X = \text{pulce} \cup \text{pettine} \implies \pi_0(X) = \{\text{pulce}, \text{pettine}\}$

**Definizione 1.10** ( $\pi_0$  di una funzione):  $f : X \rightarrow Y$  sp. top.. Allora:

$$\begin{aligned} \pi_0(f) : \pi_0(X) &\rightarrow \pi_0(Y) \\ &\stackrel{=X/R_x}{=} \stackrel{=Y/R_y}{=} \\ [x_0] &\mapsto [f(x_0)] \end{aligned}$$

È a sua volta una funzione.

*Osservazione*  $\pi_0(f)$  è ben definita (ovvero l'immagine di una classe è indipendente dalla scelta dell'elemento della classe).

**Dim:** basta far vedere che se due elementi sono nella stessa classe, ovvero sono in relazione (esiste cammino  $\alpha$  che li unisce, in quanto  $f$  continua che manda connesso  $I$  in un connesso), allora anche le due immagini sono in relazione (vero, esiste il cammino  $f \circ \alpha$  che le unisce), e quindi nella stessa classe.

### 1.3 Categorie e Funtori

**Definizione 1.11 (categoria):**  $\mathcal{C}$  categoria è il dato di

1.  $\text{Obj}(\mathcal{C})$  insieme degli **oggetti** di  $\mathcal{C}$
2.  $\text{Mor}(\mathcal{C})$  insieme dei **morfismi** di  $\mathcal{C}$ , ovvero

$$\text{Mor}(\mathcal{C}) = \bigcup_{A, B \in \text{Obj}(\mathcal{C})} \text{Mor}(A, B)$$

dove  $\text{Mor}(A, B)$  sono le frecce  $A \xrightarrow{f} B$

3. **Legge di composizione** (composizione di frecce):

$$\text{Mor}(A, B) \times \text{Mor}(B, C) \xrightarrow{\text{induce}} \text{Mor}(A, C)$$

4. **Identità:**  $\text{Id}_A \in \text{Mor}(A, A) \mid f \circ \text{Id}_A = \text{Id}_A \circ f = f \quad \forall f \in \text{Mor}(A, B)$

*Esempio 3* Alcuni esempi

- $\underline{\text{Set}} = \begin{cases} \text{Obj} = \{\text{insiemi}\} \\ \text{Mor} = \{\text{funzioni}\} \end{cases}$
- $\underline{\text{Vec}} = \begin{cases} \text{Obj} = \{k\text{-sp. vettoriali}\} \\ \text{Mor} = \{\text{applicazioni lineari}\} \end{cases}$
- $\underline{\text{Top}} = \begin{cases} \text{Obj} = \{\text{sp. topologici}\} \\ \text{Mor} = \{\text{applicazioni continue}\} \end{cases}$
- $\underline{\text{Grp}} = \begin{cases} \text{Obj} = \{\text{gruppi}\} \\ \text{Mor} = \{\text{omomorfismi di gruppi}\} \end{cases}$

**Definizione 1.12 (funtoe (covariante)):** Siano  $\mathcal{C}, \mathcal{D}$  categorie. Un funtoe (covariante)  $F : \mathcal{C} \rightarrow \mathcal{D}$  è il dato di:

- $F : \text{Obj}(\mathcal{C}) \rightarrow \text{Obj}(\mathcal{D}) \mid \begin{matrix} \in \text{Obj}(\mathcal{C}) \\ A \end{matrix} \mapsto \begin{matrix} \in \text{Obj}(\mathcal{D}) \\ F(A) \end{matrix}$
- $F : \text{Mor}(\mathcal{C}) \rightarrow \text{Mor}(\mathcal{D}) \mid \begin{matrix} \in \text{Mor}_{\mathcal{C}}(A, B) \\ f \end{matrix} \mapsto \begin{matrix} \in \text{Mor}_{\mathcal{D}}(F(A), F(B)) \\ F(f) \end{matrix}$  tale che  $F(g \circ f) = F(g) \circ F(f)$

Ovvero:

$$\text{In } \mathcal{C} : A \xrightarrow{f} B \quad \text{In } \mathcal{D} : F \left[ A \xrightarrow{f} B \right] \Rightarrow F(A) \xrightarrow{F(f)} F(B)$$

Scritto come applicazione tra categorie:

$$F : \begin{matrix} \mathcal{C} & \rightarrow & \mathcal{D} \\ A \xrightarrow{f} B & \mapsto & F(A) \xrightarrow{F(f)} F(B) \end{matrix}$$

**Definizione 1.13 (proprietà funtoriali):**

$$F(1_A) = 1_{F(A)} \quad F(fg) = F(f)F(g)$$

Scritti in notazione funzionale:

$$F(\text{Id}_A) = \text{Id}_{F(A)} \quad F(f \circ g) = F(f) \circ F(g)$$

**Proposizione 8** Il  $\pi_0$  è un funtore

$$\pi_0 : \frac{\text{Top}}{X \xrightarrow{f} Y} \rightarrow \frac{\text{Set}}{\pi_0(X) \xrightarrow{\pi_0(f)} \pi_0(Y)}$$

e se  $X \xrightarrow{f} Y \xrightarrow{g} Z$  allora valgono le proprietà functoriali:

$$1. \pi_0(\text{Id}_X) = \text{Id}_{\pi_0(X)}$$

$$2. \pi_0(X) \xrightarrow{\pi_0(f)} \pi_0(Y) \xrightarrow{\pi_0(g)} \pi_0(Z) \text{ allora } \pi_0(g \circ f) = \pi_0(g) \circ \pi_0(f)$$

*Dimostrazione.* 1.  $\pi_0(\text{Id}_X) : [x_0] \mapsto [\text{Id}_X(x_0)] = [x_0] \implies$  tesi

$$2. (\pi_0(g) \circ \pi_0(f))([x_0]) = \pi_0(g)(\pi_0(f)([x_0])) = \pi_0(g)([f(x_0)]) = [g(f(x_0))] = [(g \circ f)(x_0)] \text{ (applico le def.)}$$

□

## 1.4 Omotopia di cammini

**Definizione 1.14 (omotopia di cammini):**  $\alpha, \beta \in \Omega(X, a, b)$ ,  $\alpha \sim \beta$  omotopicamente equivalenti se  $\exists F$  continua detta omotopia di cammini tale che

$$F : [0, 1] \times [0, 1] \rightarrow X \quad F(t, 0) = \alpha(t), \quad F(t, 1) = \beta(t) \quad F(0, s) = a, \quad F(1, s) = b$$

*Osservazione (omotopia di cammini come relazione di equivalenza)*

**Proposizione 9 (omotopia della giunzione e dell'inversione)** Presi  $\alpha, \alpha' \in \Omega(X, a, b)$  e  $\beta, \beta' \in \Omega(X, b, c)$  tali che  $\alpha \sim \alpha'$  e  $\beta \sim \beta'$ , valgono

$$\alpha * \beta \sim \alpha' * \beta' \quad i(\alpha) \sim i(\alpha')$$

**Proposizione 10 (giunzione e inversione di immagini continue di cammini)** Presa  $f : X \rightarrow Y$  continua

1. Per  $\alpha, \beta \in \Omega(X, a, b)$  vale  $\alpha \sim \beta \implies f\alpha \sim f\beta$
2. Per  $\alpha \in \Omega(X, a, b)$ ,  $\beta \in \Omega(X, b, c)$  valgono  $f(\alpha * \beta) = f(\alpha) * f(\beta)$  e  $f(i(\alpha)) = i(f(\alpha))$

*Osservazione (omotopia di cammini in un convesso)*  $F(t, s) = (1 - s) \cdot \alpha(t) + s \cdot \beta(t)$

**Lemma 1 (omotopia di cammini della riparametrizzazione)** Preso  $\phi : [0, 1] \rightarrow [0, 1]$  con  $\begin{matrix} \phi(0) = 0 \\ \phi(1) = 1 \end{matrix}$ , vale  $\alpha(t) \sim \alpha(\phi(t))$

*Dimostrazione.* Considero l'omotopia di cammini  $F(t, s) = \alpha(s \cdot \phi(t) + (1 - s)t)$

□

**Proposizione 11 (associatività della giunzione)** Il prodotto  $*$  è associativo a meno di omotopia di cammini, ovvero  $(\alpha * \beta) * \gamma \sim \alpha * (\beta * \gamma)$

*Dimostrazione.* Dal Lemma 1 con il cambio di parametro  $\varphi(t) = \begin{cases} 2t & 0 \leq t \leq \frac{1}{4} \\ t + \frac{1}{4} & \frac{1}{4} \leq t \leq \frac{1}{2} \\ \frac{t+1}{2} & \frac{1}{2} \leq t \leq 1 \end{cases}$

□

**Definizione 1.15 (cammino costante):**  $1_a$ , per il quale  $\forall \alpha \in \Omega(X, a, b)$  valgono

$$1_a * \alpha \sim \alpha * 1_b \sim \alpha \quad \alpha * i(a) \sim 1_a$$



### 1.4.1 Altri risultati utili

**Lemma 2 (omotopia di lati di un convesso)** Presi  $p_1, p_2, p_3 \in \mathbb{R}^n$ ,  $T = p_1 \overset{\Delta}{p_2} p_3$ ,  $f: T \rightarrow X$  continua, allora per le parametrizzazioni standard  $f_{ij}$  delle restrizioni di  $f$  ai lati di  $T$  vale  $f_{13} \sim f_{12} * f_{23}$ .  
Ovvero il cammino dato dalla restrizione di  $f$  su un lato è omotopo alla giunzione dei cammini dati rispettivamente dalla restrizione di  $f$  sugli altri due lati.

*Dimostrazione.* Presa l'omotopia  $F(t, s) := f(q(t, s))$  vale  $F(t, 0) = f_{13}(t)$ ,  $F(t, 1) = \begin{cases} f_{12}(2t) & t \leq \frac{1}{2} \\ f_{23}(2t - 1) & t \geq \frac{1}{2} \end{cases}$ ,  
 $F(0, s) = f(p_1)$ ,  
 $F(1, s) = f(p_3)$ , con

$$q(t, s) := \begin{cases} (1 - t - ts)p_1 + 2tp_2 + (t - ts)p_3 & \text{per } t \leq \frac{1}{2} \\ (1 - t - s + ts)p_1 + 2(1 - t)sp_2 + (t - s + ts)p_3 & \text{per } t \geq \frac{1}{2} \end{cases}$$

□

**Corollario 1 (omotopia della giunzione della partizione)** Presi due cammini  $\alpha_0$  e  $\alpha_1$  parametrizzazioni standard delle restrizioni di  $\alpha$  a  $[0, p]$  e  $[p, 1]$  vale  $\alpha_0 * \alpha_1 \sim \alpha$

*Dimostrazione.* Banalmente  $\alpha_0 * \alpha_1(t) = \alpha(\phi(t))$  con  $\phi(t) = \begin{cases} 2tp & 0 \leq t \leq \frac{1}{2} \\ p + (2t - 1)(1 - p) & \frac{1}{2} \leq t \leq 1 \end{cases}$ , la tesi da 1 □

## 1.5 Gruppo fondamentale

**Definizione 1.16 (spazio puntato):**  $(X, x)$  con  $X$  spazio topologico e  $x \in X$

**Definizione 1.17 (gruppo fondamentale):** Preso  $(X, a)$  spazio puntato

$$\pi_1(X, a) = \Omega(X, a, a) / \sim \quad (\text{gruppo di elemento neutro } [1_a], \text{ prodotto } [\alpha][\beta] = [\alpha * \beta] \text{ e inverso } [\alpha]^{-1} = [i(\alpha)])$$

Considerando  $\pi_1$  come un funtore (covariante) dalla categoria degli spazi topologici puntati a quella dei gruppi, si ha

$$\pi_1 : \begin{array}{ccc} \text{Top} & \rightarrow & \text{Grp} \\ X \xrightarrow{f} Y & \mapsto & \pi_1(X) \xrightarrow{f_*} \pi_1(Y) \end{array}$$

dove

$$f_* := \pi_1(f) : \begin{array}{ccc} \pi_1(X, a) & \rightarrow & \pi_1(Y, f(a)) \\ [\alpha] & \mapsto & [f(\alpha)] \end{array}$$

e per esso valgono dunque le proprietà functoriali

$$(\text{Id}_X)_* = \pi_1(\text{Id}_X) = \text{Id}_{\pi_1(X, a)} \quad g_* f_* = \pi_1(gf) = \pi_1(g) \pi_1(f) = (gf)_* \quad \text{per } f: X \rightarrow Y, g: Y \rightarrow Z$$

**Definizione 1.18 (mappa di cambio di punto base  $\gamma_\#$ ):**  $\gamma_\#: \pi_1(X, a) \rightarrow \pi_1(X, b)$  tale che  $\gamma_\#[\alpha] = \overbrace{[i(\gamma) * \alpha * \gamma]}^{\text{leggere da sx a dx}}$  con  $\gamma \in \Omega(X, a, b)$ , ovvero il cammino dal vecchio al nuovo punto base.

È la mappa di cambio base dei lacci perché  $i(\gamma) * \alpha * \gamma : b \xrightarrow{\gamma^{-1}} a \xrightarrow{\alpha} a \xrightarrow{\gamma} b$  laccio con punto base in  $b$   
È una specie di coniugio, in stile automorfismo interno  $\gamma_g(a) = g^{-1}ag$  che abbiamo visto ad alg. 1.

*Osservazione* Ben definito in quanto  $*$  commuta con l'equivalenza omotopica

**Lemma 3** Preso  $\gamma \in \Omega(X, a, b)$ , allora  $\gamma_\#$  è un isomorfismo

*Dimostrazione.*

$$\begin{aligned} \gamma_\#[\alpha] \gamma_\#[\beta] &= [i(\gamma) * \alpha * \gamma] [i(\gamma) * \beta * \gamma] = [i(\gamma) * \alpha * \overbrace{\gamma * i(\gamma)}^{1_a} * \beta * \gamma] = \gamma_\#[\alpha * \beta] \Rightarrow \text{omomorfismo} \\ (i(\gamma))_\# \gamma_\#[\alpha] &= \overbrace{[\gamma * i(\gamma) * \alpha * \gamma]}^{1_a} = [\alpha] \Rightarrow \text{inversa, quindi isomorfismo} \end{aligned}$$

□

**Corollario 2** Il gruppo fondamentale  $\pi_1(X, a)$  non dipende dal punto base ma solo dalla sua componente connessa.

**Definizione 1.19** (**semplice connessione**): Spazio topologico con gruppo fondamentale banale

**Proposizione 12** (**gruppo fondamentale dello spazio prodotto**)  $\pi_1(X \times Y, (a, b)) \cong \pi_1(X, a) \times \pi_1(Y, b)$

*Dimostrazione.* Sappiamo che una mappa  $f: Z \rightarrow X \times Y$ ,  $f(z) = \begin{pmatrix} g(z) \\ h(z) \end{pmatrix}$  è continua  $\iff$  le sue componenti lo sono. Quindi

- Ogni laccio  $f: Z \rightarrow X \times Y$  con punto base in  $(a, b)$  è equivalente a due lacci  $g, h$  in  $X, Y$  con punti base  $a, b$
- Ogni omotopia  $f_t$  di lacci in  $X \times Y$  è equivalente a due omotopie  $g_t, h_t$  dei corrispondenti lacci in  $X$  e  $Y$ .

Quindi abbiamo una biezione tra i gruppi fondamentali  $[f] \rightarrow ([g], [h])$  che è anche omo, quindi isomorfismo.  $\square$   
Anche:

Ogni cammino  $\alpha: [0, 1] \rightarrow X \times Y$  e ogni omotopia  $F: [0, 1]^2 \rightarrow X \times Y$  sono univocamente determinati dalle loro componenti  $\alpha_1 = \pi_X \circ \alpha: [0, 1] \rightarrow X$  e  $\alpha_2 = \pi_Y \circ \alpha: [0, 1] \rightarrow Y$  e  $F_1: [0, 1]^2 \rightarrow X$  e  $F_2: [0, 1]^2 \rightarrow Y$ . Esiste dunque una bigezione tra  $\Omega(X \times Y, (a, b), (a, b))$  e  $\Omega(X, a, a) \times \Omega(Y, b, b)$  e, per passaggio ai quozienti, un isomorfismo tra  $\pi_1(X \times Y, (a, b))$  e  $\pi_1(X, a) \times \pi_1(Y, b)$ , dato da

$$\begin{aligned} \pi_1(X \times Y, (a, b)) &\rightarrow \pi_1(X, a) \times \pi_1(Y, b) \\ [\gamma] &\mapsto ([\pi_X \circ \gamma], [\pi_Y \circ \gamma]) \end{aligned}$$

$\square$

### 1.5.1 Invarianza del gruppo fondamentale per equivalenza omotopica

**Proposizione 13**  $f, g: X \rightarrow Y$  continue e omotope tramite  $F: X \times I \rightarrow Y$  t.c.  $\begin{cases} f(x) = F_0(x) \\ g(x) = F_1(x) \end{cases}$ ,  $a \in X$  e  $\gamma \in \Omega(Y, f(a), g(a))$  tale che  $\gamma(s) = F_s(a)$ , allora  $g_* = \gamma_\# \circ f_*$ , ovvero è commutativo

$$\begin{array}{ccc} & \pi_1(X, a) & \\ f_* \swarrow & & \searrow g_* \\ \pi_1(Y, f(a)) & \xrightarrow{\gamma_\# \text{ (cambio base)}} & \pi_1(Y, g(a)) \end{array}$$

Ovvero se due mappe sono omotope, allora le classi dei lacci vengono mappate nelle stesse classi di lacci a meno di cambio del punto base.

*Dimostrazione.* Bisogna dimostrare che

$$\forall [\alpha] \in \pi_1(X, a): \quad \gamma_\#(f_*([\alpha])) = g_*[\alpha] \quad \text{ovvero} \quad [i(\gamma) * (f \circ \alpha) * \gamma] = [g \circ \alpha]$$

Considerando l'applicazione  $(s, t) \mapsto F(\alpha(s), t)$  e le sue restrizioni sui bordi del quadrato unitario vale da omotopia di lati di un convesso che  $\gamma * g(\alpha) \sim \delta$  e  $f(\alpha) * \gamma \sim \delta$  con  $\delta(s) = F(\alpha(s), s)$

$$\begin{array}{ccc} & g(\alpha) & \\ \gamma \uparrow & \nearrow \delta & \uparrow \gamma \\ & f(\alpha) & \end{array}$$

Favale percorre il quadrato in maniera diversa e si fa più pippe (p. 42-43 appunti).  $\square$

**Corollario 3** Presa  $f: X \rightarrow X$  tale che  $f \simeq \text{Id}_X$ , allora  $f_*: \pi_1(X, a) \rightarrow \pi_1(X, f(a))$  è un isomorfismo  $\forall a \in X$

*Dimostrazione.* Preso  $\gamma(t) := F(a, t)$ , dalla prop. precedente vale che  $f_* = \gamma_\# \circ \text{Id} = \gamma_\#$ , e da 3 vale  $f_*$  isomorfismo  $\square$

**Lemma 4** (**tre mappe**)  $g \circ f$  bigettiva,  $h \circ g$  iniettiva  $\implies f$  bigettiva

$$A \xrightarrow{f} B \xrightarrow{g} C \xrightarrow{h} D$$

*Dimostrazione.*  $g$  iniettiva e suriettiva, quindi bigettiva. Quindi  $f = g^{-1} \circ (g \circ f)$  composizione di bigettive.  $\square$

**Teorema 1 (isomorfismo del gruppo fondamentale per spazi omotopicamente equivalenti)**  $f: X \rightarrow Y$  equivalenza omotopica  $\implies f_*$  isomorfismo tra gruppi fondamentali

*Dimostrazione.* Presa  $g$  inversa omotopica di  $f$  (quindi  $fg \simeq \text{Id}_Y$  e  $gf \simeq \text{Id}_X$ ) per 3  $f_*g_*$  e  $g_*f_*$  isomorfismi, e per il lemma delle tre mappe  $f_*$  bigettivo.

$$\pi_1(X, a) \xrightarrow{f_*} \pi_1(X, f(a)) \xrightarrow{g_*} \pi_1(X, g \circ f(a)) \xrightarrow{f_*} \pi_1(X, f \circ g \circ f(a))$$

$\square$

*Osservazione*  $X$  contraibile  $\implies X$  semplicemente connesso

## 1.6 Retrazioni e Deformazioni e Bouquet

**Definizione 1.20 (retrazione):**  $Y \subset X$  retratto di  $X$  se  $\exists r: X \rightarrow Y$  retrazione continua tale che  $r(y) = y \forall y \in Y$

**Definizione 1.21 (deformazione):**  $Y \subset X$  retratto per deformazione di  $X$  se  $\exists R: X \times [0, 1] \rightarrow Y$  deformazione continua tale che

$$R(x, 0) \in Y, \quad R(x, 1) = x \quad \forall x \in X \qquad R(y, t) \in Y \quad \forall y \in Y, t \in [0, 1]$$

Quindi una deformazione è una omotopia tra una retrazione e la mappa identità su  $X$ .

Un'altra definizione è: una mappa continua  $r: X \rightarrow Y \subseteq X$  è una deformazione

$$\begin{cases} \text{è retrazione} \\ i \circ r \stackrel{\text{omotopa}}{\sim} \text{Id}_X \end{cases}$$

**Proposizione 14 (equivalenza omotopica di un retratto per deformazione)** La retrazione per deformazione di un  $Y \subseteq X$  è un'equivalenza omotopica con inversa l'inclusione  $i: Y \hookrightarrow X$ .

*Dimostrazione.* Presa la deformazione  $R: [0, 1] \times X \rightarrow X$ , definisco la retrazione  $r: X \rightarrow Y$  tale che  $i(r(x)) = R(x, 0)$ . Allora  $R$  è un'omotopia tra  $i \circ r$  e  $\text{Id}_X$ , e inoltre  $r \circ i \equiv \text{Id}_Y$   $\square$

**Definizione 1.22 (bouquet):** Presi  $X, Y$  spazi topologici,  $a \in X, b \in Y$ , definisco bouquet di  $X$  e  $Y$

$$X \vee Y := \frac{X \sqcup Y}{\mathcal{R}} \qquad \begin{aligned} X \sqcup Y &:= (X \times \{0\}) \cup (\{1\} \times Y) \quad \text{unione disgiunta} \\ x \mathcal{R} y &\stackrel{\text{def}}{\iff} (x = y) \vee ((x = a \wedge y = b) \vee (x = b \wedge y = a)) \end{aligned}$$

ovvero incollo due spazi per un punto

## 2 Gruppo fondamentale di $S^1$ , sollevamenti e applicazioni

### 2.1 Lemma del numero di Lebesgue

**Lemma 5 (numero di Lebesgue)** Presa  $f: Y \rightarrow X$  continua con  $(Y, d)$  spazio metrico compatto, e  $\mathcal{A}$  ricoprimento aperto di  $X$ . Allora  $\exists \delta \in \mathbb{R}^+$  tale che  $\forall y \in Y \exists A_i \in \mathcal{A}$  tale che  $f(B(y, \delta)) \subset A_i$

*Dimostrazione.* Sia  $Y_n := \{y \in Y \mid \exists U \in \mathcal{A} \text{ tale che } B(y, 2^{-n}) \subset f^{-1}(U)\}$ , valgono in particolare  $Y_n \subseteq Y_{n+1}^\circ$  e  $\bigcup_n Y_n^\circ = Y$ , siccome per  $y \in Y_n$  vale che  $\forall z$  t.c.  $d(y, z) < 2^{-n-1}$  per la disuguaglianza triangolare  $B(y, 2^{-n-1}) \subset B(y, 2^{-n}) \subset f^{-1}(U)$  e perciò  $z \in Y_{n+1}$ . Ma siccome  $Y$  compatto  $\exists n$  per cui  $Y_n = Y$ .  $\square$

**Corollario 4 (Lemma di Lebesgue per cammini)**  $\forall \alpha: [0, 1] \rightarrow X$  cammino e  $\mathcal{A}$  ricoprimento aperto di  $X$ ,  $\exists n$  tale che  $\forall i = 1, \dots, n$  vale  $\alpha\left(\left[\frac{i-1}{n}, \frac{i}{n}\right]\right) \subset U$  per qualche  $U \in \mathcal{A}$

*Dimostrazione.*  $[0, 1]$  spazio metrico compatto  $\square$

## 2.2 Rivestimenti e Sollevamenti

**Definizione 2.1 (rivestimento):**  $X$  spazio connesso,  $p: E \rightarrow X$  **continua suriettiva** tale che  $\forall x \in X$  esiste un intorno aperto  $V \subset X$  tale che  $p^{-1}(V) = \bigcup_i^{\text{disg}} U_i$  tale che  $p|_{U_i}: U_i \rightarrow V$  è un omeomorfismo  $\forall i$ . Sono detti  $X$  base,  $E$  spazio totale,  $p^{-1}(x)$  fibre,  $V$  aperto banalizzante  
Il rivestimento è detto banale se la base  $X$  è un aperto banalizzante, e connesso se lo spazio totale  $E$  è connesso

PROPOSIZIONE 12.12 et al.

**Definizione 2.2 (sollevamento):**  $p: E \rightarrow X$  rivestimento,  $f: Y \rightarrow X$  applicazione continua, allora  $g: Y \rightarrow E$  continua tale che  $f = p \circ g$  è detta sollevamento di  $f$ , ovvero è commutativo il diagramma

$$\begin{array}{ccc} & & E \\ & \nearrow g & \downarrow p \\ Y & \xrightarrow{f} & X \end{array}$$

Non è detto che esista.

### 2.2.1 Unicità del sollevamento

**Teorema 2 (unicità del sollevamento)**  $p: E \rightarrow X$  rivestimento,  $f: Y \rightarrow X$  applicazione continua con  $Y$  spazio connesso. Per ogni coppia  $g, h: Y \rightarrow E$  di sollevamenti  $f$  vale  $g \equiv h$  oppure  $g(y) \neq h(y) \forall y$ .

*Dimostrazione.* Premesso un lemma

**Lemma 6** Per ogni  $p: E \rightarrow X$  rivestimento la diagonale  $\Delta \subset E \times E$  è aperta e chiusa nel prodotto fibrato

$$E \times_X E := \{(u, v) \in E \times E \mid p(u) = p(v)\}$$

*Dimostrazione.* Dimostro  $\Delta$  aperto e  $\Delta^C$  aperto osservando che sono interni aperti ogni loro punto

$\Delta$  aperto  $\forall (e, e) \in \Delta$  prendo  $U \subset E$  intorno aperto di  $e$  tale che  $p|_U$  iniettiva, allora

$$(U \times U) \cap (E \times_X E) = U \times_X U \subset \Delta$$

$\Delta^C$  aperto  $\forall (e_1, e_2) \in (E \times_X E - \Delta)$  prendo  $V$  aperto banalizzante contenente  $p(e_1) = p(e_2)$  e  $U_1, U_2 \subset p^{-1}(V)$  intorni aperti disgiunti di  $e_1$  e  $e_2$ , allora

$$(U_1 \times U_2) \cap (E \times_X E) \subset (E \times_X E - \Delta)$$

□

Considero la funzione continua  $\Phi(y) = (g(y), h(y))$ , per il lemma l'insieme  $\Phi^{-1}(\Delta) = \{y \in Y \mid g(y) = h(y)\}$  è aperto e chiuso in  $Y$  connesso e dunque  $\Phi^{-1}(\Delta) = Y$  oppure  $\Phi^{-1}(\Delta) = \emptyset$ . □

**Corollario 5**  $p: E \rightarrow X$  rivestimento,  $f: Y \rightarrow X$  applicazione continua con  $Y$  spazio connesso.  $\forall y \in Y, e \in E$  tali che  $p(e) = f(y)$ , esiste al più un sollevamento  $g$  di  $f$  tale che  $g(y) = e$

*Notazione 2*  $\alpha_e: [0, 1] \rightarrow E$  sollevamento di  $\alpha$  tale che  $\alpha_e(0) = e$ , con  $e \in E$

**Teorema 3 (esistenza e unicità del sollevamento di cammini)**  $p: E \rightarrow X$  rivestimento,  $\alpha: [0, 1] \rightarrow X$  cammino continuo, ed  $e \in E$  tale che  $p(e) = \alpha(0) = x_0$ , allora  $\exists! \alpha_e: [0, 1] \rightarrow E$  sollevamento di  $\alpha$  tale che  $\alpha_e(0) = e$

$$\begin{array}{ccc} & & E \\ & \nearrow \alpha_e & \downarrow p \\ [0, 1] & \xrightarrow{\alpha} & X \end{array}$$

con

$$\begin{array}{ccc} & & e \\ & \nearrow & \downarrow \\ 0 & \xrightarrow{\quad} & x_0 \end{array}$$

NB: ciò che dà l'unicità è che fisso  $e \in E$ .

*Dimostrazione.* L'unicità dal 5. Siccome gli aperti banalizzanti sono un ricoprimento aperto, per il 4 esistono  $V_1, \dots, V_n$  aperti banalizzanti scomponenti il cammino  $\alpha$ , definisco allora ricorsivamente

$$\gamma_i: \left[ \frac{i-1}{n}, \frac{i}{n} \right] \rightarrow E \quad \text{tali che } p(\gamma_i(t)) = \alpha(t), \gamma_1(0) = e \text{ e } \gamma_i\left(\frac{i}{n}\right) = \gamma_{i+1}\left(\frac{i}{n}\right)$$

l'incollamento dei quali definisce  $\alpha_e$  cercato, da cui l'esistenza.  $\square$

**Teorema 4 (esistenza e unicità del sollevamento di omotopie)**  $p: E \rightarrow X$  rivestimento,  $F: [0, 1]^2 \rightarrow X$  e  $\alpha: [0, 1] \rightarrow E$  continue tali che  $F(t, 0) = p(\alpha(t)) \forall t$ , allora  $\exists! G: [0, 1]^2 \rightarrow E$  sollevamento di  $F$  tale che  $G(t, 0) = \alpha(t) \forall t$

$$\begin{array}{ccc} [0, 1] \times \{0\} & \xrightarrow{\alpha} & E \\ \downarrow & \nearrow G & \downarrow p \\ [0, 1]^2 & \xrightarrow{F} & X \end{array}$$

*Dimostrazione.* Premesso un lemma

**Lemma 7** Presi  $L := \{(t, s) \in [0, 1]^2 \mid ts = 0\}$  e  $i: L \xrightarrow{\text{incl}} [0, 1]^2$ , e presi  $p: E \rightarrow X$  rivestimento,  $F: [0, 1]^2 \rightarrow X$  e  $f: L \rightarrow E$  continue tali che  $p \circ f \equiv F \circ i$ , allora  $\exists G: [0, 1]^2 \rightarrow E$  sollevamento di  $F$  tale che  $Gi \equiv f$ .

$$\begin{array}{ccc} L & \xrightarrow{f} & E \\ \downarrow i & \nearrow G & \downarrow p \\ [0, 1]^2 & \xrightarrow{F} & X \end{array}$$

*Dimostrazione.* Nel caso banale in cui  $\text{Im}(F) \subseteq V$  aperto banalizzante vale che  $f(L)$  contenuto in  $U \subseteq p^{-1}(V)$  con  $p|_U: U \rightarrow V$  omeomorfismo ( $s := p|_U^{-1}$ ). Pongo allora  $G = s \circ F$ , e valgono quindi  $p \circ G = p \circ s \circ F = F$  e  $f = s \circ p \circ f = s \circ F \circ i = G \circ i$ .

Nel caso generale esistono per il 4  $n^2$  aperti banalizzanti  $V_{ij}$  scomponenti  $F$ . Definisco allora ricorsivamente

$$Q_{hk}: \left( L \cup \bigcup_{(i,j) \preccurlyeq (h,k)} Q(i,j) \right) \rightarrow E \quad \text{con} \quad \begin{aligned} Q(i,j) &:= \left[ \frac{i-1}{n}, \frac{i}{n} \right] \times \left[ \frac{j-1}{n}, \frac{j}{n} \right] \\ (i,j) \preccurlyeq (h,k) &\Leftrightarrow \begin{aligned} &i+j < h+k \text{ oppure} \\ &i+j = h+k \text{ e } j \leq k \end{aligned} \end{aligned}$$

$\square$

L'unicità dal 5. Considero  $\beta: [0, 1] \rightarrow E$  sollevamento del cammino  $s \mapsto F(0, s)$  tale che  $\beta(0) = \alpha(0)$ , l'incollamento di  $\alpha$  e  $\beta$  definisce  $f: L \rightarrow E$  tale che  $f(t, 0) = \alpha(t)$  e  $f(0, s) = \beta(s)$ , da cui l'esistenza di  $G$  dal lemma.  $\square$

**Corollario 6**  $p: E \rightarrow X$  rivestimento, presi  $\alpha, \beta \in \Omega(X, a, b)$ ,  $e \in E$  tale che  $p(e) = a$  e  $\alpha_e, \beta_e$  sollevamenti di  $\alpha, \beta$  tali che  $\alpha_e(0) = \beta_e(0) = e$ , allora  $\alpha \sim \beta \iff \alpha_e \sim \beta_e$  e  $\alpha_e(1) = \beta_e(1)$

*Dimostrazione.* Doppia implicazione

$\Rightarrow$   $F$  omotopia tra  $\alpha$  e  $\beta$  tale che  $F(s, 0) = a$  e  $F(s, 1) = b$ , allora per esistenza e unicità del sollevamento di omotopie esiste il sollevamento  $G$  di  $F$ , e per unicità vale  $G(0, t) = \alpha_e(t)$  e  $G(1, t) = \beta_e(t)$ , e  $G(s, 1)$  costante in quanto sollevamento continuo di  $1_b$  costante

$\Leftarrow$  Se  $\alpha_e \sim \beta_e$  vale  $p \circ \alpha_e \sim p \circ \beta_e$

□

**Corollario 7** (gruppo fondamentale di  $S^1$ ) Sia

$$\begin{array}{ccc} & \mathbb{R} & \\ \alpha_0 \nearrow & & \downarrow p(t)=e^{2\pi it} \\ [0, 1] & \xrightarrow{\alpha} & S^1 \end{array}$$

con

$$\begin{array}{ccc} & 0 & \\ \alpha_0 \nearrow & & \downarrow p \\ 0 & \xrightarrow{\alpha} & 1 \end{array}$$

dove  $\begin{cases} p: \mathbb{R} \rightarrow S^1 \text{ rivestimento } p(t) = e^{2\pi it} \\ \alpha: [0, 1] \rightarrow S^1 \text{ loop (chiuso) in } S^1 \text{ t.c. } \alpha(0) = 1 \in S^1 \\ \alpha_0: [0, 1] \rightarrow \mathbb{R} \text{ unico sollevamento di } \alpha \text{ t.c. } \alpha_n(0) = n \quad (n \in \mathbb{Z}) \quad (\text{unicità data da 3}) \end{cases}$ .

Considero

$$\begin{array}{ccc} \Phi: \pi_1(S^1, 1) & \rightarrow & (\mathbb{Z}, +) \\ [\alpha] & \mapsto & \alpha_0(1) \end{array}$$

Essa è isomorfismo, in quanto:

1. BEN DEFINITA dal teo prec. ( $\Rightarrow$ )
2.  $\text{Im}(\Phi) \subseteq \mathbb{Z}$
3. SURIETTIVA  $\Phi([e^{2\pi imt}]) = m \Rightarrow \text{Im } \Phi = \mathbb{Z}$
4. OMOMORFISMO  $\Phi([\alpha][\beta]) = (\alpha * \beta)_0(1) = \beta_{\alpha_0(1)}(1) = \alpha_0(1) + \beta_0(1) = \Phi([\alpha]) + \Phi([\beta])$
5. INIETTIVA  $\alpha_0(1) = 0 \Rightarrow \alpha_0 \sim 1_0$  ( $\mathbb{R}$  convesso)

*Dimostrazione.* Punto per punto

1. Siano  $[\alpha] = [\alpha'] \in \pi_1(S^1, 1)$  (ovvero  $\alpha \sim \alpha'$ ).

- Per esistenza e unicità del sollevamento di cammini  $\exists! \alpha_0, \alpha'_0 : I \rightarrow \mathbb{R} \mid \alpha_0(0) = \alpha'_0(0) = 0$  e  $\begin{cases} (p \circ \alpha_0) = \alpha \\ (p \circ \alpha'_0) = \alpha' \end{cases}$
- Sia  $H : I \times I \rightarrow S^1$  omotopia tra  $\alpha, \alpha'$ , ovvero  $\begin{cases} H_0(s) = H(s, 0) = \alpha(s) \\ H_1(s) = H(s, 1) = \alpha'(s) \end{cases}$ . Per esistenza e unicità del sollevamento di omotopie  $\exists! \tilde{H}$  sollevamento di  $H \mid \tilde{H}(0, 0) = 0$  e  $p \circ \tilde{H} = H$  ( $H(0, 0) = 1$  per ip.)
- Vogliamo avere informazioni su  $\tilde{H}_0$  e  $\tilde{H}_1$ .

$$\begin{cases} (p \circ \tilde{H})(s, 0) = H(s, 0) = H_0(s) = \alpha(s) \\ \tilde{H}_0(0) = 0 \end{cases} \Rightarrow \tilde{H}_0 = \alpha_0$$

Analogamente  $\tilde{H}_1 = \alpha'_0$

- Vogliamo avere informazioni su  $\tilde{H}_t(0)$  e  $\tilde{H}_t(1)$ . Abbiamo  $\begin{cases} \tilde{H}_t(0) = \alpha_0(0) = 0 \text{ costante} \\ \tilde{H}_t(1) = \alpha'_0(1) = \alpha'_0(1) \text{ costante} \end{cases}$

Ma allora abbiamo che  $\tilde{H}$  è omotopia tra  $\alpha_0$  e  $\alpha'_0$ , quindi essi sono omotopi e siamo apposto.

2.  $p(\alpha_0(1)) = \alpha(1) = 1 \implies \alpha_0(1) \in p^{-1}(1) = \mathbb{Z} \implies \text{Im } \Phi \subseteq \mathbb{Z}$
3.  $\Phi([e^{2\pi i m t}]) = m \implies \text{Im } \Phi = \mathbb{Z}$  (Favale si fa più pippe ma non ho voglia di scriverle)
4. Devo mostrare che  $\Phi([\alpha] \cdot [\beta]) = \Phi([\alpha]) + \Phi([\beta]) = \alpha_0(1) + \beta_0(1)$ .

- Vediamo che  $\Phi([\alpha] \cdot [\beta]) = \Phi([\alpha] * [\beta]) = (\alpha * \beta)_0(1)$  (notare che è  $\neq \alpha_0 * \beta_0$ )
- So che  $\alpha_0(1) \in \mathbb{Z}$ ,  $\beta_k(0) = k \in \mathbb{Z}$
- Fisso  $m = \alpha_0(1) \in \mathbb{Z} \implies \exists! \tilde{\beta}$  sollevamento di  $\beta \mid \tilde{\beta}(0) = m$ , che è  $\beta_m$
- Otteniamo

$$\begin{cases} \alpha_0(0) = 0 \\ \alpha_0(1) = m \\ \beta_m(0) = m \\ \beta_m(1) = ? \end{cases}$$

Possiamo giuntare i due rossi:  $\gamma = \alpha_0 * \beta_m$

- Allora  $p(\gamma)(0) = p(\alpha_0 * \beta_m)(0) = (p \circ \alpha_0) * (p \circ \beta_m)(0) = \alpha_0(0) = 0$ .  
Ma allora per l'unicità del sollevamento  $(\alpha * \beta)_0 = \alpha_0 * \beta_m$
- Infine

$$\begin{aligned} \Phi([\alpha] * [\beta]) &= (\alpha * \beta)_0(1) \\ &= (\alpha_0 * \beta_m)(1) \\ &= \beta_m(2s-1)|_{s=1} = \beta_m(1) \\ &= \beta_0(1) + m \quad \text{dal Lemma} \\ &= \alpha_0(1) + \beta_0(1) \\ &= \Phi([\alpha]) + \Phi([\beta]) \end{aligned}$$

Dove **Lemma**:  $\alpha \in \Omega(S^1, 1)$ , allora  $\begin{cases} \alpha_n = \alpha_0 + n \\ \alpha_n = \alpha_m + n - m \end{cases}$  (si dimostra esplicitando  $e^{2\pi i(\alpha_n(t)+m)}$ )

5.  $\Phi$  iniettiva  $\iff \ker(\Phi) = \{1_{\pi_1(S^1, 1)}\}$ .

- Prendiamo  $[\alpha] \in \ker(\Phi)$ , ovvero  $\Phi([\alpha]) = \alpha_0(1) = 0$ , ovvero

$$\begin{array}{ccc} \alpha_0 : & I & \rightarrow \mathbb{R} \\ & 0 & \mapsto 0 \\ & 1 & \mapsto 0 \end{array}$$

- Essendo  $\mathbb{R}$  convesso e  $\alpha_0$  loop in  $\mathbb{R} \implies \alpha_0 \sim_{\{0,1\}} 1_0$  (che è il cammino costante che vale sempre 0)  $\implies \exists \tilde{H} : I \times I \rightarrow \mathbb{R}$  omotopia rel. a  $\{0, 1\} \mid \tilde{H}_0 = \alpha_0, \tilde{H}_1 = 1_0$
- Allora  $p \circ \tilde{H} = H : I \times I \rightarrow S^1$  omotopia

$$\begin{cases} H_0(s) = p(\tilde{H}_0(s)) = p(\alpha_0(s)) = \alpha(s) \\ H_1(s) = p(\tilde{H}_1(s)) = p(1_0) = 1_0(s) \\ H_t(0) = p(\underbrace{\tilde{H}_t(0)}_{=0}) \stackrel{\tilde{H} \text{ omotop. rel}}{=} p(0) = 0 \end{cases}$$

Allora  $H$  è omotop. rel a  $\{0, 1\} \implies \alpha \sim_{\{0,1\}} 1_1 \implies [\alpha] = 1_{\pi_1(S^1, 1)}$

□

## 2.3 Applicazioni: teoremi di Brouwer, Borsuk e teorema fondamentale dell'algebra

**Proposizione 15**  $\nexists r : D^2 \rightarrow S^1$  retrazione

*Dimostrazione.* Se  $r : D^2 \rightarrow S^1$  retraz. (suriettiva)  $\implies r_* : \pi_1(D^2) \xrightarrow{=1} \pi_1(S^1) \xrightarrow{=\mathbb{Z}}$  assurdo.  
 Alternativamente:

Per assurdo prendo  $r$  retrazione, sia  $S^1 \xrightarrow{i} D^2$  e vale  $r \circ i = \text{Id}_{S^1}$ , ma quindi

$$r_* \circ \underbrace{i_*}_{\text{iniett.}} = (r \circ i)_* = (\text{Id}_{S^1})_* = \underbrace{\text{Id}_{\pi_1(S^1,1)}}_{\text{iniettiva}} \quad \text{ma } i_* : \boxed{\pi_1(S^1,1)} \xrightarrow{\neq 1} \boxed{\pi_1(D^2,1)} \xrightarrow{\neq 1} \Rightarrow i_* \text{ non iniettiva, } \nexists$$

□

**Teorema 5 (punto fisso di Brouwer)**  $\forall f : D^2 \rightarrow D^2$  continua  $\exists x \in D^2$  punto fisso per  $f$

In realtà al posto di  $D^2$  basta un compatto connesso di  $\mathbb{R}^n$ .

*Dimostrazione.* Per assurdo  $\forall x \ f(x) \neq x$ , posso definire

$$r : D^2 \rightarrow S^1, \quad r(x) = x + t(x - f(x)) \text{ con } t \geq 0 \text{ t.c. } \|r(x)\| = 1$$

(Favale si fa pippe su come trovare  $t$ ) ovvero la mappa che associa a ogni punto  $x \in D^2$  la sua proiezione su  $S^1$  "illuminata" da  $f(x)$  (ovvero prendo il vettore da  $f(x)$  a  $x$ , che esiste essendo  $x \neq f(x)$ , e lo prolungo fino a  $S^1$ ).

Quindi  $r$  è

- **Continua**, infatti piccole variazioni di  $x$  producono piccole variazioni di  $f(x)$  ( $f$  continua) e piccole variazioni di  $f(x)$  producono piccole variazioni del vettore sopra citato.
- **Identità su  $S^1$**  (per come abbiamo definito la proiezione di  $x$  e il vettore sopra citato)

Dunque  $r$  è una retrazione, ma per la prop. sopra essa non può esistere.  $\nexists$ .

□

**Teorema 6 (Borsuk-Ulam)** Sia  $f : S^2 \rightarrow \mathbb{R}^2$  continua  $\implies \exists x \in S^2 : f(x) = f(-x)$

NB: la proiezione stereografica non è contemplata poiché definita solo su  $S^2 \setminus \{\text{p.to}\}$ . Un esempio invece è la proiezione sul piano  $xy$ . Esempi applicati sono la **temperatura/pressione ad una certa altitudine su tutta la terra** (con  $x \mapsto \begin{pmatrix} \text{temp}(x) \\ \text{temp}(x) \end{pmatrix}$  oppure  $x \mapsto \begin{pmatrix} \text{temp}(x) \\ \text{pres}(x) \end{pmatrix}$ ).

*Dimostrazione.* No sbatti

□

**Teorema 7 (fondamentale dell'algebra)**  $a_n z^n + \dots + a_0 =: P \in \mathbb{C}[z]$ ,  $\deg P = n > 0 \implies \exists$  zero di  $P$

*Dimostrazione.* WLOG  $a_n = 1$ . Sia  $c \neq 0$  costante arbitraria, la tesi equivale a dimostrare che  $\exists$  zero di  $\tilde{P}(z)$  così costruita

$$\tilde{P}(z) := z^n + \frac{a_n}{c} z^n + \dots + \frac{a_1}{c^{n-1}} z + \frac{a_0}{c^n} \rightarrow P(c \cdot z) \equiv c^n \cdot \tilde{P}(z) \rightarrow \bar{z} \text{ zero di } \tilde{P} \Rightarrow c \cdot \bar{z} \text{ zero di } P$$

Quindi a meno di prendere  $|c| \gg 0$  assumo WLOG  $|a_0| + \dots + |a_{n-1}| < 1$  e cerco una radice di  $P$  in  $D^2$ . Per assurdo sia  $P(z) \in \mathbb{C}^* \forall z \in D^2$ , allora presa la restrizione  $P|_{S^1} : S^1 \rightarrow \mathbb{C}^*$  si  $P$  a  $S_1$ , questa sarà omeomorfa all'applicazione  $c$  costante di valore  $P(0)$  in quanto

$$F : S^1 \times [0,1] \rightarrow \mathbb{C}^* \quad F : (z,t) \mapsto P(\underbrace{t \cdot z}_{\in D^2}) \text{ è omotopia tra } P|_{S^1} \text{ e } c$$

Ma  $P|_{S^1}$  sarà omeomorfa anche alla funzione  $z^n : S^1 \rightarrow \mathbb{C}^*$ , siccome verifico che

$$F' : S^1 \times [0,1] \rightarrow \mathbb{C}^* \quad F' : (x,t) \mapsto z^n - t \cdot (a_{n-1} z^{n-1} + \dots + a_0) \text{ è omotopia tra } P|_{S^1} \text{ e } z^n$$

$$|F'(x,t)| \geq |z^n| - t \cdot |a_{n-1} z^{n-1} + \dots + a_0| \geq |z^n| - t \cdot (|a_{n-1}| z^{n-1} + \dots + |a_0|) \geq \text{(ricordando } z \in D^2, |z| \leq 1)$$

$$\geq 1 - t \cdot \left( \overbrace{|a_{n-1}| + \dots + |a_0|}^{< 1} \right) \geq 0 \quad \text{quindi } F' \text{ ben definita dato che } \text{Im}(F') \subseteq \mathbb{C}^*$$

Quindi  $z^n \simeq P|_{S^1} \simeq c$ . Ma  $(z^n)_* : \pi_1(S^1,1) \rightarrow \pi_1(\mathbb{C}^*,1) \rightarrow \pi_1(\mathbb{C}^*,1)$  è un omomorfismo non banale (composizione dell'omomorfismo non banale  $\cdot n$  da  $S^1$  in sé e dell'isomorfismo dell'inclusione tra  $S^1$  e  $\mathbb{C}^*$ ) mentre  $c_* : \pi_1(S^1,1) \rightarrow \pi_1(\mathbb{C}^*,1)$  è l'omomorfismo banale,  $\nexists$ .

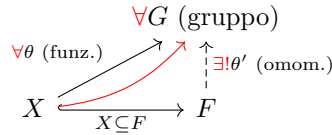
□



### 3 Gruppi liberi e presentazioni

**Definizione 3.1 (Gruppo libero su un sottoinsieme):**  $F$  gruppo e  $X \subseteq F$  sottoinsieme ("base"). Allora  $F$  è libero su  $X$  se vale la prop. universale

$$\boxed{\forall G \text{ gruppo, } \forall \theta : X \rightarrow G \text{ funzione} \quad \exists! \theta' : F \rightarrow G \text{ omom. di gruppi t.c. } \theta(x) = \theta'(x) \quad \forall x \in X}$$



$X$  è detta base di  $F$ .

*Osservazione* Per capire tale defin. pensare a  $V$  k-sp. vettoriale,  $\mathcal{B} = \{e_1, \dots, e_n\}$  base di  $V$ . Voglio  $f : V \rightarrow W$  lineare, allora mi basta scegliere le immagini della base  $w_i = f(e_i)$  e  $f$  è **univocamente determinata**:  $f(\sum a_i e_i) \stackrel{\text{lin}}{=} \sum a_i \underbrace{f(e_i)}_{=w_i}$ . Allora

$$\begin{cases} X = \mathcal{B} \\ \theta : \mathcal{B} \rightarrow W, e_i \mapsto w_i \end{cases} \text{ funzione che associa tutti i vettori della base a elem. di } W \implies \exists! \theta' = f : V \rightarrow W$$

*Osservazione* Abbiamo

- ! di  $\theta' \iff X$  genera  $F$
- ! di  $\theta' \iff$  gli elementi di  $X$  sono "algebricamente indipendenti"

Esempio 4  $\begin{cases} F = \mathbb{Z} \\ X = \{1\} \end{cases}$

**Proposizione 16**  $F_1, F_2$  liberi su  $X_1, X_2$  risp, allora  $F_1 \cong F_2 \iff X_1$  e  $X_2$  sono in biezione.

**Corollario 8**  $F$  libero su  $X_1$  e  $X_2 \implies X_1$  in biezione con  $X_2$

**Definizione 3.2 (rango/rank):** di un gruppo libero  $F$  con base  $X$  è  $\text{RK}(F) = \#X$

**Definizione 3.3 :**  $F$  gruppo libero di  $\text{RK}(F) = n$  è denotato con  $\mathbb{Z}^{*n}$

#### 3.1 Costruzione di gruppi liberi

Partiamo da un insieme qualsiasi  $X$

- **Base:**  $X$  insieme è detta base
- **Insieme degli inversi:**  $\hat{X} := \{\hat{x} : x \in X\}$ , che è in biezione con  $X$  tramite  $x \leftrightarrow \hat{x}$  e  $X \cap \hat{X} = \emptyset$
- **Insieme delle lettere/alfabeto:**  $X^\pm := X \cup \hat{X}$
- **Insieme delle parole di lunghezza  $n$ :**  $W_n := (X^\pm)^n$ .  
 $p \in W_n \implies p = (e_1, e_2, \dots, e_n), e_i \in X^\pm$
- **Insieme delle parole/vocabolario:**  $W := \bigcup_{n \geq 0} W_n$
- **Funzione lunghezza:**  $l(p) = \text{unico } n \text{ t.c. } p \in W_n$
- **Elemento neutro:** parola vuota  $\{(\cdot)\} \in W_0$
- **Operazione di riduzione:**  $p \mapsto p_{\text{red}}$  dove ho tolto tutti gli elementi del tipo  $\dots e_i, \hat{e}_i \dots$  oppure  $\dots \hat{e}_i, e_i \dots$ .  
Diciamo che  $p, p' \in W$  sono in relazione  $p \sim p' \iff p_{\text{red}} = p'_{\text{red}}$
- **Operazione prodotto (accostamento):**  $\cdot : W \times W \rightarrow W / \sim, (p, p') \mapsto [p_{\text{accodato}} p']$  ovvero accodamento+riduzione

Allora il gruppo libero su  $X$  è

$$(F(X), \cdot) := (W / \sim, \cdot)$$

**Teorema 8**  $(F(X), \cdot)$  come definito sopra è un gruppo ed è gruppo libero con base  $X$ .

**Definizione 3.4** (**Gruppo libero generato**):  $X$  insieme,  $F(X)$  costruito come sopra è detto gruppo libero generato da  $X$ .

### 3.2 Relazione tra gruppi e gruppi liberi

**Proposizione 17**  $F$  gruppo,  $X \subseteq F$  allora

$$F \cong F(X) \iff \begin{cases} X \text{ insieme di generatori} \\ \nexists \text{ parole in } X \text{ di lunghezza } \neq 0 \text{ che si riducono (ovvero sono "algebraic. indep.")} \end{cases}$$

**Proposizione 18**  $G$  gruppo con  $X \subseteq G$  insieme dei generatori  $\implies G$  è quoziente di un gruppo libero, in partic.

$$G = F(X) / \ker \theta'$$

dove  $F(X), \theta'$  come definiti in precedenza.

### 3.3 Presentazioni

**Definizione 3.5** (**Chiusura normale**): Sia  $S \subseteq G$  sottoinsieme di  $G$  gruppo, allora la sua chiusura normale  $\overline{S}$  in  $G$  è il più piccolo sottogruppo normale di  $G$  contenente  $S$ , ovvero l'intersezione di tutti i sottogruppi normali di  $G$  contenenti  $S$ :

$$\overline{S} = \bigcap_{S \subseteq H \triangleleft G} H$$

**Definizione 3.6** (**Presentazione**): Una presentazione di  $G$  gruppo è il dato di

- **Insieme (di generatori)**  $X \subseteq G$
- **Relazioni (tra i generatori)**:  $R \subseteq W$  ( $W$  parole su  $X$ )

tali che

$$G = F(X) / \overline{R}$$

dove  $F(X)$  è il gruppo generato da  $X$  e  $\overline{R}$  è la chiusura normale in  $G$  di  $R$ . La notazione è  $G = \langle X \mid R \rangle$

*Osservazione* Nella pratica la presentazione vuol dire:

$$G = \langle X \mid R \rangle \longrightarrow G = \left\langle X \mid \{r = \overset{\text{elem.}}{e}^{\text{neutro}} : r \in R\} \right\rangle$$

*Esempio 5* Abbiamo:

- $F(X) = \langle X \mid \emptyset \rangle$ , quindi  $\mathbb{Z} = \langle a \mid \emptyset \rangle$
- $\mathbb{Z}/n\mathbb{Z} = \langle a \mid a^n \rangle$
- $\langle \{a, b\} \mid ab = ba \rangle = \mathbb{Z} \oplus \mathbb{Z}$  (è il prodotto cartesiano che però è meglio scrivere così perché indica che è abel. e l'operazione è il  $+$ )
- $\langle \{a, b\} \mid \emptyset \rangle = \mathbb{Z} * \mathbb{Z}$  (vedi dopo per prod. libero)

**Proposizione 19** (**Gruppo abelianizzato**) Se  $G = \langle X \mid R \rangle$  allora

$$\text{Ab}(G) = \langle X \mid R \cup \{[a, b] : a, b \in X\} \rangle$$

Infatti inserire i commutatori  $[a, b] = aba^{-1}b^{-1}$  nelle relazioni vuol dire che  $[a, b] = e \iff aba^{-1}b^{-1} = e \iff ab = ba \quad \forall a, b \in X$

## 4 Prodotto libero e Teorema di Van Kampen

### 4.1 Prodotto libero di gruppi

**Definizione 4.1** (**Prodotto libero (con presentazioni)**):  $G, H$  gruppi con  $\begin{cases} G = \langle X \mid R \rangle \\ H = \langle Y \mid S \rangle \end{cases}$  allora

$$G * H := \langle X \sqcup Y \mid R \cup S \rangle$$

**Definizione 4.2** (**prodotto libero (con parole)**):  $G_1, G_2$  gruppi, prendo l'alfabeto  $A := (G_1 \setminus \{1_{G_1}\}) \sqcup (G_2 \setminus \{1_{G_2}\}) \sqcup \{1\}$  e definisco prodotto libero  $G_1 * G_2$  l'insieme delle parole  $g_1 \cdots g_n$  ridotte (tali che  $g_i \in G_k \Rightarrow g_{i+1} \notin G_k$ ) e della parola vuota 1, costruendo su esso la struttura di gruppo con

$$(g_1 \cdots g_n)^{-1} := g_n^{-1} \cdots g_1^{-1} \quad (g_1 \cdots g_n) \cdot (t_1 \cdots t_m) := \begin{cases} g_1 \cdots g_n t_1 \cdots t_m & g_n \in G_k, t_1 \notin G_k \\ g_1 \cdots g_{n-1} (g_n t_1) t_2 \cdots t_m & g_n, t_1 \in G_k, g_n t_1 \neq 1_{G_k} \\ (g_1 \cdots g_{n-1}) \cdot (t_2 \cdots t_m) & g_n, t_1 \in G_k, g_n t_1 = 1_{G_k} \end{cases}$$

*Osservazione* Se  $G_i \neq \{1\}$  allora  $G_1 * G_2$  non è abeliano

**Proposizione 20** (**proprietà fondamentale del prodotto libero**) Siano  $G_1, G_2$  gruppi. Allora dato  $H$  gruppo

$$\forall \begin{cases} \psi_1: G_1 \rightarrow H \\ \psi_2: G_2 \rightarrow H \end{cases} \text{ omom. di gruppi } \implies \exists! \psi: G_1 * G_2 \rightarrow H \text{ t.c. } \begin{cases} \psi_1 = \psi \circ \varphi_1 \\ \psi_2 = \psi \circ \varphi_2 \end{cases}$$

$$\begin{array}{ccc} G_1 & \xrightarrow{\psi_1} & H \\ \varphi_1 \downarrow & \searrow \exists! \psi & \\ G_1 * G_2 & \xrightarrow{\quad} & H \\ \varphi_2 \uparrow & \swarrow \psi_2 & \\ G_2 & \xrightarrow{\psi_2} & H \end{array}$$

*Dimostrazione.* Costruisco  $\psi$ :

- Parole di lunghezza 1:

$$\psi(\varphi_s(x)) := \psi_s(x)$$

- Parole di lunghezza qualsiasi: se  $p = abc \dots$  allora

$$\psi(p) := \psi_s(a) \psi_k(b) \psi_s(c) \dots$$

banalmente rispetta la condizione ed è un morfismo. □

### 4.2 Teorema di Van Kampen

**Definizione 4.3** (**Sottogruppo normale generato**): Abbiamo:

$G$ gruppo	Sottogruppo generato da $S$	$\subsetneq$	Sottogruppo <i>normale</i> generato da $S$
$S \subset G$	$\{s_1^{\varepsilon_1} \cdots s_n^{\varepsilon_n}\}$ con $s_i \in S, \varepsilon_i = \pm 1$		$\{a \cdot s_1^{\varepsilon_1} \cdots s_n^{\varepsilon_n} \cdot a^{-1}\}$ con $s_i \in S, \varepsilon_i = \pm 1, a \in G$

**Impostazione del teorema** Siano  $X$  spazio topologico,  $A, B \subseteq X$  aperti di  $X = A \cup B$ ,  $A, B, A \cap B$  connessi per archi e  $x \in A \cap B$ . Abbiamo

$$\begin{array}{ccccc} & & A & & \\ & \nearrow i & & \searrow h & \\ A \cap B & & & & X \\ & \searrow j & & \nearrow k & \\ & & B & & \end{array}$$

è commutativo, ovvero  $h \circ i = k \circ j$ , con  $h, i, j, k$  le inclusioni. Usando

- **funtore**  $\pi_1$  ti tutto ciò

- proprietà fondamentale del prodotto libero

otteniamo il seguente:

$$\begin{array}{ccccc}
 & & \pi_1(A, x_0) & & \\
 & \nearrow i_* & \downarrow \psi_A & \searrow h_* & \\
 \pi_1(A \cap B, x_0) & & \pi_1(A, x_0) * \pi_1(B, x_0) & \xrightarrow{\psi} & \pi_1(X, x_0) \cong \frac{\pi_1(A, x_0) * \pi_1(B, x_0)}{\ll i_*(a) j_*(a^{-1}) \gg} \\
 & \searrow j_* & \uparrow \psi_B & \nearrow k_* & \\
 & & \pi_1(B, x_0) & & 
 \end{array}$$

dove

- $i_* : [\alpha]_{A \cap B} \mapsto [\alpha]_A$  eccetera
- $\psi_A(\overset{\text{elemento}}{[\gamma]_A}) = \overset{\text{parola nel prod. libero}}{[\gamma]_A}$
- **Commutatività** (dalle proprietà funtoriali):  $h_* \circ i_* = k_* \circ j_*$
- **Esistenza del morfismo  $\psi$**  (da proprietà fondamentale del prodotto libero)

**Teorema 9 (Seifert-Van Kampen)** Il morfismo  $\psi: \pi_1(A, x) * \pi_1(B, x) \rightarrow \pi_1(X, x)$  (che esiste per la proprietà fondamentale del prodotto libero) è:

I) **Suriettivo**:  $\text{Im } \psi = \pi_1(X, x)$

II) **Kernel**:  $\ker \psi = N := \ll i_*[\gamma] j_*[\gamma]^{-1} : [\gamma] \in \overbrace{\pi_1(A \cap B, x_0)}^{\text{basta solo nei gener.}} \gg$   
 Riscritto abbreviato:  $\ker \psi = \ll i_*(a) j_*(a^{-1}) \gg$  al variare di  $a := [a] \in \pi_1(A \cap B, x_0)$

E quindi per il primo teo. di isomorfismo abbiamo:

$$\pi_1(X, x_0) \cong \frac{\pi_1(A, x_0) * \pi_1(B, x_0)}{\ll i_*(a) j_*(a^{-1}) \gg} = \langle X_A \cup X_B \mid R_A \cup R_B \cup R_{SVK} \rangle$$

$$\text{dove } \begin{cases} \pi_1(A, x_0) = \langle X_A \mid R_A \rangle \\ \pi_1(B, x_0) = \langle X_B \mid R_B \rangle \end{cases} \quad \text{e } R_{SVK} = \{ [\gamma]_A [\gamma]_B^{-1} : [\gamma] \in \overbrace{\pi_1(A \cap B, x_0)}^{\text{basta solo nei gener.}} \}$$

Un modo ancora più abbreviato per scrivere il kernel è

$$\ker \psi = \ll [\gamma]_A [\gamma]_B^{-1} : [\gamma]_{A \cap B} \gg$$

Il modo per leggere  $R_{SVK}$  è che  $[\gamma]_A [\gamma]_B^{-1} = 1$  ovvero  $[\gamma]_A = [\gamma]_B$  dove  $[\gamma] \in \pi_1(A \cap B)$ . Infatti quando unisco i due spazi devo aggiungere la relazione che i lacci nell'intersezione sono proprio uguali.

*Dimostrazione.* (II)  $\ker \psi = N$ . Doppia inclusione.

$\supseteq$  Quando scrivo  $\psi([\cdot]_A)$  intendo  $\psi(\psi_A([\cdot]_A))$ , stessa cosa con  $B$   
 Voglio dimostrare che

$$[\gamma]_{A \cap B} \in \pi_1(A \cap B, x_0) \implies \overset{\text{parole}}{\psi([\gamma]_A \cdot [\gamma]_B^{-1})} = 1$$

Infatti

$$\begin{aligned}
 \overset{\text{parole}}{\psi([\gamma]_A \cdot [\gamma]_B^{-1})} &= \psi([\gamma]_A) \cdot \psi([\gamma]_B)^{-1} \quad \text{per def. di } \psi \text{ nella prop. univers.} \\
 &= h_*[\gamma]_A \cdot (k_*[\gamma]_B)^{-1} \quad \text{per def. di } \psi \text{ nella prop. univers.} \\
 &= h_*(i_*[\gamma]_{A \cap B}) \cdot (k_*(j_*[\gamma]_{A \cap B}))^{-1} \quad \text{def. di } i_* \text{ e } j_* \\
 &= h_*(i_*[\gamma]_{A \cap B}) \cdot (h_*(i_*[\gamma]_{A \cap B}))^{-1} \quad \text{essendo } h_* \circ i_* = k_* \circ j_* \text{ per prop. funtoriali} \\
 &= 1
 \end{aligned}$$

Allora  $N \subseteq \ker \psi$ , poiché  $N$  è generato dagli elementi che abbiamo visto andare in 1

$\subseteq$  scomponendo con il Lemma di Lebesgue per cammini ogni cammino in  $\pi_1(X, x)$  omotopo al cammino costante in pezzi tutti in  $A$  o in  $B$  (vedi lemma seguente) e scrivendolo come parola di lettere  $(\psi_A \circ i_*(a))$  e  $(\psi_B \circ j_*(a))^{-1}$

□

*Dimostrazione. (I)* Devo dimostrare che

$$\forall [\gamma]_X \in \pi_1(X, x_0) \quad \exists p \in \pi_1(A) * \pi_1(B) \quad \text{parola t.c. } \psi(p) = [\gamma]_X$$

Dato  $\gamma \in \Omega(X, x_0)$  costruiamo  $p$ .

- Per Lemma di Lebesgue per cammini (e lemma sotto) ho  $\gamma \sim_{\{0,1\}} \alpha_1 * \beta_1 * \dots * \alpha_s * \beta_s$  con  $\begin{cases} \alpha_i \in \Omega(A, x_0) \\ \beta_i \in \Omega(B, x_0) \end{cases}$ .

Ma allora

$$[\gamma]_X = [\alpha_1]_X * [\beta_1]_X * \dots * [\alpha_s]_X * [\beta_s]_X$$

- abbiamo che  $\begin{cases} [\alpha_1]_A, \dots, [\alpha_s]_A \in \pi_1(A, x_0) \\ [\beta_1]_B, \dots, [\beta_s]_B \in \pi_1(B, x_0) \end{cases}$

- Definisco  $p \in \pi_1(A) * \pi_1(B)$ :

$$p := [\alpha_1]_A [\beta_1]_B \dots [\alpha_s]_A [\beta_s]_B$$

In questo modo

$$\psi(p) \stackrel{\text{def.}}{=} \psi([\alpha_1]_A) \dots \psi([\beta_s]_B) \stackrel{\text{def.}}{=} [\alpha_1]_X \dots [\beta_s]_X = [\gamma]_X$$

□

**Proposizione 21** Nella definizione di  $N$  (che è  $\ker \psi$ ) basta prendere  $[\gamma] \in S$  con  $S$  sistema di generatori di  $\pi_1(A \cap B, x_0)$ . Ovvero

$$N = H_S := \ll [\gamma]_A \cdot [\gamma]_B^{-1} : [\gamma] \in S \gg$$

*Dimostrazione.* No sbatti

□

**Lemma 8** Un loop nell'unione  $A \cup B$  si può scrivere come giunzione di loop contenuti interamente in  $A$  o  $B$ .  
Ovvero, siano vere le ip. di SVK, sia  $\gamma \in \Omega(X, x_0)$  (con  $x_0 \in A \cup B$ ), allora

$$\gamma \sim_{0,1} \alpha_1 * \dots * \alpha_s \quad \text{con } \alpha_i \in \Omega(X, x_0) : \text{Im}(\alpha_i) \subseteq A \text{ aut } B$$

*Dimostrazione.* No sbatti

□

*Esempio 6 (semplice connessione di  $S^{n \geq 2}$ )* Prendo  $A = S^n \setminus \{1, 0, \dots, 0\}$ ,  $B = S^n \setminus \{-1, 0, \dots, 0\}$  entrambi omeomorfi a  $\mathbb{R}^n$  (tramite la proiezione stereografica) e dunque semplicemente connessi.  $A \cap B$  omeomorfo a  $\mathbb{R}^n \setminus \{0\}$ , c.p.a. e dunque posso applicare Seifert-Van Kampen

**Corollario 9** Se  $A \cap B$  semplicemente connesso  $\implies \pi_1(X, x_0) = \cong \pi_1(A, x_0) * \pi_1(B, x_0)$

*Dimostrazione.*  $A \cap B$  semplicemente connesso  $\implies \pi_1(A \cap B, x_0) = \{1\}$ , quindi per SVK  $\ker \psi = N := \ll i_*[\gamma]j_*[\gamma]^{-1} \mid [\gamma] \in \underbrace{\pi_1(A \cap B, x_0)}_{=1} \gg = \ll 1 \gg = 1$

□

**Corollario 10**  $A, B, A \cap B$  come ipotesi di Van Kampen e connessi per archi,  $A, B$  semplicemente connessi  $\implies X$  semplicemente connesso

## Parte II

# Geometria differenziale

## Preliminari Meschini

**Definizione 4.4** (**funzione liscia**):  $f$  liscia su  $I$  se  $f \in C^\infty(I)$  con  $C^\infty(I) = \bigcap_{k=1}^\infty C^k(I)$ .

*Osservazione*  $C^k(I)$  e  $C^\infty(I)$  sono anelli commutativi rispetto a somma e prodotto di funzioni (per dim. che il prodotto è chiuso fare induzione su  $k$  e usare regola di derivazione del prodotto)

*Esempio 7* (**funzioni bump**) ci sono funzioni  $C^\infty(I)$  che sono nulle su un intervallo ma non su tutto  $I$ , come

$$f(x) = \begin{cases} 0 & x \leq 0 \\ e^{-\frac{1}{x^2}} & x > 0 \end{cases}$$

**Definizione 4.5** (**diffeomorfismo**):  $I, J \subseteq \mathbb{R}^n$ ,  $f: I \rightarrow J$  diffeomorfismo se

- (i)  $f \in C^\infty(I)$                       (ii)  $f$  invertibile (biunivoca)                      (iii)  $f^{-1} \in C^\infty(J)$

*Osservazione* (iii)  $\implies J_f \neq \mathbf{0}$ . Se siamo in  $\mathbb{R}$ :  $f'(x) \neq 0 \quad \forall x \in (I)$ .

Infatti dal teorema della derivata dell'inversa:  $[f^{-1}(s)]' = \frac{1}{f'(f^{-1}(s))} \quad \forall s \in J \implies f'(x) \neq 0 \quad \forall x \in I$

*Osservazione* Le 3 proprietà sono indipendenti, ad esempio per  $f(x) = x^3$  valgono le prime due ma non la terza.

**Proposizione 22**  $I \subset \mathbb{R}$  intervallo aperto,  $h: I \rightarrow \mathbb{R} \in C^{k \geq 1}(I)$ , e  $h'(x) \neq 0 \quad \forall x \in I \implies h: I \rightarrow J$  diffeomorfismo di classe  $C^k$  e  $J = h(I)$  aperto.

*Dimostrazione.* WLOG  $h' > 0$  (per teo. degli zeri, se è  $\neq 0$  e continua allora è tutta positiva o negativa), quindi  $h$  strettamente crescente e iniettiva, quindi  $h: I \rightarrow J$  biunivoca. Inoltre  $J$  intervallo, aperto in quanto per la stretta crescita di  $h$  vale  $(x_0 - \varepsilon, x_0 + \varepsilon)$  intorno aperto di  $x_0 \implies (h(x_0 - \varepsilon), h(x_0 + \varepsilon))$  intorno aperto di  $h(x_0)$ . Infine  $h^{-1} \in C^k(I)$  (esiste in quanto biunivoca) induttivamente sulla classe di  $Dh^{-1}(y) = \frac{1}{h'(h^{-1}(y))}$ : infatti la derivata dell'inversa è composizione di una funzione  $C^0(h^{-1})$  e  $C^\infty(1/t)$ , quindi la derivata è a sua volta  $C^0 \implies h^{-1} \in C^1$ . Con lo stesso ragionamento  $h^{-1} \in C^2$   $\square$

## 5 Curve

**Definizione 5.1** (**curva parametrizzata**):  $\alpha: \overset{\text{aperto}}{J} \rightarrow \mathbb{R}^3$ , con  $J \subseteq \mathbb{R}$  intervallo aperto e  $\alpha \in C^\infty$ .  $\text{Im}(\alpha)$  *traccia* o *supporto* di  $\alpha$ .

**Definizione 5.2** (**vettore tangente ad una curva**):  $\mathbf{t} = \alpha' = \frac{d\alpha}{dt}$  vettore tangente ad  $\alpha$

**Definizione 5.3** (**riparametrizzazione**):  $\tilde{\alpha}: \tilde{I} \rightarrow \mathbb{R}^3$  è riparametrizzazione di  $\alpha: I \rightarrow \mathbb{R}^3$  se esiste diffeomorfismo  $h: \tilde{I} \rightarrow I \mid \tilde{\alpha} = \alpha(h(s)) \quad \forall s \in \tilde{I}$ . Si dicono equivalenti  $\alpha \in C^k(I)$  e  $\tilde{\alpha} \in C^k(\tilde{I})$  ottenute l'una dall'altra per riparametrizzazione.

$$\begin{array}{ccc} I & \xrightarrow{\alpha} & \mathbb{R}^3 \\ \uparrow h \text{ diffeo.} & \nearrow \tilde{\alpha} & \\ \tilde{I} & & \end{array}$$

*Osservazione*  $h$  diffeo.  $\implies h^{-1}$  diffeo  $\implies \alpha(t) = \tilde{\alpha}(h^{-1}(t))$  è riparametrizz. di  $\tilde{\alpha}$

**Definizione 5.4** (**curva regolare**):  $\forall t \in I, \alpha'(t) \neq 0$

*Osservazione* Per una curva regolare  $\alpha$  è ben definita la retta tangente ad  $\alpha$  in  $t$

**Definizione 5.5** (**curva semplice**):  $\alpha$  curva parametrizzata è semplice se iniettiva (al variare di  $t$  non ripasso mai sullo stesso punto)

## 5.1 Lunghezza d'arco e Curvatura

**Definizione 5.6** (lunghezza d'arco):  $L(\alpha) = \int_a^b \|\alpha'(t)\| dt$  per  $\alpha$  curva regolare

*Osservazione* La lunghezza d'arco è invariante per riparametrizzazione

**Definizione 5.7** (parametrizzazione per lunghezza d'arco):  $\beta$  curva regolare tale che  $\|\beta'(t)\| \equiv 1$

**Proposizione 23** Una curva regolare  $\alpha : J \rightarrow \mathbb{R}^3$  ammette sempre una parametrizzazione per lunghezza d'arco  $\beta$

*Dimostrazione.* Preso il parametro naturale  $s(t) = \int_{t_0}^t \|\alpha'(\tau)\| d\tau = L(\alpha|_{[t_0, t]})$ , allora  $\beta := \alpha \circ s^{-1}$   $\square$

Notazione $\frac{d}{dt} := (\dot{\phantom{x}})$ $\frac{d}{ds} := (\dot{\phantom{x}})$ $\frac{d^2}{dt^2} := (\ddot{\phantom{x}})$ $\frac{d^2}{ds^2} := (\ddot{\phantom{x}})$
---

**Definizione 5.8** (curvatura):  $\kappa(s) := \|\ddot{\alpha}\| = \left\| \frac{d^2 \alpha(s)}{ds^2} \right\|$  per  $\alpha$  parametrizzata per lunghezza d'arco (vettore curvatura  $\kappa = \frac{d^2 \alpha(s)}{ds^2} = \frac{d\dot{\alpha}}{ds}$ )

*Esempio 8* (curvatura del cerchio) Cerchio di raggio  $R$ ,  $\kappa \equiv \frac{1}{R}$

*Osservazione*  $\kappa \equiv 0 \iff \alpha$  parte di retta

*Osservazione* Curvatura in un parametro generico  $\kappa(s(t)) = \frac{\|\alpha' \wedge \alpha''\|}{\|\alpha'\|^3}$

**Definizione 5.9** (curva biregolare):  $\alpha$  curva regolare per cui  $\alpha' \wedge \alpha'' \neq 0 \forall t$  ovvero l'accelerazione non è mai parallela alla velocità

*Osservazione* Se  $\alpha$  parametrizzata per lunghezza d'arco, allora biregolare  $\iff \ddot{\alpha} \neq 0$ , siccome  $\ddot{\alpha} \perp \dot{\alpha}$

### 5.1.1 Prodotto vettoriale e isometrie

**Definizione 5.10** (isometria di  $\mathbb{R}^3$ ):  $f(v) = Av + w$  con  $A \in O(3)$  e  $w \in \mathbb{R}^3$

POSITIVA  $\det A = 1$  ( $A \in SO(3)$ )

NEGATIVA  $\det A = -1$

**Proposizione 24** (invarianza della curvatura per isometrie) La curvatura è invariante per isometrie. In particolare se  $\alpha : J \rightarrow \mathbb{R}^3$  curva param. per lunghezza d'arco,  $f : \mathbb{R}^3 \rightarrow \mathbb{R}^3$  isometria e  $\beta = f \circ \alpha$ , allora

$$\begin{cases} \beta \text{ param. per lung. d'arco} \\ \kappa_\alpha(s) = \kappa_\beta(s) \end{cases}$$

*Dimostrazione.* Due tesi:

1.  $\beta'(s) = (f \circ \alpha)'(s) = Df(\alpha(s))\alpha'(s) = A\alpha'(s) \implies \|\beta(s)\| = \|A\alpha'(s)\| = \|\alpha'(s)\| = 1 \quad \forall s \in J$   
(abbiamo usato il fatto che  $f(x) = Ax + v$  con  $A \in O(3)$ )
2.  $\kappa_\beta(s) = \|\beta''(s)\| = \left\| \frac{d}{ds} \beta'(s) \right\| = \left\| \frac{d}{ds} (A\alpha'(s)) \right\| = \|A\alpha''(s)\| = \|\alpha''(s)\| =: \kappa_\alpha(s)$

$\square$

**Definizione 5.11** (prodotto vettoriale):  $u \wedge v := \det \begin{pmatrix} e_1 & e_2 & e_3 \\ u_1 & u_2 & u_3 \\ v_1 & v_2 & v_3 \end{pmatrix}$

**Proposizione 25** Per  $A \in O(3)$  vale  $A(u \wedge v) = \det A \cdot [(Au) \wedge (Av)]$

**Definizione 5.12** (orientazione di uno spazio vettoriale): Quoziente di relazione di equivalenza sulla positività della matrice di trasformazione di basi

### 5.1.2 Prodotto scalare e vettoriale di funzioni lisce

**Definizione 5.13** (prodotto scalare/vettoriale di funzioni vettoriali lisce): Se  $u, v \in C^\infty((a, b), \mathbb{R}^n)$  allora

$$\begin{aligned}\langle u, v \rangle : t &\mapsto \langle u(t), v(t) \rangle && \in C^\infty((a, b), \mathbb{R}) \\ u \wedge v : t &\mapsto u(t) \wedge v(t) && \in C^\infty((a, b), \mathbb{R})\end{aligned}$$

**Lemma 9** (Derivata del prodotto in generale) Per una funzione **bilineare**  $*$  :  $A \times B \rightarrow C$  vale

$$\frac{d}{dt}(a(t) * b(t)) = \frac{da(t)}{dt} * b(t) + a(t) * \frac{db(t)}{dt}$$

con  $a(t) \in A$  e  $b(t) \in B$  funzioni

**Corollario 11** Essendo prodotto scalare e vettoriale funzioni bilineari:

$$\begin{aligned}\frac{d}{dt} \langle u, v \rangle &= \left\langle \frac{du}{dt}, v \right\rangle + \left\langle u, \frac{dv}{dt} \right\rangle \quad (\text{regola di Leibiz}) \\ \frac{d}{dt} u \wedge v &= \frac{du}{dt} \wedge v + u \wedge \frac{dv}{dt}\end{aligned}$$

*Dimostrazione.* P.8

□

**Definizione 5.14** (norma di funzioni vettoriali lisce):  $|u| = \sqrt{\langle u, u \rangle}$

**Proposizione 26** La norma di una funzione vettoriale liscia è liscia dove la funzione vettoriale non si annulla.

*Dimostrazione.* Siccome vale che  $\sqrt{\cdot} \in C^\infty((0, +\infty), \mathbb{R})$

□

## 5.2 Triedro di Frenet

**Definizione 5.15** (triedro di Frenet): Presa  $\alpha$  curva biregolare parametrizzata con lunghezza d'arco,  $(\mathbf{t}, \mathbf{n}, \mathbf{b})$  con

$$\mathbf{t}(t) := \dot{\alpha} = \frac{d}{ds} \alpha(s) \quad \mathbf{n}(t) := \frac{\ddot{\alpha}(s)}{|\ddot{\alpha}(s)|} = \frac{\ddot{\alpha}(s)}{\kappa(s)} = \frac{1}{\kappa(s)} \frac{d^2}{ds^2} \alpha(s) \quad \mathbf{b}(s) = \mathbf{t}(s) \wedge \mathbf{n}(s)$$

abbiamo che  $\mathbf{t}(t), \mathbf{n}(t), \mathbf{b}(t)$  sono funzioni vettoriali lisce e formano una base ortonormale di  $\mathbb{R}^3$  che varia con il tempo.

**Definizione 5.16** (torsione): Presa  $\alpha$  curva biregolare,

$$\tau(s) = \left\langle \frac{d\mathbf{b}}{ds}, \mathbf{n} \right\rangle$$

e quindi  $\frac{d}{ds} \mathbf{b}(s) = \tau(s) \cdot \mathbf{n}(s)$

**Evoluzione del triedro con  $s$  nella base locale** abbiamo

$$\begin{cases} \frac{d}{ds} \mathbf{t}(s) = \ddot{\alpha}(s) = \kappa(s) \mathbf{n}(s) \\ \frac{d}{ds} \mathbf{n}(s) = D(s) \mathbf{t}(s) + E(s) \mathbf{n}(s) + F(s) \mathbf{b}(s) & D, E, F \text{ funzioni scalari} \rightarrow \text{ nella base locale} \\ \frac{d}{ds} \mathbf{b}(s) = A(s) \mathbf{t}(s) + B(s) \mathbf{n}(s) + C(s) \mathbf{b}(s) & A, B, C \text{ funzioni scalari} \rightarrow \text{ nella base locale} \end{cases}$$

dobbiamo determinare le 6 funzioni. Ricordiamo che essendo in una **base ortonormale** abbiamo

$$\frac{d\mathbf{b}}{ds} = \begin{cases} A(s) = \left\langle \frac{d}{ds} \mathbf{b}(s), \mathbf{t}(s) \right\rangle \rightarrow \text{componente della deriv. su } \mathbf{t} \\ B(s) = \left\langle \frac{d}{ds} \mathbf{b}(s), \mathbf{n}(s) \right\rangle \\ C(s) = \left\langle \frac{d}{ds} \mathbf{b}(s), \mathbf{b}(s) \right\rangle \end{cases}$$

e ricordando che per due funzioni vettoriali lisce  $u, v : J \rightarrow \mathbb{R}^3 \mid \langle u, v \rangle = \text{cost.}$  si ha (ricordare formula der. del prod.)

$$\left\langle \frac{d}{dt} u, v \right\rangle = - \left\langle u, \frac{d}{dt} v \right\rangle$$



allora

$$\frac{d\mathbf{b}}{ds} = \begin{cases} A(s) = \left\langle \frac{d\mathbf{b}}{ds}, \mathbf{t} \right\rangle = -\left\langle \mathbf{b}, \frac{d\mathbf{t}}{ds} \right\rangle = -\left\langle \mathbf{b}, \kappa \mathbf{n} \right\rangle = -\kappa \left\langle \mathbf{b}, \mathbf{n} \right\rangle = 0 & \text{NB} \\ B(s) = \left\langle \frac{d\mathbf{b}}{ds}, \mathbf{n} \right\rangle := \tau(s) & \text{torsione} \\ C(s) = \left\langle \frac{d\mathbf{b}}{ds}, \mathbf{b} \right\rangle = 0 \end{cases} \implies \boxed{\frac{d\mathbf{b}}{ds} = \tau(s) \mathbf{n}}$$

NB  $\frac{d\mathbf{b}}{dt}$  ha componente nulla su  $\mathbf{t}$ .  
Poi abbiamo

$$\frac{d\mathbf{n}}{ds} = \begin{cases} D(s) = \left\langle \frac{d\mathbf{n}}{ds}, \mathbf{t} \right\rangle = -\left\langle \mathbf{n}, \frac{d\mathbf{t}}{ds} \right\rangle = -\left\langle \mathbf{n}, \kappa \mathbf{n} \right\rangle = -\kappa \left\langle \mathbf{n}, \mathbf{n} \right\rangle = -\kappa(s) \\ E(s) = \left\langle \frac{d\mathbf{n}}{ds}, \mathbf{n} \right\rangle = 0 \\ F(s) = \left\langle \frac{d\mathbf{n}}{ds}, \mathbf{b} \right\rangle = -\left\langle \mathbf{n}, \frac{d\mathbf{b}}{ds} \right\rangle = -\left\langle \mathbf{n}, \tau(s) \mathbf{n} \right\rangle = -\tau \left\langle \mathbf{n}, \mathbf{n} \right\rangle = -\tau(s) \end{cases} \implies \boxed{\frac{d\mathbf{n}}{ds} = -\kappa(s) \mathbf{t} - \tau(s) \mathbf{b}}$$

Riassumendo:

**Teorema 10 (equazioni di Frenet)** Per  $\alpha(s)$  parametrizzata nella lunghezza d'arco

$$\frac{d\mathbf{t}}{ds} = \kappa(s) \mathbf{n}(s) \qquad \frac{d\mathbf{n}}{ds} = -\kappa(s) \mathbf{t} - \tau(s) \mathbf{b} \qquad \frac{d\mathbf{b}}{ds} = \tau(s) \mathbf{n}$$

**Proposizione 27** Una curva biregolare è piana se e solo se  $\tau \equiv 0$

*Dimostrazione.*  $\mathbf{b}(s) = \mathbf{t}(s) \wedge \mathbf{n}(s)$  costante, e quindi  $\mathbf{t}(s)$  e  $\mathbf{n}(s)$  giacciono sempre sullo stesso piano.  $\square$

**Proposizione 28 (Invarianza di  $\tau$  per isometrie positive)** Presa  $\alpha = \alpha(s)$  curva biregolare,  $f$  isometria di  $\mathbb{R}^3$  positiva ( $f = A\mathbf{x} + \mathbf{v}$  con  $A \in SO(3)$ ) e  $\beta := f \circ \alpha = A\alpha(s) + \mathbf{v}$ , allora  $\kappa_\alpha \equiv \kappa_\beta$  e  $\tau_\alpha \equiv \tau_\beta$ .

*Dimostrazione.* Dimostriamo che

$$\begin{cases} \mathbf{t}_\beta = A\mathbf{t}_\alpha \\ \mathbf{n}_\beta = A\mathbf{n}_\alpha \\ \mathbf{b}_\beta = A\mathbf{b}_\alpha \end{cases}$$

$$\bullet \mathbf{t}_\beta = \dot{\beta} = \frac{d}{ds}(A\alpha(s) + \mathbf{v}) = \frac{d}{ds}(A\alpha(s)) + \underbrace{\frac{d\mathbf{v}}{dt}}_{=0} = \underbrace{\frac{dA}{ds}}_0 \alpha(s) + A \frac{d\alpha}{ds} = A \frac{d\alpha}{ds} = A\mathbf{t}_\alpha$$

$$\bullet \text{ da prima abbiamo } \ddot{\beta} = \frac{d}{ds}(A\dot{\alpha}(s)) = \frac{dA}{ds}\dot{\alpha} + A\ddot{\alpha} = A\ddot{\alpha} \implies \mathbf{n}_\beta = \frac{\ddot{\beta}}{\|\ddot{\beta}\|} = \frac{A\ddot{\alpha}}{\|A\ddot{\alpha}\|} = \frac{A\ddot{\alpha}}{\|\ddot{\alpha}\|} = A\mathbf{n}_\alpha$$

$$\bullet \mathbf{b}_\beta = \mathbf{t}_\beta \wedge \mathbf{n}_\beta = (A\mathbf{t}_\alpha) \wedge (A\mathbf{n}_\alpha) = A(\mathbf{t}_\alpha \wedge \mathbf{n}_\alpha) = A\mathbf{b}_\alpha$$

Allora

$$\tau_\beta = \left\langle \frac{d\mathbf{b}_\beta}{ds}, \mathbf{n}_\beta \right\rangle = \left\langle \frac{d}{ds}(A\mathbf{b}_\alpha), A\mathbf{n}_\alpha \right\rangle = \left\langle A \frac{d}{ds}(\mathbf{b}_\alpha), A\mathbf{n}_\alpha \right\rangle \stackrel{*}{=} \left\langle \frac{d}{ds}(\mathbf{b}_\alpha), \mathbf{n}_\alpha \right\rangle = \tau_\alpha$$

in  $\star$  poiché  $A \in SO(3)$   $\square$

**Definizione 5.17 (piano osculatore):** Piano generato da  $\mathbf{t}(s)$  e  $\mathbf{n}(s)$

**Definizione 5.18 (piano rettificante):** Piano generato da  $\mathbf{t}(s)$  e  $\mathbf{b}(s)$

**Definizione 5.19 (cerchio osculatore):** Cerchio di centro  $C(s_0) = \alpha(s_0) + \frac{\mathbf{n}(s_0)}{\kappa(s_0)}$  e raggio  $\mathbf{n}(s_0)$

**Proposizione 29 (Curvatura e torsione in un parametro generico)** Per un parametro generico  $t$ , con  $s = h(t)$  e  $t = h^{-1}(s)$

$$\kappa(t) = \frac{\|\dot{\alpha}(t) \wedge \ddot{\alpha}(t)\|}{\|\dot{\alpha}(t)\|^3} \qquad \tau(t) = -\frac{\langle \dot{\alpha} \wedge \ddot{\alpha}, \ddot{\alpha} \rangle}{\|\dot{\alpha} \wedge \ddot{\alpha}\|^2}$$

*Dimostrazione.* P. 14-15  $\square$

### 5.2.1 Teorema fondamentale della teoria locale delle curve

**Teorema 11** (teorema fondamentale della teoria locale delle curve) Abbiamo:

1. Date  $\alpha(s), \beta(s)$  parametrizz. con lunghezza d'arco:

$$\exists \text{ isometria positiva } f \mid \beta = f \circ \alpha \iff \begin{cases} \kappa_\alpha \equiv \kappa_\beta \\ \tau_\alpha \equiv \tau_\beta \end{cases}$$

ovvero  $\kappa$  e  $\tau$  sono **invarianti completi**, ovvero non perdono informazioni e determinano univocamente la curva

2. Date  $\kappa, \tau : J \rightarrow \mathbb{R}$  lisce t.c.  $\kappa(s) > 0 \forall s \implies \exists! \alpha(s) \mid \kappa_\alpha \equiv \kappa$  e  $\tau_\alpha \equiv \tau$   
ovvero  $\kappa$  e  $\tau$  sono **indipendenti** e possono essere **arbitrari**

*Dimostrazione.* Esistenza e unicità

UNICITÀ (1) Il  $\implies$  vedi invarianza della curvatura per isometrie e Invarianza di  $\tau$  per isometrie positive, vogliamo dimostrare il  $\impliedby$ , ovvero date  $\kappa, \tau$  le curve con tali valori sono uniche a meno di isometrie. Siano  $\alpha, \beta$  curve tali che  $\kappa_\alpha \equiv \kappa_\beta := \kappa$  e  $\tau_\alpha \equiv \tau_\beta := \tau$ . Fisso  $s_0 \in J$ , allora l'isometria candidata è

$$f(\mathbf{x}) = A\mathbf{x} + \mathbf{v}$$

con

- $A \in O(3)$  matrice di cambio base da un triedro all'altro in  $s_0$ :

$$(\mathbf{t}_\beta(s_0) \mid \mathbf{n}_\beta(s_0) \mid \mathbf{b}_\beta(s_0)) = A(\mathbf{t}_\alpha(s_0) \mid \mathbf{n}_\alpha(s_0) \mid \mathbf{b}_\alpha(s_0)) \quad \text{con } A \in O(3)$$

ovvero

$$\begin{cases} \mathbf{t}_\beta(s_0) = A\mathbf{t}_\alpha(s_0) \\ \mathbf{n}_\beta(s_0) = A\mathbf{n}_\alpha(s_0) \\ \mathbf{b}_\beta(s_0) = A\mathbf{b}_\alpha(s_0) \end{cases}$$

essendo i due triedri due basi positive ortonormali. A priori  $A$  potrebbe variare con  $t$ .

- $\mathbf{v} = \beta(s_0) - A\alpha(s_0)$

Sia  $\gamma(s) = f(\alpha(s))$ , vogliamo dimostrare che  $\beta \equiv \gamma$

- Per come abbiamo definito  $A$  e  $\mathbf{v}$  abbiamo che vale  $\beta(s_0) = \gamma(s_0)$
- Verifichiamo che vale  $\forall s \in J$ , ovvero che nell'evoluzione nel tempo  $A$  è costante.

Sia

$$F(s) = \frac{1}{2}\|\mathbf{t}_\gamma - \mathbf{t}_\beta\|^2 + \frac{1}{2}\|\mathbf{n}_\gamma - \mathbf{n}_\beta\|^2 + \frac{1}{2}\|\mathbf{b}_\gamma - \mathbf{b}_\beta\|^2$$

È una sorta di distanza tra i due triedri. Abbiamo che  $F(s_0) = 0$ , quindi vogliamo dimostrare che  $F'(s) \equiv 0$  in modo che tale distanza è costante e uguale a zero  $\forall s$ .

$$\begin{aligned} \frac{d}{ds}F(s) &= \frac{1}{2}\frac{d}{ds}\|\mathbf{t}_\gamma - \mathbf{t}_\beta\|^2 + \frac{1}{2}\frac{d}{ds}\|\mathbf{n}_\gamma - \mathbf{n}_\beta\|^2 + \frac{1}{2}\frac{d}{ds}\|\mathbf{b}_\gamma - \mathbf{b}_\beta\|^2 \\ &= \left\langle \frac{d}{ds}(\mathbf{t}_\gamma - \mathbf{t}_\beta), (\mathbf{t}_\gamma - \mathbf{t}_\beta) \right\rangle + \left\langle \frac{d}{ds}(\mathbf{n}_\gamma - \mathbf{n}_\beta), (\mathbf{n}_\gamma - \mathbf{n}_\beta) \right\rangle + \left\langle \frac{d}{ds}(\mathbf{b}_\gamma - \mathbf{b}_\beta), (\mathbf{b}_\gamma - \mathbf{b}_\beta) \right\rangle \\ &\stackrel{\text{sviluppare con formule di Frenet}}{=} [\dots] = 0 \end{aligned}$$

quindi i triedri coincidono  $\forall s$ , in particolare  $\mathbf{t}_\gamma \equiv \mathbf{t}_\beta \iff \dot{\gamma}(s) = \dot{\beta}(s)$ , quindi

$$\begin{cases} \gamma(s_0) = \beta(s_0) \\ \dot{\gamma}(s) = \dot{\beta}(s) \quad \forall s \end{cases} \implies \gamma \equiv \beta$$

ESISTENZA (2) Considero  $\mathbf{X} = (\mathbf{t}, \mathbf{n}, \mathbf{b}) = (x_1, \dots, x_9)$  e dal teorema di Frenet

$$\frac{d\mathbf{X}}{ds} = \begin{pmatrix} \frac{dt}{ds} \\ \frac{d\mathbf{n}}{ds} \\ \frac{d\mathbf{b}}{ds} \end{pmatrix} = \begin{matrix} = A \in M(\mathbb{R}, 9 \times 9) \\ \left( \begin{array}{ccc} \mathbf{0} & \kappa \cdot \text{Id}_3 & \mathbf{0} \\ -\kappa \cdot \text{Id}_3 & \mathbf{0} & -\tau \cdot \text{Id}_3 \\ \mathbf{0} & \tau \cdot \text{Id}_3 & \mathbf{0} \end{array} \right) \end{matrix} \begin{pmatrix} \mathbf{t} \\ \mathbf{n} \\ \mathbf{b} \end{pmatrix} = A \cdot \mathbf{X}$$

L'esistenza di  $\mathbf{X}$  soluzione dal teorema di esistenza in piccolo (di Cauchy) (da cui può derivare anche l'unicità), e la tesi prendendo  $\alpha_i := \int_0^s t_i(\sigma) d\sigma$  per  $i = 1, 2, 3$

□

**Proposizione 30 (forma canonica locale)** Presa  $\gamma(s)$  curva biregolare, sviluppando in serie di Taylor  $\gamma$  per valori piccoli con  $s_0 = 0$

$$\text{FORMA CANONICA LOCALE: } \gamma(s) \approx \begin{cases} \gamma_1(s) = s - \frac{\kappa_0^2}{6} s^3 \\ \gamma_2(s) = \frac{\kappa_0}{2} s^2 + \frac{\kappa'_0}{6} s^3 \\ \gamma_3(s) = -\frac{\kappa_0 \tau_0}{6} s^3 \end{cases}$$

Ovvero

$$\gamma(s) = \mathbf{0} + s \begin{pmatrix} 1 \\ 0 \\ 0 \end{pmatrix} + \frac{s^2}{2} \begin{pmatrix} 0 \\ \kappa_0 \\ 0 \end{pmatrix} + \frac{s^3}{6} \begin{pmatrix} -\kappa_0^2 \\ \kappa'_0 \\ -\kappa_0 \tau_0 \end{pmatrix} + o(s^3)$$

NB: dipende solo da curvatura e torsione

*Dimostrazione.* Sviluppo di Taylor al 3° ordine in  $\gamma(0)$ :

$$\gamma(s) = \gamma(0) + s\dot{\gamma}(0) + \frac{1}{2}s^2\ddot{\gamma}(0) + \frac{1}{6}s^3\dddot{\gamma}(0) + o(s^3)$$

Possiamo scegliere sistema di riferimento in  $\mathbb{R}^3$  che ha origine in  $\gamma(0)$  e gli assi come i versori del triedro di Frenet, ovvero

$$(\mathbf{e}_1, \mathbf{e}_2, \mathbf{e}_3) = (\mathbf{t}(0), \mathbf{n}(0), \mathbf{b}(0))$$

con

$$\dot{\gamma}(s) = \mathbf{t}(s) \quad \ddot{\gamma}(s) = \kappa(s) \mathbf{n}(s)$$

e quindi

$$\begin{aligned} \ddot{\gamma}(s) &= \frac{d}{ds} \dot{\gamma}(s) \\ &= \frac{d}{ds} (\kappa \mathbf{n}) \\ &= \kappa' \mathbf{n} + \kappa \frac{d\mathbf{n}}{ds} \\ &= -\kappa^2(s) \mathbf{t}(s) + \kappa'(s) \mathbf{n}(s) - \kappa(s) \tau(s) \mathbf{b}(s) \quad \text{da } a \frac{d\mathbf{n}}{ds} = -\kappa \mathbf{t} - \tau \mathbf{b} \end{aligned}$$

allora in  $(\mathbf{t}(0), \mathbf{n}(0), \mathbf{b}(0))$ :

$$\begin{cases} \gamma(0) = \mathbf{0} \\ \dot{\gamma}(0) = \mathbf{t}(0) = \mathbf{e}_1 \\ \ddot{\gamma}(0) = \kappa(0) \mathbf{n}(0) = \kappa_0 \mathbf{e}_2 \\ \ddot{\gamma}(0) = -\kappa_0^2 \mathbf{e}_1 + \kappa'_0 \mathbf{e}_2 - \kappa_0 \tau_0 \mathbf{e}_3 \end{cases} \implies \gamma(s) = \mathbf{0} + s \begin{pmatrix} 1 \\ 0 \\ 0 \end{pmatrix} + \frac{s^2}{2} \begin{pmatrix} 0 \\ \kappa_0 \\ 0 \end{pmatrix} + \frac{s^3}{6} \begin{pmatrix} -\kappa_0^2 \\ \kappa'_0 \\ -\kappa_0 \tau_0 \end{pmatrix} + o(s^3)$$

□

### 5.3 Curve geometriche

A meno della param.

**Lemma 10** Se  $\alpha \sim \beta$  e  $t_0 = h(s_0)$  allora  $\dot{\alpha}(s_0)$  e  $\dot{\beta}(t_0)$  sono proporzionali

**Proposizione 31**  $\alpha(t)$  curva biregolare, allora  $\tau(t) \equiv 0 \iff \exists \Sigma$  piano in  $\mathbb{R}^3$  t.c.  $\alpha(J) \subseteq \Sigma$

## 6 Calcolo differenziale in più variabili

**Definizione 6.1 (differenziabilità):**  $f: A \subseteq \mathbb{R}^n \rightarrow \mathbb{R}^m$  ( $A \subseteq \mathbb{R}^n$  aperto) differenziabile in  $x \in A$  se  $\exists L \in \text{Hom}(\mathbb{R}^n, \mathbb{R}^m)$  operatore lineare detta differenziale  $df(x) := L$  tale che

$$\lim_{h \rightarrow 0} \frac{f(x+h) - f(x) - Lh}{|h|} = 0$$

**Definizione 6.2 (classe  $C^k$ ):**  $f: A \subseteq \mathbb{R}^n \rightarrow \mathbb{R}^m$  di classe  $C^{k \geq 1}$  su  $A$  ( $f \in C^k(A, \mathbb{R}^m)$ ) se la funzione differenziale  $df: A \rightarrow \text{Hom}(\mathbb{R}^n, \mathbb{R}^m)$  è di classe  $C^{k-1}$ . Equivalentemente  $f \in C^k(A, \mathbb{R}^m) \iff \frac{\partial f_i}{\partial x_j} \in C^{k-1}(A)$

### 6.1 Teoremi vari

**Teorema 12 (valor medio)** Siano  $A \subseteq \mathbb{R}^n$  aperto convesso,  $f \in C^1(A, \mathbb{R})$ ,  $x_0, x_1 \in A$ , allora esiste  $t \in (0, 1)$  tale che  $f(x_1) - f(x_0) = df((1-t) \cdot x_0 + t \cdot x_1)(x_1 - x_0)$

*Dimostrazione.* Teorema del valor medio in una variabile applicato alla funzione  $u(t) = f((1-t) \cdot x_0 + t \cdot x_1)$   $\square$

**Lemma 11**  $A \mapsto A^{-1}$  è una funzione liscia su  $\text{Gl}(n, \mathbb{R}) := \{A \in \mathcal{M}(n \times n, \mathbb{R}) \mid \det A \neq 0\}$

*Dimostrazione.* Vale  $A^{-1} = \frac{1}{\det A} \text{cof}(A)^T$  ( $\text{cof}(A)_{ij} = \det A_{ij}$ ), con  $\text{cof}$ ,  $\det$  e  $\frac{1}{\det}$   $C^\infty$  in quanto funzioni polinomiali  $\square$

#### 6.1.1 Teorema della funzione implicita

**Teorema 13 (teorema della funzione implicita)** Siano

- $\Omega \subseteq \mathbb{R}^{n+m}$  aperto
- $p = (x_0, y_0) \in \Omega$  con  $\begin{cases} x \in \mathbb{R}^n \\ y \in \mathbb{R}^m \end{cases}$
- $F: \Omega \rightarrow \mathbb{R}^m \in C^k(\Omega, \mathbb{R}^m)$  tale che  $\begin{cases} F(p) = \mathbf{0} \\ \det \frac{\partial F}{\partial y}(p) \neq 0 \end{cases}$

Allora

1. esistono

$$\begin{cases} \overset{\dim n}{V_1} \times \overset{\dim m}{V_2} \subseteq \Omega & \text{intorni aperti di } x_0 \text{ e } y_0 \text{ rispettivamente} \\ f: V_1 \rightarrow V_2 \in C^k(V_1, V_2) \end{cases}$$

tali che

$$F^{-1}(\mathbf{0}) \cap (V_1 \times V_2) = \Gamma_f \quad \text{grafico di } f$$

2. Inoltre per  $x \in V_1$  vale

$$J_f(x) = - \left( \frac{\partial F}{\partial y}(x, f(x)) \right)^{-1} \circ \frac{\partial F}{\partial x}(x, f(x))$$

*Dimostrazione.* Assumo  $k = 1$  e procedo per induzione. Se  $m = 1$  vale  $\frac{\partial F}{\partial y}(p) \neq 0$  ed esiste  $\varepsilon$  per cui  $\frac{\partial F}{\partial y} \geq 0$  (WLOG  $> 0$ ) in tutto  $\overline{B(x_0, \varepsilon)} \times [y_0 - \varepsilon, y_0 + \varepsilon]$ , e in particolare  $y \mapsto F(x, y)$  strettamente crescente. Inoltre

$$F(x_0, y_0 - \varepsilon) < 0 < F(x_0, y_0 + \varepsilon) \xrightarrow{\text{per continuità}} \exists \delta \in (0, \varepsilon] : F(x, y_0 - \varepsilon) < 0 < F(x, y_0 + \varepsilon) \quad \forall x \in B(x_0, \delta)$$

e prendo  $f(x)$  punto (unico) in cui  $F(x, \cdot)$  si annulla in  $\overbrace{(y_0 - \varepsilon, y_0 + \varepsilon)}^{V_2}$  con  $x \in \overbrace{B(x_0, \delta)}^{V_1}$ . Si dimostra poi che  $f$  continua e che vale la formula della derivata.

L'induzione su  $k$  ragionando ricorsivamente sulla formula per  $J_f(x)$ .  $\square$

*Esempio 9 (Applicazione lineare e affine)*

**Teorema 14 (teorema della funzione inversa)** Siano

- $A \subseteq \mathbb{R}^n$  aperto
- $\varphi: A \rightarrow \mathbb{R}^n \in C^\infty(A, \mathbb{R}^n)$  tale che  $d\varphi(x_0)$  sia biiettivo

Allora esiste  $U$  intorno aperto di  $x_0$  tale che

1.  $\varphi(U)$  sia aperto
2.  $\varphi|_U$  sia un diffeomorfismo, ovvero biettiva con inversa  $C^\infty$  ( $\varphi$  è diffeomorfismo locale)

*Dimostrazione.* Sia  $F \in C^\infty(A \times \mathbb{R}^n, \mathbb{R}^n)$   $F(x, y) = y - \varphi(x)$ , siccome  $\frac{\partial F}{\partial x} = -J_\varphi$  per il teorema della funzione implicita ottengo  $\psi: V \rightarrow U'$  tale che

$$\Gamma_\varphi \cap (U' \times V) = F^{-1}(0) \cap (U' \times V) = \Gamma'_\varphi := \{(x, y) \in U' \times V \mid x = \psi(y)\}$$

$\Gamma'_\varphi$  grafico con le coordinate invertite

Basta ora solo restringere  $U'$  a  $U := \varphi^{-1}(V) \cap U'$ , e vale dunque  $\varphi \circ \psi = \text{Id}_V$  e  $\psi \circ \varphi|_U = \text{Id}_U$ .  $\square$

*Osservazione* È un risultato locale, infatti se dico che il differenziale è biiettivo per ogni punto in generale non è vero che la funzione è biettiva (lo è solo in  $\mathbb{R} \rightarrow \mathbb{R}$ )

### 6.1.2 Forme canoniche locali

**Teorema 15 (forma canonica locale - caso iniettivo (inclusione))** Sia

- $\varphi: \overset{\text{aperto}}{U} \subseteq \mathbb{R}^n \rightarrow \mathbb{R}^{m \geq n} \in C^\infty$
- $x_0 \in U: d\varphi(x_0)$  sia iniettivo

Allora esiste  $V \subseteq \mathbb{R}^n$  intorno aperto di  $x_0$  t.c. esiste

$$\text{DIFFEOM. IN ARRIVO} \begin{cases} A, B \subseteq \mathbb{R}^m & \text{aperti t.c. } \varphi(V) \subseteq A \\ h: A \rightarrow B & \text{diffeomorfismo} \end{cases} \quad \text{t.c.} \quad \boxed{h(\varphi(x)) = (x, \mathbf{0}) \in \mathbb{R}^n \times \mathbb{R}^{m-n}} \quad \forall x \in U \cap \varphi^{-1}(A)$$

nelle stesse ipotesi possiamo scegliere  $A, B, V$  t.c. in più valga  $h(\varphi(V)) = \underset{\subseteq \mathbb{R}^n}{V} \times \underset{\subseteq \mathbb{R}^{m-n}}{\{\mathbf{0}\}} \subseteq B \cap (\mathbb{R}^n \times \{0\})$

*Dimostrazione.* Preso  $W$  sottospazio complementare di  $d\varphi(x_0)(\mathbb{R}^n)$  e una sua base  $\{e_1, \dots, e_{k=m-n}\}$ . Sia allora  $F \in C^\infty(U \times \mathbb{R}^k, \mathbb{R}^m)$   $F(x, y) = \varphi(x) + \sum_{i=1}^k y_i e_i$ , vale che

$$\frac{\partial F}{\partial x_i} = \frac{\partial \varphi}{\partial x_i}(x_0) \quad \frac{\partial F}{\partial y_i}(x_0, 0) = e_i \quad \implies \quad \partial F(x_0, 0) \text{ invertibile}$$

Per il teorema della funzione inversa trovo  $B$  intorno aperto di  $(x_0, 0)$  tale che  $F|_B: B \rightarrow A = F(B)$  diffeomorfismo, e sia  $h = (F|_B)^{-1}$ , che è  $h$  cercato.  $\square$

**Teorema 16 (forma canonica locale - caso suriettivo (proiezione ai primi fattori))** Sia

- $f: \overset{\text{aperto}}{U} \subseteq \mathbb{R}^n \rightarrow \mathbb{R}^{m \leq n} \in C^\infty$
- $x_0 \in U: d\varphi(x_0)$  sia suriettivo

Allora esiste  $B \subseteq U \subseteq \mathbb{R}^n$  intorno aperto di  $x_0$  t.c. esiste

$$\text{DIFFEOM. IN PARTENZA} \begin{cases} A \subseteq \mathbb{R}^n & \text{aperto} \\ h: A \rightarrow B & \text{diffeomorfismo} \end{cases} \quad \text{t.c.} \quad \boxed{f(h(x)) = (x_1, \dots, x_m)} \quad \forall x = (x_1, \dots, x_n) \in A$$

che è la proiezione sui primi  $m$  fattori modulo un diffeomorfismo in partenza (cambio coordinate)

*Dimostrazione.* Suppongo  $\det \frac{\partial f}{\partial (x_1, \dots, x_m)} \neq 0$ , prendo  $\Phi \in C^\infty(\Omega, \mathbb{R}^n)$   $\Phi(x) = (f(x), x_{m+1}, \dots, x_n)$ , vale che

$$\frac{\partial \Phi}{\partial x} = \begin{pmatrix} \frac{\partial f}{\partial (x_1, \dots, x_m)} & \frac{\partial f}{\partial (x_{m+1}, \dots, x_n)} \\ I_{n-m} & \end{pmatrix} \implies \partial \frac{\partial \Phi}{\partial x}(x_0) \text{ invertibile}$$

Per il teorema della funzione inversa trovo  $B$  intorno aperto di  $(x_0)$  tale che  $\Phi|_B: B \rightarrow A = \Phi(B)$  diffeomorfismo, e sia  $h = (\Phi|_B)^{-1}$ , che è  $h$  cercato.  $\square$

## 7 Varietà

**Definizione 7.1 (omeomorfismo sull'immagine):**  $f: X \rightarrow Y$  tale che  $g: X \rightarrow f(X)$ ,  $g \equiv f$  sia omeomorfismo

**Definizione 7.2 (parametrizzazione):** Sia  $M \subseteq \mathbb{R}^m$ , allora una sua parametrizzazione  $n$ -dimensionale è un'applicazione

$$\varphi: \overset{\text{aperto}}{U} \subseteq \mathbb{R}^n \rightarrow \mathbb{R}^m \in C^\infty$$

tale che:

Proprietà "di base":

- (i)  $U$  aperto
- (ii)  $\varphi \in C^\infty$
- (iii)  $\varphi(U) \subseteq M$  e aperto di  $M$  (topologia indotta da  $\mathbb{R}^m$ )

Proprietà "caratterizzanti":

- (iv)  $\varphi: U \rightarrow \varphi(U)$  omeomorfismo (omeomorfismo sull'immagine)
- (v)  $d\varphi(x): \mathbb{R}^n \rightarrow \mathbb{R}^m$  iniettivo  $\forall x \in U$

**Definizione 7.3 (Parametrizzazione globale):** se  $\varphi(U) = M$

*Osservazione* Non è detto che esista parametrizzazione globale: ad esempio  $S^1$  non ce l'ha (non sarebbe omeomorfismo)

*Osservazione* Se  $\varphi$  è parametrizzazione  $n$ -dimensionale  $\implies n \leq m$

*Osservazione (Curve)* Per  $n = 1, m = 3$  abbiamo che  $\begin{cases} \text{(iv)} \implies J \mapsto \alpha(J) \text{ biettiva} \implies \alpha \text{ semplice} \\ \text{(v)} \implies d\alpha(x) = \dot{\alpha}(x) \text{ iniettivo } \forall x \in J \iff \alpha \text{ regolare} \end{cases}$   
dove  $J$  componente connessa di  $\Omega \subseteq \mathbb{R}$  e  $\alpha = \varphi|_J$

**Definizione 7.4 (varietà (differenziabile)):**  $M \subseteq \mathbb{R}^m$  varietà  $n$ -dimensionale se  $\forall p \in M$  esiste  $\varphi: U \rightarrow \mathbb{R}^m$  parametrizzazione  $n$ -dimensionale di  $M$  per cui  $p \in \varphi(U)$ . Una superficie è una 2-varietà

**Definizione 7.5 (Varietà topologica):**  $X$  sp. top. t.c. è  $\begin{cases} 2\text{-numerabile} (\exists \text{ base numerabile}) \\ T_2 \end{cases}$  con

$$\forall p \in X: \exists W \subseteq X \text{ intorno aperto di } p \text{ omeomorfo a } \mathbb{R}^n$$

*Osservazione*  $M$  varietà differenziabile  $\implies M$  varietà topologica (infatti  $M \subseteq \mathbb{R}^m$  è 2-num. e  $T_2$ )  
non vale il viceversa (vedi quadrato che è varietà top. ma non diff., poiché ha angoli e quindi non  $C^\infty$ )

**Proposizione 32 (0-varietà)**  $M \subseteq \mathbb{R}^m$  0-varietà  $\iff M$  discreto di  $\mathbb{R}^m$

*Dimostrazione.* .

$\Leftarrow$ ) fisso  $p \in M$ , ho param. 0-dim. di  $M$  in  $p$ :  $\varphi: \mathbb{R}^0 \rightarrow M \mid 0 \rightarrow p$  è  $C^\infty$  ed è omeo sull'immagine.

$\Rightarrow$ ) fisso  $p \in M$  e  $\varphi: \mathbb{R}^0 \rightarrow M$  param.  $p \in \varphi(0) \implies p = \varphi(0)$  e  $\varphi(0)$  deve essere aperto di  $M \implies$  topologia è quella discreta

□

**Proposizione 33 ( $n$ -varietà in  $\mathbb{R}^n$ )**  $M \subseteq \mathbb{R}^n$   $n$ -varietà  $\iff M$  aperto di  $\mathbb{R}^n$

*Dimostrazione.* .

$\Rightarrow$ ) Fisso  $p \in M$  e voglio vedere che  $\exists W \subseteq M$  aperto t.c.  $p \in W \subseteq M$ .

- $\exists \varphi: U \rightarrow \mathbb{R}^m$  param. di  $M$  in  $p$ .  $d\varphi(x): \mathbb{R}^m \rightarrow \mathbb{R}^m$  iniettivo  $\implies$  biiettivo.
- Posso usare teorema della funzione inversa:  $\varphi^{-1}(p) = x_0 \in U \implies \exists A, B \subseteq \mathbb{R}^m$  t.c.  $x_0 \in A \subseteq U$  (aperti) e  $\varphi|_A: A \rightarrow B$  è diffeo.
- Allora  $p \in B = \varphi(A) \subseteq \varphi(U) \subseteq M \implies M$  aperto di  $\mathbb{R}^m$

$\Leftarrow$ ) Usiamo  $\varphi = i : M \hookrightarrow \mathbb{R}^m$  inclusione che è  $C^\infty$  e omeom. su immagine.  $d\varphi(x) = id_{\mathbb{R}^m} \forall x \in M \Rightarrow$  iniettivo.  $\varphi(M) = M \Rightarrow$  aperto e  $\varphi$  è aparam. globale.

□

*Osservazione (prodotto di varietà)*  $M_i \subseteq \mathbb{R}^{m_i}$   $n_i$ -varietà  $\Rightarrow M_1 \times M_2$   $n_1 + n_2$ -varietà (ESERCIZIO 4.9)

**Proposizione 34**  $M \subseteq \mathbb{R}^n$   $n$ -varietà  $\iff \forall A \subseteq M$  aperto in  $M$ ,  $A$  è una  $n$ -varietà

*Dimostrazione.*

$\Rightarrow$ ) Sia  $A \subseteq M$  aperto, fisso  $p \in A$ , cerco parametrizzazione di  $A$  in  $p$ .

- $\exists \varphi : U \rightarrow \mathbb{R}^m$  con  $U \subseteq \mathbb{R}^n$  aperto e  $\varphi(U) \subseteq M$  aperto parametrizzazione
- Considero  $\varphi^{-1}(A) \subseteq U$  aperto in  $U \Rightarrow$

$$\begin{cases} \varphi^{-1}(A) = W \text{ aperto in } \mathbb{R}^n \\ \varphi|_W : W \rightarrow \mathbb{R}^m \in C^\infty \\ \varphi|_W : W \rightarrow \varphi(W) \text{ omeomorfismo} \\ d\varphi|_W(x) = d\varphi(x) = \quad \forall x \in W \end{cases}$$

allora  $\varphi(W) = A \cap \varphi(U)$  aperto in  $M$  (perché non è detto che sia coperto dalla param.)  $\Rightarrow$  aperto in  $A \Rightarrow \varphi|_W$  è param. di  $A$  in  $p$

$\Leftarrow$ )  $M \subseteq \mathbb{R}^m$ ,  $\forall p \in M \exists A_p \subseteq M$  aperto t.c.  $p \in A_p$  e  $A_p$   $n$ -varietà, cioè  $\exists \varphi : U \rightarrow \mathbb{R}^m$ ,  $U \subseteq \mathbb{R}^n$  aperto,  $p \in \varphi(U) \subseteq A \subseteq M \Rightarrow \varphi$  è anche param. per  $M$  in  $p$ .

□

**Proposizione 35 (varietà come proprietà locale)** Se  $\forall p \in M \subseteq \mathbb{R}^m$  esiste  $M_p$  aperto di  $M$  che sia  $n$ -varietà, allora  $M$  è una  $n$ -varietà

*Dimostrazione.* La parametrizzazione di  $M_p$  contenente  $p$  è parametrizzazione anche di  $M$

□

*Osservazione (sottospazi affini come varietà)*  $W \subset \mathbb{R}^m$  sottospazio affine di dimensione  $n$  è una  $n$ -varietà. Infatti sia  $\{w_1, \dots, w_n\}$  una sua base e

$$\varphi : \mathbb{R}^n \rightarrow \mathbb{R}^m \mid (t_1, \dots, t_n) \mapsto x_0 + t_1 w_1 + \dots + t_n w_n$$

una sua parametrizzazione globale e  $d\varphi(t) = J\varphi(t) = (w_1 | \dots | w_n)$  iniettivo  $\iff$  ha  $\det \neq 0 \iff w_1 \dots w_n$  indipendenti. Ok

*Osservazione (grafici come varietà)* Presa  $f \in C^\infty(\Omega \subseteq \mathbb{R}^n, \mathbb{R}^m)$ ,  $\varphi(x) := (x, f(x))$  è parametrizzazione globale di

$$M = \Gamma_f = \{(x, y) \in \Omega \times \mathbb{R}^m \mid f(x) = y\} \subseteq \mathbb{R}^{n+m}$$

$m + n$ -varietà (ESERCIZIO 4.5 pag. 17)

**Proposizione 36** Se  $M \subseteq \mathbb{R}^m$  è una varietà  $n$ -dim e  $h : A \rightarrow B$ ,  $A, B \subseteq \mathbb{R}^m$  aperti è diffeomorfismo t.c.  $M \subseteq A \Rightarrow h(M) \subseteq \mathbb{R}^m$  è una varietà  $n$ -dimensionale

## 7.1 Teoremi sulle Varietà

### 7.1.1 Teorema del Valore regolare

**Definizione 7.6 (punto critico, valore critico, valore regolare):** Sia  $F \in C^\infty(\overset{\text{aperto}}{\Omega} \subseteq \mathbb{R}^n, \mathbb{R}^m)$

PUNTO CRITICO di  $F$   $p \in \Omega$  tale che  $dF(p)$  non è suriettivo. Crit( $F$ ) insieme dei punti critici  
 VALORE CRITICO  $c \in \mathbb{R}^m$  tale che  $F^{-1}(c) \cap \text{Crit}(F) \neq \emptyset$   
 VALORE REGOLARE valore non critico, ovvero se  $\forall p \in F^{-1}(c)$   $dF(p)$  è suriettivo.

*Osservazione* Se  $p \notin F(\Omega)$ , esso è valore regolare. Se invece  $n < m$ , ogni punto è critico e  $p$  valore regolare  $\iff p \in \mathbb{R}^m \setminus F(\Omega)$ .

**Teorema 17 (valore regolare)** Sia  $F \in C^\infty(\overset{\text{aperto}}{\Omega} \subseteq \mathbb{R}^{n+m}, \mathbb{R}^m)$ , se  $q \in \mathbb{R}^m$  è valore regolare e  $M := F^{-1}(q) \neq \emptyset$ , allora  $M$  è una  $n$ -varietà

*Dimostrazione.* • WLOG  $q = 0$  (infatti posso considerare  $g(x) = f(x) - q$  e abbiamo  $dg(x) = df(x)$ )

- Devo verificare che  $\forall p \in M \quad \exists$  intorno aperto di  $p$  in  $M$  che è varietà  $n$ -dimensionale.
- Preso  $p \in M = F^{-1}(0)$ , abbiamo  $dF(p)$  suriettivo  $\implies JF(p) : \mathbb{R}^{n+m} \rightarrow \mathbb{R}^m$  ha rango  $\max = m$ , quindi eventualmente riordinando le coordinate  $(x, y)$  su  $\mathbb{R}^{n+m}$  ho  $\det \frac{\partial F}{\partial y} \neq 0$  (ovvero il minore di destra  $m \times m$  di  $JF(p)$  ha  $\det \neq 0$ )
- Applico il teorema della funzione implicita ottenendo  $f \in C^\infty(V_1, V_2)$  tale che  $\overset{\dim=n}{V_1} \times \overset{\dim=m}{V_2}$  intorno aperto di  $p$  e  $\Gamma_f = F^{-1}(0) \cap (V_1 \times V_2) = M \cap (V_1 \times V_2)$ , che è varietà  $n$ -dimensionale ricordando che i grafici sono varietà.
- Questo vale  $\forall p \in M$ , quindi per la varietà come proprietà locale,  $M$  varietà  $n$ -dimensionale.  $\square$

*Esempio 10 ( $S^n$ )* Possiamo vedere la sfera

$$S^n = \{x \in \mathbb{R}^{n+1} \mid \|x\| = 1 \iff x_1^2 + \dots + x_{n+1}^2 = 1\} \subseteq \mathbb{R}^{n+1}$$

come curva di livello della funzione

$$F : \mathbb{R}^{n+1} \rightarrow \mathbb{R} \mid F(x) = \|x\|^2 \in C^\infty$$

ovvero

$$S^n = F^{-1}(1)$$

Capiamo se 1 è valore regolare:  $dF(x) = (2x_1, \dots, 2x_{n+1}) \implies dF(x)(y) = 2x_1y_1 + \dots + 2x_{n+1}y_{n+1}$  suriettivo  $\iff JF(x) \neq 0 \iff x \neq 0 \implies \text{Crit } F = \{0\}$

### 7.1.2 Teoremi locali

**Teorema 18 (inversa locale di una parametrizzazione)** Sia

- $M \subseteq \mathbb{R}^m$  una  $n$ -varietà
- $\varphi : U \rightarrow M$  una parametrizzazione
- $x_0 \in U, p := \varphi(x_0)$

Allora esistono

$$\begin{cases} A \subseteq \mathbb{R}^m \text{ aperto} \\ f \in C^\infty(\overset{\text{aperto}}{A} \subseteq \mathbb{R}^m, \mathbb{R}^n) \end{cases} \quad \text{tali che} \quad \begin{cases} p \in A \\ \overline{\varphi}^{-1} = f|_{A \cap \varphi(U)} \end{cases}$$

con  $\overline{\varphi} : \varphi^{-1}(A) \rightarrow A \cap \varphi(U)$  la restrizione di  $\varphi$

Ovvero:

Per una parametrizzazione  $\varphi : U \rightarrow M$  per  $p \in \varphi(U)$  di una  $n$ -varietà  $M \subseteq \mathbb{R}^m$ , esiste  $f \in C^\infty(\overset{\text{aperto}}{A} \subseteq \mathbb{R}^m, \mathbb{R}^n)$  estensione liscia locale dell'inversa  $\varphi^{-1}$ , ovvero tale che

$$p \in A \quad A \cap M \subseteq \varphi(U) \quad \varphi^{-1}|_{A \cap M} = f|_{A \cap M}$$

È una forma più forte della forma canonica locale - caso iniettivo (inclusione)

*Dimostrazione.* Sia  $p = \varphi(x_0)$ . Considero la forma canonica locale - caso iniettivo (inclusione), ho  $h : A \rightarrow B$  diffeomorfismo tale che  $h(\varphi(x)) = (x, 0) \forall x \in V \subset U$  intorno aperto di  $x_0$ , restringo  $A$  (e  $B$ ) in modo che  $A \cap M = \varphi(V)$ . Presa  $\pi$  proiezione sulle prime  $n$  coordinate prendo  $f = \pi \circ h$ , che è la funzione cercata.  $\square$

**Teorema 19 (linearizzazione locale)**  $M \subseteq \mathbb{R}^m$   $n$ -varietà,  $p \in M$ , allora esistono  $A, B \subseteq \mathbb{R}^m$  e  $h : A \rightarrow B$  diffeomorfismo tali che  $p \in A$  e  $h(A \cap M) = B \cap (\mathbb{R}^n \times \{0\})$



*Dimostrazione.* Sia  $\varphi: U \rightarrow \mathbb{R}^m$  parametrizzazione con  $p \in \varphi(U)$ . La forma canonica locale - caso suriettivo (proiezione ai primi fattori) ci permette di costruire come nel teorema precedente  $A, B, h, V$  e di restringere  $A$  (e  $B$ ) in modo che  $A \cap M = \varphi(V)$ .  $h$  è la funzione cercata.  $\square$

**Corollario 12 (controimmagine locale di valore regolare)**  $M \subseteq \mathbb{R}^m$   $n$ -varietà,  $p \in M$ , allora esistono  $A \subseteq \mathbb{R}^m$  intorno aperto di  $p$  e  $F \in C^\infty(A, \mathbb{R}^{m-n})$  tale che  $0 \in \mathbb{R}^{m-n}$  valore regolare di  $F$  e  $A \cap M = F^{-1}(0)$

*Dimostrazione.* Usiamo linearizzazione locale: siano  $A, B \subseteq \mathbb{R}^m$  aperti, allora  $\exists h: A \rightarrow B$  con  $h$  diffeo. t.c.:

$$h(A \cap M) = B \cap (\mathbb{R}^n \times \{0\}) \longleftrightarrow h(x) = (h_1(x), \dots, h_n(x), \underbrace{h_{n+1}(x), \dots, h_m(x)}_{=0})$$

Prendo

$$F := (h_{n+1}, \dots, h_m) \in C^\infty(A, \mathbb{R}^{m-n})$$

così

- $F \in C^\infty$
- $F(x) = 0 \Leftrightarrow x \in A$
- 0 valore regolare: infatti  $J_F(x)$  è sottomatrice di  $J_h$  (che ha righe indipendenti essendo  $h$  diffeomorfismo) in quanto formata dalle ultime  $m - n$  righe di  $J_h \Rightarrow$  tutte le righe sono indep.  $\Rightarrow$  ha rango massimo  $\Rightarrow dF(x)$  suriettivo  $\Rightarrow F(x)$  valore regolare  $\forall x \in A$ .

$$\text{Allora abbiamo } \begin{cases} h(F^{-1}(0)) \subseteq B \cap \overbrace{(\mathbb{R}^n \times \{0\})}^{=h(A \cap M)} \\ A \cap M \subseteq F^{-1}(0) \end{cases} \Rightarrow A \cap M = F^{-1}(0) \quad \square$$

*Osservazione*

$$\begin{array}{ccc} \exists F: \Omega \subseteq \mathbb{R}^m \rightarrow \mathbb{R}^n, & \exists y \in F(\Omega) \text{ regolare} & \xrightarrow{\text{valore regolare}} F^{-1}(y) \text{ è } m-n\text{-varietà} \\ & \xleftarrow{\text{locale controimmagine locale di valore regolare}} & \end{array}$$

**Teorema 20 (locale varietà di applicazione)** Sia  $\varphi \in C^\infty(\overset{\text{aperto}}{U} \subseteq \mathbb{R}^n, \mathbb{R}^m)$  e  $x_0 \in U$  tale che  $d\varphi(x_0)$  iniettiva. Allora  $\exists V \subseteq U$  intorno aperto di  $x_0$  tale che  $\varphi(V)$  è una  $n$ -varietà di parametrizzazione  $\varphi|_V$

*Dimostrazione.* Siano  $A, B, h, V$  dalla forma canonica locale - caso iniettivo (inclusione), e  $M := \varphi(V)$ . Mostro che  $\varphi|_V$  parametrizzazione di  $M$ :  $d\varphi(x)$  iniettivo  $\forall x \in V$ ,  $M$  aperto, e siccome  $\pi \circ h \circ \varphi = \text{Id}_V$ ,  $\varphi$  iniettiva (e dunque biunivoca su  $M$ ) di inversa continua  $\varphi^{-1} = \pi \circ h|_M$ .  $\square$

## Cambiamento di coordinate

**Proposizione 37 (cambiamento di coordinate)**  $M \subseteq \mathbb{R}^m$  varietà con due parametrizzazioni  $\varphi: U \rightarrow M$  e  $\psi: V \rightarrow M$  tali che  $W := \varphi(U) \cap \psi(V) \neq \emptyset$ , allora

$$h := \varphi^{-1}|_W \circ \psi|_{\psi^{-1}(W)}: \psi^{-1}(W) \rightarrow \varphi^{-1}(W)$$

è un diffeomorfismo definito *cambiamento di coordinate*.

*Dimostrazione.* Sia  $p = \psi(x_0)$ , prendo per il teorema dell'inversa locale di una parametrizzazione  $f \in C^\infty(A, \mathbb{R}^n)$ , e per  $x \in V$  sufficientemente vicino a  $x_0$  vale  $\psi(x) \in A \cap M$  e quindi  $h = \varphi^{-1}(\psi(x)) = f(\psi(x))$ , dunque  $h$  liscia (siccome  $x_0$  arbitrario). Analogamente per  $h^{-1}$ , e dunque  $h$  diffeomorfismo.  $\square$

**Proposizione 38 (buona definizione della dimensione di una varietà)**  $M \subseteq \mathbb{R}^m$  varietà con due parametrizzazioni  $\varphi: U \rightarrow M$  e  $\psi: V \rightarrow M$  di dimensioni rispettivamente  $n$  e  $k$ , allora  $n = k$ .

*Dimostrazione.* Il cambiamento di coordinate  $h = \psi^{-1} \circ \varphi$  tra  $\varphi$  e  $\psi$  è un diffeomorfismo, perciò  $dh$  è isomorfismo tra  $\mathbb{R}^n$  e  $\mathbb{R}^k$ .  $\square$

**Definizione 7.7 (codimensione):**  $m - n$  codimensione di  $M \subseteq \mathbb{R}^m$   $n$ -varietà

**Teorema 21 (caratterizzazione delle varietà)** Preso  $M \subseteq \mathbb{R}^m$  sono equivalenti

1.  $M$   $n$ -varietà
2.  $M$  localmente diffeomorfo a  $\mathbb{R}^n \hookrightarrow \mathbb{R}^m$ , ovvero localmente equivalente a  $\mathbb{R}^n \times \{0\} \subseteq \mathbb{R}^m$  a meno di diffeomorfismi di  $\mathbb{R}^m$
3.  $M$  localmente controimmagine di un valore regolare tramite una applicazione liscia  $F : \mathbb{R}^m \rightarrow \mathbb{R}^{m-n}$
4.  $M$  localmente grafico di una funzione liscia di  $n$  delle coordinate di  $\mathbb{R}^m$

*Dimostrazione.* Varie implicazioni

(i) $\Rightarrow$ (ii) Teorema di linearizzazione locale

(ii) $\Rightarrow$ (i) Preso  $h \in C^\infty(A, B)$  diffeomorfismo,  $M \cap A = h^{-1}(B \cap (\mathbb{R}^n \times \{0\}))$  è varietà. Gli  $n$ -sottospazi vettoriali sono  $n$ -varietà + le immagini tramite diffeo di  $n$ -varietà sono  $n$ -varietà.

(i) $\Leftrightarrow$ (iii)  $\Rightarrow$  Varietà come controimmagine locale di valore regolare,  $\Leftarrow$  Teorema del valore regolare

(iii) $\Rightarrow$ (iv) Nella dimostrazione del teorema del valore regolare

(iv) $\Leftarrow$ (i) ovvio (localmente varietà  $\Rightarrow$  varietà?)

□

**Lemma 12** Siano  $\begin{cases} \alpha : J \rightarrow \mathbb{R}^3 \\ \beta : L \rightarrow \mathbb{R}^3 \end{cases}$  curve regolari semplici t.c.  $\alpha(J) = \beta(L)$ . Sia  $h : L \rightarrow J$ ,  $h(s) := \bar{\alpha}^{-1} \circ \beta(s)$ , con  $\bar{\alpha} : J \rightarrow \alpha(J) = \beta(L)$ .  
 $\Rightarrow \dot{\alpha}(t)$  e  $\dot{\beta}(h^{-1}(t))$  sono proporzionali, **indipendentemente dal fatto che  $h$  diffeo.**

*Dimostrazione.* Se  $h$  diffeo facile perché:  $\alpha(t) = \beta(h^{-1}(t)) \Rightarrow \dot{\alpha}(t) = \dot{\beta}(h^{-1}(t)) \underbrace{(h^{-1})'(t)}_{\neq 0}$ .

Altrimenti bordello p. 37

□

## 7.2 Carte e Atlanti

**Definizione 7.8 (carta):**  $\varphi^{-1} : \varphi(U) \rightarrow \mathbb{R}^n$ , con  $\varphi : U \rightarrow M$  parametrizzazione

**Definizione 7.9 (atlante):**  $\mathcal{U} := \{\varphi_\alpha : U_\alpha \rightarrow M\}_{\alpha \in I}$  famiglia di parametrizzazioni (carte) di  $M$  varietà tale che  $\bigcup_\alpha \varphi(U_\alpha) = M$ .  
 Quindi  $\{\varphi_\alpha(U_\alpha)\}_{\alpha \in I}$  è un ricoprimento **aperto**

## 7.3 Funzioni su e applicazioni fra varietà

**Definizione 7.10 (funzione liscia su varietà):**  $M \subseteq \mathbb{R}^m$   $n$ -varietà,  $f : M \rightarrow \mathbb{R}$  liscia su  $M$  se  $\forall \varphi : U \rightarrow M$  parametrizzazione vale  $f \circ \varphi \in C^\infty(U, \mathbb{R})$ .

Per le funzioni vettoriali,  $f : M \rightarrow \mathbb{R}^q$  è liscia se sono lisce tutte le componenti  $f_i$

*Osservazione (Buona definizione)* Se  $f$  è  $C^\infty$  per una parametrizzazione, lo è anche per tutte le altre che hanno intersezioni delle immagini non nulla. Infatti se ho due param.  $\begin{cases} \varphi : U \rightarrow M \\ \psi : V \rightarrow M \end{cases}$  con  $W = \varphi(U) \cap \psi(V) \neq \emptyset$ ,  
 $f : M \rightarrow \mathbb{R}$  t.c.  $f \circ \varphi : U \rightarrow \mathbb{R} \in C^\infty$ , basta prendere  $f \circ \psi|_{\psi^{-1}(W)} = \underbrace{f \circ \varphi}_{C^\infty(U)} \circ \underbrace{\varphi^{-1} \circ \psi}_{C^\infty} : \psi^{-1}(W) \rightarrow \mathbb{R}$

*Osservazione* Per gli aperti di  $\mathbb{R}^n$  le due definizioni di funzione liscia coincidono: ovvero sappiamo che un aperto  $U \subseteq \mathbb{R}^n$  è una  $n$ -varietà, sia  $f : U \rightarrow \mathbb{R}$ , allora  $f \in C^\infty(U) \iff f \in C^\infty$  su  $U$  come varietà.

Dim: usare l'id. come param. globale: id:  $U \rightarrow U$  è param. globale e  $f \in C^\infty$  su  $U$  come varietà  $\iff f \circ \text{Id}_U = f \in C^\infty(U)$

**Teorema 22 (locale lisciezza di funzione liscia su varietà)**  $M \subseteq \mathbb{R}^m$   $n$ -varietà,  $f : M \rightarrow \mathbb{R}$  è liscia su  $M \iff \forall p \in M$  esistono  $A \subseteq \mathbb{R}^m$  intorno aperto di  $p$  e  $\tilde{f} \in C^\infty(A)$  tale che  $\tilde{f}(x) = f(x) \forall x \in M \cap A$

*Dimostrazione.* Doppia implicazione

$\Rightarrow$  Sia  $p \in M$  e  $\varphi$  parametrizzazione contenente  $p$ , per il teorema dell'inversa locale di una parametrizzazione prendo  $A \subseteq \mathbb{R}^m$  intorno aperto di  $p$  e  $g \in C^\infty(A, \mathbb{R}^n)$  t.c.  $\varphi^{-1}|_{A \cap M} = g|_{A \cap M}$ . Per  $x \in A$  sufficientemente vicino a  $p$  vale  $g(x) \in U$  e pongo

$$\tilde{f} = f \circ \varphi \circ g \quad \Rightarrow \quad \tilde{f} \text{ liscia è la funzione cercata}$$

$\Leftarrow$   $\forall \varphi$  parametrizzazione  $f \circ \varphi = \tilde{f} \circ \varphi$  è liscia

□

*Osservazione* Per l'inversa locale di una parametrizzazione, una carta è una funzione liscia su varietà per la locale liscia di funzione liscia su varietà dal teorema dell'inversa locale di una parametrizzazione.

**Definizione 7.11 (applicazione tra varietà):**  $f: M \rightarrow N$  con  $M \subseteq \mathbb{R}^m$  e  $N \subseteq \mathbb{R}^q$  varietà, con  $f = (f_1, \dots, f_q)$ . Si dice  $C^\infty$  se  $\forall i \quad f_i: M \rightarrow \mathbb{R}$  è  $C^\infty$ . Essa si dice diffeomorfismo se liscia, biunivoca e l'inversa è liscia, ed  $M, N$  sono dette diffeomorfe

**Teorema 23 (composizione di applicazioni lisce fra varietà)**  $X, Y, Z$  varietà,  $f: X \rightarrow Y$  e  $g: Y \rightarrow Z$  lisce, allora  $g \circ f$  liscia

*Dimostrazione.* Studio per  $Z \subset \mathbb{R}$  (altrimenti per le varie componenti  $g_i$ ) prendo l'estensione  $\tilde{g} \in C^\infty(A)$  contenente  $y := f(x) \in A$ , e presa  $\varphi: U \rightarrow X$  parametrizzazione t.c.  $\varphi(U) \subset f^{-1}(A)$ , allora

$$(g \circ f) \circ \varphi = \tilde{g} \circ (f \circ \varphi) \Rightarrow \text{liscia in quanto composizione di funzioni lisce}$$

□

*Osservazione (Morfismi tra varietà)* Nella categoria delle varietà, chiamata  $\text{Man}^\infty$ , i morfismi tra esse (che quindi mantengono la struttura di varietà) sono le funzioni  $C^\infty$

## 7.4 Spazi tangenti

Idea: presa  $M \subseteq \mathbb{R}^m$  una  $n$ -varietà con  $\varphi$  param., allora  $d\varphi(x_0): \mathbb{R}^n \rightarrow \mathbb{R}^m$  è iniettivo e prendo  $\text{Im}(d\varphi(x_0)) \subseteq \mathbb{R}^m$  che quindi è un sottospazio  $n$ -dimensionale (essendo il differenziale un'applicazione lineare iniettiva)

**Definizione 7.12 (Curva tracciata):**  $M \subseteq \mathbb{R}^m$  una  $n$ -varietà, una curva (tracciata) su  $M$  è  $\alpha: J \rightarrow \mathbb{R}^m$  curva param. regolare t.c.  $\alpha(J) \subseteq M$

**Definizione 7.13 (vettore tangente):**  $M \subseteq \mathbb{R}^m$  varietà contenente  $p$ , presa  $\alpha: I \rightarrow \mathbb{R}^m$  ( $I$  intorno aperto di 0) curva parametrizzata tracciata su  $M$  ( $\alpha(I) \subseteq M$ ) tale che  $\alpha(0) = p$ , si chiama vettore tangente a  $M$  in  $p$  il vettore  $v := \alpha'(0) \in \mathbb{R}^m$ .

**Definizione 7.14 (spazio tangente):** è  $T_p M = \{\text{vettori tangenti}\} \cup \{0\}$ , insieme dei vettori tangenti ad  $M$  in  $p$

**Proposizione 39 ( $T_p M$  sottospazio)**  $M \subseteq \mathbb{R}^m$   $n$ -varietà contenente  $p$ , allora  $T_p M$  sottospazio vettoriale di  $\mathbb{R}^m$  di  $\dim T_p M = n = \dim M$ . Inoltre, se  $\varphi: U \rightarrow M$  parametrizzazione con  $\varphi(x_0) = p$ , allora  $T_p M = d\varphi(x_0)(\mathbb{R}^n) = \text{Im}(d\varphi(x_0))$

*Dimostrazione.* (OK) Dimostro  $T_p M = d\varphi(x_0)(\mathbb{R}^n)$  per doppia inclusione

$\supseteq$  Dato  $w \in \mathbb{R}^n$  sia  $\alpha: (-\varepsilon, \varepsilon) \rightarrow M$ ,  $\alpha(t) = \varphi(x_0 + tw)$  con  $x_0 + tw \in U$ , allora  $\alpha'(0) = d\varphi(x_0)w \in T_p M$

$\subseteq$  Presa  $\alpha$  curva su  $M$  tale che  $\alpha(0) = p$  e  $\alpha'(0) = v$  e  $\beta = \varphi^{-1} \circ \alpha$  tale che  $\alpha = \varphi \circ \beta$ , quindi

$$v = \dot{\alpha}(0) = (\varphi \circ \dot{\beta})(0) = d\varphi(\beta(0)) \cdot \dot{\beta}(0) = d\varphi(x_0) \cdot w \in d\varphi(x_0)(\mathbb{R}^n)$$

$$\text{con } \begin{cases} w = \dot{\beta}(0) \in \mathbb{R}^n \\ \beta(0) = \varphi^{-1}(\alpha(0)) = \varphi^{-1}(p) = x_0 \end{cases}$$

Quindi  $T_p M$  sottospazio vettoriale di  $\mathbb{R}^m$ . Siccome  $d\varphi(x_0)$  iniettivo,  $\dim T_p M = n$ .

□

*Osservazione*  $M \subseteq \mathbb{R}^m$  una  $n$ -varietà,  $A, B \subseteq \mathbb{R}^m$  aperti con  $M \subseteq A$ ,  $h: A \rightarrow B$  diffeo. allora

$$dh(p)(T_p M) = T_{h(p)}h(M)$$

**Teorema 24** Presi  $\Omega \subseteq \mathbb{R}^m$ ,  $F \in C^\infty(\Omega, \mathbb{R}^{m-n})$ ,  $q \in \mathbb{R}^{m-n}$  valore regolare per  $F$ ,  $M := F^{-1}(q)$ , allora

$$\forall p \in M : T_p M = \ker dF(p)$$

*Dimostrazione.* (OK)  $dF(p) : \mathbb{R}^m \rightarrow \mathbb{R}^{m-n}$  suriettivo (per ip.)  $\implies \ker dF(p)$  è sottosp. vett. di  $\mathbb{R}^m$  di  $\dim=n$ . Dato che lo è anche  $T_p M$ , basta verificare che uno è incluso nell'altro:  $T_p M \subseteq \ker dF(p)$ . Per una curva  $\alpha$  su  $M$  tale che  $\alpha(0) = p$  e  $\alpha'(0) = v \in T_p M$  vale  $F \circ \alpha : J \rightarrow \mathbb{R}^{m-n} \mid F(\alpha(t)) \equiv q \quad \forall t \in J$ , da cui differenziando

$$\frac{d}{dt} F(\alpha(t)) = dF(\alpha(t)) \dot{\alpha}(t) \equiv 0 \quad \forall t \in J$$

in particolare

$$dF(\alpha(0)) \dot{\alpha}(0) = dF(p) v = 0 \implies v \in \ker dF(p)$$

□

*Osservazione* Per capire questo teo., pensare a funzione  $F : \mathbb{R}^2 \rightarrow \mathbb{R}$  con curva di livello  $F = 0$ . Prendiamo  $p \in \mathbb{R}^2$  sulla curva di livello, vediamo che  $dF(p)$  è il gradiente  $\nabla F(p) = (\frac{\partial F}{\partial x_1}, \frac{\partial F}{\partial x_2})$ . Come sappiamo da anal. 2 il vettore gradiente è sempre  $\perp$  alla curva di livello, e infatti  $\ker dF(p)$  sono tutti i vettori  $v \mid dF(p) \cdot v = 0 \iff \langle \nabla F(p), v \rangle = 0$ , ovvero tutti i vettori  $\perp$  al gradiente, che sono quindi **tangenti** alla curva di livello.

#### 7.4.1 Differenziale

**Definizione 7.15 (differenziale di applicazioni tra varietà):**  $M \subseteq \mathbb{R}^m$ ,  $N \subseteq \mathbb{R}^s$  varietà,  $p \in M$  e  $f \in C^\infty(M, N)$ , il differenziale di  $f$  in  $p$  è

$$df_p : T_p M \rightarrow T_{f(p)} N \quad df_p(v) := \left[ \frac{d}{dt} f(\alpha(t)) \right]_{t=0} \quad \text{con } \alpha : (-\varepsilon, \varepsilon) \rightarrow M \text{ tale che } \begin{cases} \alpha(0) = p \\ \dot{\alpha}(0) = v \end{cases}$$

Ovvero

$$df_p : T_p M = \mathbb{R}^m \rightarrow T_{f(p)} N = \mathbb{R}^s \\ v \mapsto J_f \cdot v$$

dove con la Jacobiana di  $f$   $J_f$  è intesa come  $f : \mathbb{R}^m \rightarrow \mathbb{R}^s$

*Osservazione* Verifichiamo che il differenziale ha le seguenti caratteristiche (che vogliamo)

1.  $df_p(v) \in T_{f(p)} N$ , infatti  $\frac{d}{dt}(f \circ \alpha(t))|_{t=0} = (f \circ \dot{\alpha})(0) \in T_p N$  poiché  $f(\alpha(0)) = f(p)$  e  $f \circ \alpha$  è curva tracciata su  $N$
2.  $df_p(v)$  non dipende dalla scelta di  $\alpha$  (v. prossimo teo.)
3.  $df_p(v)$  sia lineare (v. prossimo teo.)

**Teorema 25 (buona definizione del differenziale)**  $df_p$  lineare e ben definito indipendentemente dalla scelta di  $\alpha$ . Se  $\varphi$  parametrizzazione di  $M$  con  $\varphi(x_0) = p$ , allora

$$df_p = d(f \circ \varphi)(x_0) \cdot \overline{d\varphi(x_0)}^{-1}$$

*Dimostrazione.* (OK) Per una qualsiasi curva  $\alpha$  su  $M$  tale che  $\alpha(0) = p$  e  $\alpha'(0) = v \in T_p M$  prendo

$$\beta : J \rightarrow \mathbb{R}^n \mid \beta = \varphi^{-1} \circ \alpha \quad \text{curva in } U \subseteq \mathbb{R}^n \implies \alpha = \varphi \circ \beta$$

per cui

$$df_p(v) = \left[ \frac{d}{dt}(f \circ \alpha) \right]_{t=0} = \left[ \frac{d}{dt}(f \circ \varphi \circ \beta) \right]_{t=0} = d(f \circ \varphi) \left( \overset{=x_0}{\beta(0)} \right) \cdot \dot{\beta}(0) = \star$$

Abbiamo che

$$\alpha = \varphi \circ \beta \implies \dot{\alpha}(0) = d\varphi(x_0) \dot{\beta}(0) \implies \dot{\beta}(0) = \overline{d\varphi(x_0)}^{-1} \dot{\alpha}(0)$$

dove  $\overline{d\varphi(x_0)} : \mathbb{R}^n \rightarrow \text{Im}(d\varphi(x_0)) = T_p M$  che è iniettivo e suriettivo quindi invertibile, quindi

$$\star = df_p(v) = d(f \circ \varphi)(x_0) \cdot \overbrace{\overline{d\varphi(x_0)}^{-1}}^{\text{indipendente da } \alpha} v$$

Riassumendo

$$T_p M \xrightarrow{\overline{d\varphi(x_0)}^{-1}} \mathbb{R}^n \xrightarrow{d(f \circ \varphi)(x_0)} \mathbb{R}^k$$

□

**Proposizione 40 (differenziale della composizione)**  $M \xrightarrow{f} M' \xrightarrow{g} M''$  varietà,  $\forall p \in M$  vale  $d(g \circ f)_p = dg_{f(p)} \circ df_p$

*Dimostrazione.*  $\alpha$  curva su  $M$  tale che  $\alpha(0) = p$  e  $\alpha'(0) = v \in T_p M$ , allora per  $\beta := f \circ \alpha$  vale  $\beta(0) = p$  e  $\beta'(0) = df_p(v)$ , da cui

$$dg_{f(p)}(df_p(v)) = \left[ \frac{d}{dt} g(\beta(t)) \right]_{t=0} = \left[ \frac{d}{dt} (g \circ f)(\alpha(t)) \right]_{t=0} = d(g \circ f)_p(v)$$

□

**Definizione 7.16 (Diffeomorfismo tra varietà):**  $Z, T$  varietà, è  $\psi: Z \rightarrow T \in C^\infty$ , invertibile con inversa  $C^\infty$

**Teorema 26 (funzione inversa per applicazioni tra varietà)**  $f: M \rightarrow M'$  applicazione liscia tra varietà, e  $p \in M$  tale che  $df_p$  isomorfismo ( $\dim M = \dim M'$ ), allora  $\exists A$  intorno aperto di  $p$  tale che  $f(A)$  aperto in  $M'$  e  $f|_A$  diffeomorfismo tra  $A$  e  $f(A)$ .

*Dimostrazione.* (OK) Abbiamo:

$$\begin{array}{ccc} M & \xrightarrow{f} & M' \\ \varphi \uparrow & \bar{f} & \uparrow \psi \\ U & \xrightarrow{\quad} & V \end{array}$$

Prese le parametrizzazioni  $\psi: V \rightarrow M'$  con  $f(p) \in \psi(V)$ , e  $\varphi: U \rightarrow M$  con  $p \in \varphi(U) \subseteq f^{-1}(\psi(V))$ , siano

$$\begin{cases} \bar{f} := \psi^{-1} \circ f \circ \varphi: U \rightarrow V \\ \varphi(x_0) = p \\ \psi(y_0) = f(p) \end{cases}$$

. In particolare

$$\begin{aligned} d\bar{f}_{x_0} &= d(\psi^{-1} \circ f \circ \varphi) \\ &= d\psi^{-1}(f(\varphi(x_0))) \cdot df(\varphi(x_0)) \cdot d\varphi(x_0) \\ &= (d\psi_{y_0})^{-1} \cdot df_p \cdot d\varphi_{x_0} \implies d\bar{f}_{x_0}: \mathbb{R}^n \rightarrow \mathbb{R}^n \text{ isomorfismo} \end{aligned}$$

dato che tutti e tre i differenziali sono invertibili (se restringo tutti i vari insiemi alle immagini). Applico allora il teorema della funzione inversa a  $\bar{f}$  ottenendo  $U' \subseteq U$  t.c.  $\bar{f}(U')$  aperto e  $\bar{f}|_{U'}$  diffeomorfismo, preso  $A := \varphi(U')$  vale  $f|_A = \psi \circ \bar{f}|_{U'} \circ \varphi^{-1}|_A$  composizione di diffeomorfismi. □

## 7.5 Omeomorfismi e Diffeomorfismi locali

**Definizione 7.17 (omeomorfismo locale):**  $X, Y$  spazi topologici,  $f: X \rightarrow Y$  è omeomorfismo locale se

- continua
- $\forall x \in X \exists U$  intorno aperto di  $x$  tale che  $f(U)$  aperto in  $Y$
- $f|_U$  omeomorfismo di  $U$  su  $f(U)$

**Definizione 7.18 (diffeomorfismo locale):**  $f: M \rightarrow N$  applicazione tra varietà diffeomorfismo locale se

- Liscia:  $\in C^\infty$
- $\forall p \in M \exists U$  intorno aperto di  $x$  tale che  $f(U)$  aperto in  $N$
- $f|_U$  diffeomorfismo di  $U$  su  $f(U)$

*Osservazione* Abbiamo

1.  $f$  diffeo locale  $M \rightarrow N \implies \dim M = \dim N$
2.  $f$  diffeo locale iniettivo  $\implies f$  diffeo. (globale)
3.  $f$  diffeo locale  $\implies f$  omeo. locale  $\implies f$  aperta

**Proposizione 41**  $f: M \rightarrow N \in C^\infty$  è diffeomorfismo locale  $\iff \forall p \in M, df_p: T_p M \rightarrow T_{f(p)} N$  è isomorfismo (invertibile)

*Dimostrazione.* (OK)

$\implies \quad \forall p \in M \quad \exists M' \subseteq M$  aperto,  $p \in M'$  t.c.  $\bar{f}: M' \rightarrow f(M') \subseteq N$  aperto.  $\exists g: f(M') \rightarrow M' \in C^\infty$  inversa di  $\bar{f}$  e

$$g \circ \bar{f} = \text{Id}_{M'} \implies dg(\bar{f}(p)) \circ df(p) = \text{Id}_{T_p M} \implies df(p) \text{ iniettivo}$$

$\Leftarrow$  Teo. della funzione inversa per varietà

□

**Proposizione 42** Un diffeomorfismo locale iniettivo è un diffeomorfismo sull'immagine

**Proposizione 43** Se  $M$   $n$ -varietà e  $\varphi: U \subseteq \mathbb{R}^n \rightarrow M$  liscia e iniettiva con  $d\varphi_x$  iniettivo  $\forall x \in U$ , allora  $\varphi$  parametrizzazione.

**Proposizione 44** Se  $M$   $n$ -varietà,  $\varphi: U \subseteq \mathbb{R}^n \rightarrow M$  liscia e  $x_0 \in U$  tale che  $d\varphi_{x_0}$  iniettivo, allora  $\exists U'$  intorno aperto di  $x_0$  tale che  $\varphi|_{U'}$  parametrizzazione.

## 7.6 Orientazione di varietà

Considerati  $\varphi: U \rightarrow M$  parametrizzazione di  $M$   $n$ -varietà,  $(u_1, \dots, u_n)$  coordinate di  $U \subseteq \mathbb{R}^n$  e definita  $\forall x \in U$   $\mathcal{B}_{\varphi, x} := \left\{ \frac{\partial \varphi}{\partial u_1}(x), \dots, \frac{\partial \varphi}{\partial u_n}(x) \right\}$  base di  $T_{\varphi(x)} M$ , sia  $\omega_{\varphi, x}$  la classe di equivalenza dell'orientazione di  $\mathcal{B}_{\varphi, x}$

**Definizione 7.19 (orientazione di una varietà):** Funzione  $p \in M \mapsto \eta_p$ , con  $\eta_p$  una orientazione di  $T_p M$  che è localmente della forma  $\omega_\varphi$ , ossia esiste un atlante  $\mathcal{U}$  tale che  $\forall \varphi: U \rightarrow M \in \mathcal{U}, \forall x \in U$  vale  $\omega_{\varphi, x} = \eta_{\varphi(x)}$   
 $\varphi: U \rightarrow M, \psi: V \rightarrow M$  definiscono la stessa orientazione se  $\varphi(U) \cap \psi(V) = \emptyset$  o se  $\omega_{\varphi, x} = \omega_{\psi, h(x)}$   $\forall x \in \varphi^{-1}(\varphi(U) \cap \psi(V))$  con

$$h = \psi^{-1} \circ \varphi \quad \text{cambiamento di coordinate}$$

$$\begin{array}{ccc} U & \xrightarrow{\varphi} & M \xleftarrow{\psi} V \\ & \searrow h & \nearrow \end{array}$$

**Proposizione 45**  $\varphi: U \rightarrow M, \psi: V \rightarrow M$  tali che  $\varphi(U) \cap \psi(V) \neq \emptyset$  definiscono la stessa orientazione  $\iff \det J_h(x) > 0 \quad \forall x \in U$

*Dimostrazione.* Basta dimostrare che  $J_h(x)$  matrice di cambiamento di base tra  $\mathcal{B}_{\varphi, x} = \{\partial \varphi / \partial u_i\}$  e  $\mathcal{B}_{\psi, h(x)} = \{\partial \psi / \partial v_i\}$ . Essendo  $\varphi = \psi \circ h$  vale  $J_\varphi(x) = J_\psi(h(x)) \cdot J_h(x)$ , e quindi

$$\frac{\partial \varphi}{\partial u_i}(x) = \sum_{k=1}^n \frac{\partial \psi}{\partial v_k}(h(x)) \frac{\partial h_k}{\partial u_i}(x) = \sum_{k=1}^n \frac{\partial h_k}{\partial u_i}(x) \frac{\partial \psi}{\partial v_k}(h(x)) = J_h(x) \cdot \frac{\partial \psi}{\partial v_k}(h(x))$$

□

**Definizione 7.20 (orientazione di un atlante):**  $\mathcal{U} = \{\varphi_\alpha: U_\alpha \rightarrow S\}_{\alpha \in I}$  atlante orientato se  $\forall \varphi_1, \varphi_2 \in \mathcal{U}$  definiscono la stessa orientazione. Ovvero  $\forall \alpha, \beta \in I \mid \underbrace{\varphi_\alpha(U_\alpha) \cap \varphi_\beta(U_\beta)}_{:= > w_{\alpha, \beta}} \neq \emptyset$  con

$$h_{\alpha, \beta} := \varphi_\beta^{-1} \circ \varphi_\alpha: \varphi_\alpha^{-1}(W_{\alpha, \beta}) \rightarrow \varphi_\beta^{-1}(W_{\alpha, \beta})$$

$$\text{hanno } \det\{Jh_{\alpha, \beta}(x)\} > 0 \quad \forall x \in \varphi_\alpha^{-1}(W_{\alpha, \beta})$$

**Definizione 7.21 (orientabilità):**  $M$  orientabile se esiste una orientazione per  $M$ , ovvero se esiste un atlante di  $M$  orientato

**Proposizione 46**  $M$  orientabile e connessa  $\implies$  esistono esattamente due orientazioni su  $M$

**Teorema 27 (caratterizzazione delle superfici orientabili)**  $S$  superficie è orientabile  $\iff$  esiste  $N: S \rightarrow \mathbb{R}^3$  campo vettoriale unitario normale

*Dimostrazione.* Doppia implicazione

$\Rightarrow$  Preso  $\mathcal{U}$  atlante orientato definisco per  $\varphi \in \mathcal{U}$   $N(p) := \frac{\varphi_u \wedge \varphi_v}{\|\varphi_u \wedge \varphi_v\|} (\varphi^{-1}(p))$ , ben definito

$\Leftarrow$  Sia  $N : S \rightarrow \mathbb{R}^3$ , vogliamo costruire un atlante orientato  $\overline{\mathcal{U}}$  a partire da un atlante qualsiasi  $\mathcal{U}$ . Considero  $\varphi : U \rightarrow S \in \mathcal{U}$ , tale che  $\varphi(u_0, v_0) = p \in S$ , che induce un'orientazione con  $N' = \frac{\varphi_u \wedge \varphi_v}{\|\varphi_u \wedge \varphi_v\|}$ . Deve essere per forza  $N'(u_0, v_0) = \pm N((u_0, v_0))$ , che implica  $N'(u, v) = \pm N(u, v) \quad \forall (u, v) \in U$

- Se  $N'(u, v) = +N(u, v) \Rightarrow$  metto  $\varphi$  in  $\overline{\mathcal{U}}$
- Se  $N'(u, v) = -N(u, v) \Rightarrow$  metto  $\psi(v, u) := \varphi(u, v)$  in  $\overline{\mathcal{U}}$  (infatti  $\{\psi_v, \psi_u\}$  ha orientazione opposta a  $\{\varphi_u, \varphi_v\}$ )

Faccio questo  $\forall p \in S$  e ottengo atlante orientato.

Mostro che  $\overline{\mathcal{U}}$  orientato: per  $\overline{\varphi}, \overline{\psi} \in \overline{\mathcal{U}}$  e matrice di cambiamento  $J_h$  vale

$$\overline{\psi}_{u_1} \wedge \overline{\psi}_{v_1} = (\det J_h) \cdot \overline{\varphi}_{u_2} \wedge \overline{\varphi}_{v_2} \quad \Rightarrow \quad \det J_h > 0$$

□

**Teorema 28** Presi  $\Omega \subseteq \mathbb{R}^3$  aperto,  $F \in C^\infty(\Omega, \mathbb{R})$ , 0 valore regolare per  $F$ , allora per  $M := F^{-1}(0)$  è orientabile

*Dimostrazione.* Prendo il campo vettoriale unitario normale  $N := \frac{\nabla F(p)}{\|\nabla F(p)\|}$

□

*Osservazione* Per  $\Leftarrow$  un atlante orientato è dato dalle parametrizzazioni  $\varphi$  tali che  $\varphi_u \wedge \varphi_v$  sia un multiplo positivo del campo normale.

*Osservazione* Tutte le superfici sono orientabili localmente: l'orientabilità è quindi una proprietà globale.

*Osservazione* Esistono superfici che non sono controimmagini di valori regolari, come le superfici non orientabili (v. nastro di Mobius)

**Teorema 29 (Del valore regolare per superfici)** Sia  $S \subseteq \mathbb{R}^3$  superficie, sia  $f \in C^\infty(S)$ ,  $f : S \rightarrow \mathbb{R}$ . Sia  $a \in \mathbb{R}$  valore regolare per  $f$ , con  $df(p) : T_p S \rightarrow \mathbb{R}$  sia suriettivo  $\forall p \in f^{-1}(a)$ . Allora  $f^{-1}(a)$  (se è  $\neq \emptyset$ ) è una 1-varietà contenuta in  $S$ .

*Dimostrazione.* (P. 51)

□

*Osservazione* Il teorema vale in generale per  $M \subseteq \mathbb{R}^m$   $n$ -varietà,  $f : M \rightarrow \mathbb{R}^k \in C^\infty$  e  $a \in \mathbb{R}^k$  valore regolare per  $f$ . Allora  $f^{-1}(a)$  (se  $\neq \emptyset$ ) è varietà di dim.  $n - k$  contenuta in  $M$ .

## 8 Superfici

### 8.1 Prima forma fondamentale

**Definizione 8.1 (prima forma fondamentale):** Presa  $\varphi : U \rightarrow S \subseteq \mathbb{R}^m$  parametrizzazione di  $S$  superficie e  $p \in S$  definisco la forma bilineare simmetrica su  $T_p S$

$$\begin{aligned} \mathbf{I}_p = g_p : T_p S \times T_p S &\rightarrow \mathbb{R} \\ (\mathbf{v}, \mathbf{w}) &\mapsto \langle \mathbf{v}, \mathbf{w} \rangle \end{aligned}$$

Con  $\mathbf{v}, \mathbf{w} \in T_p M$  e  $\langle \cdot, \cdot \rangle$  prodotto scalare in  $\mathbb{R}^m$ .

La prima forma fondamentale mi permette di passare dalla "metrica" (lunghezze e superfici) di  $U$  a quella di  $S$ : infatti mi dà i "fattori di ingrandimento" rispetto alla param. che sto usando. La forma quadratica della prima f.f. nella direzione  $\mathbf{v} \in T_p S$  mi permette di calcolarne il modulo, e quindi mi permette di calcolare la lunghezza delle curve tracciate su  $S$  (tramite l'integrale del modulo della velocità). Mentre l'applicazione bilineare della prima f.f. (che quindi prende in pancia due direzioni diverse) mi permette di calcolare la superficie compresa e quindi mi dà il fattore d'ingrandimento delle superfici che mi permette di fare gli integrali su  $U$  al posto che su  $S$ .

**Matrice associata alla prima forma fonamentale** se  $\mathbf{v}, \mathbf{u}$  sono scritti nella base di  $T_p S : \mathcal{B} = \left\{ \frac{\partial \varphi}{\partial u_1}, \frac{\partial \varphi}{\partial u_2} \right\} = \{\varphi_{u_1}, \varphi_{u_2}\}$

$$g_p(\mathbf{v}, \mathbf{w}) = g_p(v_1 \varphi_{u_1} + v_2 \varphi_{u_2}, w_1 \varphi_{u_1} + w_2 \varphi_{u_2}) \stackrel{\text{bilinearità}}{=} E v_1 w_1 + F(v_1 w_2 + v_2 w_1) + G v_2 w_2 = \begin{pmatrix} v_1 & v_2 \end{pmatrix} \overbrace{\begin{pmatrix} E & F \\ F & G \end{pmatrix}}^{:= \mathbf{M}_p} \begin{pmatrix} w_1 \\ w_2 \end{pmatrix}$$

Quindi la matrice associata a  $g_p$  nella base  $\mathcal{B} = \{\varphi_{u_1}, \varphi_{u_2}\}$  è

$$\mathbf{M}_p := \begin{pmatrix} E & F \\ F & G \end{pmatrix} \quad \text{con} \quad \begin{cases} E = g_p(\varphi_{u_1}, \varphi_{u_1}) = \langle \varphi_{u_1}, \varphi_{u_1} \rangle = \|\varphi_{u_1}\|^2 \\ F = g_p(\varphi_{u_1}, \varphi_{u_2}) = \langle \varphi_{u_1}, \varphi_{u_2} \rangle \\ G = g_p(\varphi_{u_2}, \varphi_{u_2}) = \langle \varphi_{u_2}, \varphi_{u_2} \rangle = \|\varphi_{u_2}\|^2 \end{cases}$$

*Osservazione* È come la storia in meccaz, chiaramente se la base  $\mathcal{B} = \{\varphi_{u_1}, \varphi_{u_2}\}$  è ortonormale, allora  $\mathbf{G}$  è l'identità e possiamo fare il classico prodotto scalare componente per componente, ovvero  $\langle \mathbf{v}, \mathbf{w} \rangle = v_1 w_1 + v_2 w_2$

*Osservazione (lunghezza vettore tangente)*  $\|\mathbf{w}\|^2 = \|w_1 \varphi_{u_1} + w_2 \varphi_{u_2}\|^2 = E w_1^2 + 2F w_1 w_2 + G w_2^2$

*Osservazione (lunghezza di una curva su una superficie)* Presa  $\varphi: U \rightarrow M \subseteq \mathbb{R}^m$  parametrizzazione di  $M$  e  $\alpha(t) = \varphi \circ u(t)$  curva su  $M$  e  $u(t)$  curva in  $U$  con  $t \in [a, b]$ , allora  $\alpha'(t) = d\varphi(u(t)) \cdot u'(t) \in T_p M$  e

$$L(\alpha) = \int_a^b \|\alpha'(t)\| dt = \int_a^b \sqrt{\langle \alpha'(t), \alpha'(t) \rangle} dt = \int_a^b \sqrt{\mathbf{I}(\alpha'(t), \alpha'(t))} dt$$

**Proposizione 47 (norma vettore tangente a una superficie)** (NO)  $\|\varphi_{u_1} \wedge \varphi_{u_2}\|^2 = \det \begin{pmatrix} E & F \\ F & G \end{pmatrix} = EG - F^2$

*Dimostrazione.*

$$\begin{aligned} \det \begin{bmatrix} E & F \\ F & G \end{bmatrix} &= \det \begin{bmatrix} \varphi_{u_1} \cdot \varphi_{u_1} & \varphi_{u_1} \cdot \varphi_{u_2} & 0 \\ \varphi_{u_2} \cdot \varphi_{u_1} & \varphi_{u_2} \cdot \varphi_{u_2} & 0 \\ 0 & 0 & 1 \end{bmatrix} = \det [\varphi_{u_1} \quad \varphi_{u_2} \quad N]^T [\varphi_{u_1} \quad \varphi_{u_2} \quad N] = \det ([\varphi_{u_1} \quad \varphi_{u_2} \quad N])^2 = \\ &= (\varphi_{u_1} \wedge \varphi_{u_2} \cdot N)^2 = \left( \varphi_{u_1} \wedge \varphi_{u_2} \cdot \left( \frac{\varphi_{u_1} \wedge \varphi_{u_2}}{\|\varphi_{u_1} \wedge \varphi_{u_2}\|} \right) \right)^2 = \left( \frac{\|\varphi_{u_1} \wedge \varphi_{u_2}\|^2}{\|\varphi_{u_1} \wedge \varphi_{u_2}\|} \right)^2 = \|\varphi_{u_1} \wedge \varphi_{u_2}\|^2 \end{aligned}$$

□

*Osservazione (area di una regione su una superficie)* Dal risultato precedente, vale che  $\sqrt{EG - F^2} = \|\varphi_{u_1} \wedge \varphi_{u_2}\|$  è l'area del parallelogramma di lati  $\varphi_{u_1}$  e  $\varphi_{u_2}$ , siccome  $\|N\| = 1$ , e dunque

$$\boxed{\text{area}(K) = \int_{\varphi^{-1}(K)} \|\varphi_{u_1} \wedge \varphi_{u_2}\| du_1 du_2 = \int_{\varphi^{-1}(K)} \sqrt{\det \mathbf{I}_p} du_1 du_2}$$

*Osservazione (integrale di una funzione su una superficie)*  $f \in C^\infty(K \subseteq S)$ , allora

$$\int_K f \cdot d\sigma = \int_{\varphi^{-1}(K)} f(\varphi(u_1, u_2)) \overbrace{\|\varphi_{u_1} \wedge \varphi_{u_2}\|}^{d\sigma} du_1 du_2 = \int_{\varphi^{-1}(K)} f(\varphi(u_1, u_2)) \sqrt{EG - F^2} du_1 du_2$$

**Definizione 8.2 (area di una regione su una superficie):**  $\text{area}(K) := \int_{\varphi^{-1}(K)} \|\varphi_{u_1} \wedge \varphi_{u_2}\| du_1 du_2$

*Osservazione (Buona definizione)* La definizione che abbiamo dato di area non dipende dalle coordinate, ovvero per  $\varphi, \psi$  due parametrizzazioni vale

$$\int_{\varphi^{-1}(K)} \|\varphi_{u_1} \wedge \varphi_{u_2}\| du_1 du_2 = \int_{\psi^{-1}(K)} \|\psi_{v_1} \wedge \psi_{v_2}\| dv_1 dv_2$$

*Dimostrazione.* Uso teo cambiamento variabili:

$$\int_{h(E)} f(y) dy = \int_E f(h(x)) \cdot |\det J_h(x)| dx$$

con  $h: \Omega \rightarrow \mathbb{R}^2$  omeo su  $h(\Omega)$  e  $E \subseteq \Omega$ , applicato al nostro caso con  $h = \varphi^{-1} \circ \psi$

□



### 8.1.1 Parametrizzazioni ortogonali

**Definizione 8.3 (parametrizzazione ortogonale):**  $\varphi: U \rightarrow S$  parametrizzazione tale per cui  $\langle \varphi_{u_1}, \varphi_{u_2} \rangle = 0$ , ovvero  $F = 0$ .

**Teorema 30 (esistenza di una parametrizzazione ortogonale)**  $\forall S$  superficie e  $\forall p \in S \exists \varphi$  parametrizzazione ortogonale tale che  $p \in \varphi(U)$

## 8.2 Seconda forma fondamentale

**Definizione 8.4 (applicazione di Gauss):** Preso il campo vettoriale unitario  $N: S \rightarrow \mathbb{R}^3$  normale alla superficie  $S$  orientata (ovvero  $N := \frac{\varphi_{u_1} \wedge \varphi_{u_2}}{\|\varphi_{u_1} \wedge \varphi_{u_2}\|}$ ) si può immaginare come  $N: S \rightarrow S^2 \subseteq \mathbb{R}^3$ , detta applicazione di Gauss.

*Osservazione* Considero  $dN_p: T_p S \rightarrow T_{N(p)} S^2$ , osservo che  $T_{N(p)} S^2 = N(p)^\perp = T_p S$ , quindi

$$\text{APPLICAZIONE DI GAUSS} \quad N: S \rightarrow S^2$$

$$\text{DIFFERENZIALE} \quad dN_p: T_p S \rightarrow T_{N(p)} S^2 = T_p S$$

**Definizione 8.5 (operatore di Weingarten):** Endomorfismo  $L_p: T_p S \rightarrow T_p S$  tale che  $L_p = -dN_p$  (vale  $T_{N(p)} S^2 = T_p S$ ), ovvero

$$L_p: T_p S \rightarrow T_p S \\ \mathbf{v} \mapsto -\frac{d}{d\mathbf{v}} N_p$$

Vedremo che è un'applicazione lineare  $L_p(\mathbf{v}) = A\mathbf{v}$  e quindi gli autovettori sono le direzioni del  $dN_p$ .

Praticamente mi prende un vettore spostamento sul piano tangente (direzione) e mi sputa fuori il vettore rate of change del campo normale. Se il vettore normale si inclina nella mia direzione ho un autovettore, se invece si storta da un'altra parte no.

Quindi l'op. di Weingarten mi "sonda" come sta cambiando la curvatura (ovvero il vettore  $\perp S$ ) nella direzione in cui mi muovo.

*Osservazione* L'operatore di Weingarten è suriettivo sse la superficie si "storta/curva" in tutte le direzioni, ovvero se la curvatura di Gauss  $K \neq 0$ , un esempio è la sfera. Invece non è suriettivo dove il campo normale si può stortare solo in una direzione, come nel cilindro che ha  $k_1 = 0$ , e infatti l'immagine di  $L_p$  è una retta in direzione della curvatura principale con  $k_2 \neq 0$

**Proposizione 48 (simmetria dell'operatore di Weingarten)**  $\forall p \in S, L_p$  è simmetrico sul piano euclideo  $(T_p S, \mathbf{I}_p)$  (ossia autoaggiunto rispetto alla prima forma fondamentale), ovvero

$$\mathbf{I}(L_p(\mathbf{v}), \mathbf{w}) = \mathbf{I}(\mathbf{v}, L_p(\mathbf{w})) \stackrel{\text{per simm.}}{=} \mathbf{I}(L_p(\mathbf{w}), \mathbf{v}) \quad \forall \mathbf{v}, \mathbf{w} \in T_p S$$

*Dimostrazione.* (OK) Presa  $\varphi: U \rightarrow S$  parametrizzazione studio per la base  $\{\varphi_{u_1}, \varphi_{u_2}\}$ . Per  $\langle L_p(\varphi_{u_i}), \varphi_{u_i} \rangle$  banale, studio per  $\langle L_p(\varphi_{u_1}), \varphi_{u_2} \rangle$ :

$$\left\langle \boxed{L_{\varphi(u)}(\varphi_{u_1})}, \varphi_{u_2} \right\rangle = - \left\langle \frac{\partial(N \circ \varphi)}{\partial u_1}, \varphi_{u_2} \right\rangle = - \frac{\partial}{\partial u_1} \underbrace{\langle N \circ \varphi, \varphi_{u_2} \rangle}_{=0 \text{ poiché } N \perp \varphi_{u_2} \in T_p S} + \langle N \circ \varphi, \varphi_{u_2 u_1} \rangle = \langle N \circ \varphi, \varphi_{u_2 u_1} \rangle \quad (*)$$

$$\clubsuit \rightarrow L_{\varphi(\bar{u})}(\varphi_{u_1}) = - \left[ \frac{d}{dt} N(\varphi(\bar{u}_1 + t, \bar{u}_2)) \right]_{t=0} = - \frac{\partial(N \circ \varphi)}{\partial u_1}(\bar{u})$$

Dunque  $\langle L_{\varphi(u)}(\varphi_{u_1}), \varphi_{u_2} \rangle \stackrel{*}{=} \langle N \circ \varphi, \varphi_{u_2 u_1} \rangle \stackrel{\text{Schwartz}}{=} \langle N \circ \varphi, \varphi_{u_1 u_2} \rangle \stackrel{\text{per } *}{=} \langle L_{\varphi(u)}(\varphi_{u_2}), \varphi_{u_1} \rangle \quad \square$

**Definizione 8.6 (seconda forma fondamentale):** Presa  $\varphi: U \rightarrow M \subseteq \mathbb{R}^3$  parametrizzazione di  $M$  superficie orientata e  $p \in M$  definisco la forma bilineare simmetrica su  $T_p M$

$$h_p: T_p S \times T_p S \rightarrow \mathbb{R} \quad | \quad h_p(\mathbf{v}, \mathbf{w}) = g_p(L_p(\mathbf{v}), \mathbf{w}) = \langle L_p(\mathbf{v}), \mathbf{w} \rangle = \langle -dN_p(\mathbf{v}), \mathbf{w} \rangle \quad \forall \mathbf{v}, \mathbf{w} \in T_p M$$

**Matrice associata alla seconda forma fondamentale** se  $\mathbf{v}, \mathbf{u}$  sono scritti nella base di  $T_p S: \mathcal{B} = \left\{ \frac{\partial \varphi}{\partial u_1}, \frac{\partial \varphi}{\partial u_2} \right\} = \{\varphi_{u_1}, \varphi_{u_2}\}$

$$h_p(\mathbf{v}, \mathbf{w}) = h_p(v_1 \varphi_{u_1} + v_2 \varphi_{u_2}, w_1 \varphi_{u_1} + w_2 \varphi_{u_2}) \stackrel{\text{bilinearità}}{=} e v_1 w_1 + f(v_1 w_2 + v_2 w_1) + g v_2 w_2 = \begin{pmatrix} v_1 & v_2 \end{pmatrix} \overbrace{\begin{pmatrix} e & f \\ f & g \end{pmatrix}}^{\mathbf{H}} \begin{pmatrix} w_1 \\ w_2 \end{pmatrix}$$

Quindi la matrice associata a  $h_p$  nella base  $\mathcal{B} = \{\varphi_{u_1}, \varphi_{u_2}\}$  è

$$\mathbf{II}_p := \begin{pmatrix} e & f \\ f & g \end{pmatrix} \quad \text{con} \quad \begin{cases} e = h_p(\varphi_{u_1}, \varphi_{u_1}) = \langle L_p(\varphi_{u_1}), \varphi_{u_1} \rangle = -\langle dN_{\varphi_{u_1}}, \varphi_{u_1} \rangle \stackrel{*}{=} \langle N \circ \varphi, \varphi_{u_1 u_1} \rangle = \langle \bar{N}, \varphi_{u_1 u_1} \rangle \\ f = h_p(\varphi_{u_1}, \varphi_{u_2}) = \langle L_p(\varphi_{u_1}), \varphi_{u_2} \rangle = \langle \bar{N}, \varphi_{u_1 u_2} \rangle \\ g = h_p(\varphi_{u_2}, \varphi_{u_2}) = \langle L_p(\varphi_{u_2}), \varphi_{u_2} \rangle = \langle \bar{N}, \varphi_{u_2 u_2} \rangle \end{cases}$$

*Osservazione* (**Matrice della II f.f. per grafico di funzione**)  $S = \{x, y, z \in \mathbb{R}^3 \mid z = f(x, y)\}$  allora una sua parametrizzazione è  $\varphi(u, v) = \begin{pmatrix} u \\ v \\ f(u, v) \end{pmatrix}$  e la matrice associata alla seconda forma fondamentale è

$$\mathbf{II}_p := \begin{pmatrix} e & f \\ f & g \end{pmatrix} = \frac{1}{\sqrt{1 + \|\nabla f\|}} H_f \quad \text{dove } H_f \text{ è l'hessiana di } f$$

## 8.3 Curvatura

### 8.3.1 Curvatura normale

**Proposizione 49** Sia  $\alpha = \alpha(s) : (-\varepsilon, \varepsilon) \rightarrow S$  curva tale che  $\alpha(0) = p$  e  $\dot{\alpha}(0) = \mathbf{v} \neq \mathbf{0}$  (regolare), allora vale

$$\boxed{\mathbf{II}_p(\mathbf{v}, \mathbf{v}) = \langle \mathbf{N}(p), \ddot{\alpha}(0) \rangle} = \kappa(0) \cos \theta = \|\ddot{\alpha}(s)^\perp\| =: \kappa_n$$

*Dimostrazione.*

$$\begin{aligned} \mathbf{II}_p(\mathbf{v}, \mathbf{v}) &= \mathbf{II}_p(\dot{\alpha}(0), \dot{\alpha}(0)) = \langle L_p(\dot{\alpha}(0)), \dot{\alpha}(0) \rangle = -\langle dN_p(\dot{\alpha}(0)), \dot{\alpha}(0) \rangle = \\ &= -\left\langle \left[ \frac{d}{dt} N \circ \alpha(t) \right]_{t=0}, \dot{\alpha}(0) \right\rangle = -\frac{d}{dt} \langle N \circ \alpha(t), \dot{\alpha}(0) \rangle + \langle N \circ \alpha(t), \ddot{\alpha}(0) \rangle = \langle N(p), \ddot{\alpha}(0) \rangle \end{aligned}$$

Inoltre, per  $\alpha = \alpha(s)$  curva biregolare vale  $\ddot{\alpha} = \kappa \cdot \mathbf{n}$ , e dunque

$$\mathbf{II}_p(\mathbf{v}, \mathbf{v}) = \langle N(p), \kappa(0) \cdot \mathbf{n}(0) \rangle = \kappa(0) \cdot \langle N(p), \mathbf{n}(0) \rangle = \kappa(0) \cos \theta \quad \text{con } \theta \text{ angolo tra } \mathbf{N} \text{ e } \mathbf{n}$$

□

*Osservazione* In particolare  $\mathbf{II}$  dipende solo da  $\dot{\alpha}(0)$

**Definizione 8.7 (curvatura normale):**  $\kappa_n := \kappa(0) \cdot \langle N(p), \mathbf{n}(0) \rangle = \kappa \cos \theta$  per  $\alpha: (-\varepsilon, \varepsilon) \rightarrow S$  curva biregolare e  $S$  orientata da  $\mathbf{N}$ ,  $\theta$  angolo tra  $\mathbf{N}(p)$  e  $\mathbf{n}(0)$ . Ovvero

$$\kappa_n := \|\ddot{\alpha}(s)^\perp\|$$

*Osservazione* Dalla 49 vale

$$\mathbf{II}_p(\dot{\alpha}(0), \dot{\alpha}(0)) = \langle \ddot{\alpha}(0), N(p) \rangle = \kappa(0) \cdot \langle N(p), \mathbf{n}(0) \rangle = \kappa_n$$

ovvero la curvatura normale nella direzione  $\mathbf{v}$  in  $p$  è

$$\kappa_v(p) = h_p(\mathbf{v}, \mathbf{v}) = \langle L_p \mathbf{v}, \mathbf{v} \rangle$$

e quindi:

**Teorema 31 (teorema di Meusnier)** Tutte le curve su  $S$  passanti per uno stesso punto  $p \in S$  con lo stesso vettore tangente ad  $S$  in  $p$  hanno la stessa curvatura normale.

*Osservazione* Quindi abbiamo

$$\kappa = \frac{\boxed{\kappa_n}}{\cos \theta} \quad \text{fissa } \forall \alpha$$

### 8.3.2 Sezione normale

**Teorema 32 (valore regolare su superfici)** Sia  $f \in C^\infty(S)$ , se  $a \in \mathbb{R}$  è valore regolare e  $C := f^{-1}(a) \neq \emptyset$ , allora  $C$  è una 1-varietà

*Dimostrazione.* Per  $p \in C$  esiste per locale liscia su varietà estensione  $\tilde{f} \in C^\infty(A)$  di  $f$  su  $A$  intorno aperto di  $p$   $f = \tilde{f}|_{A \cap S}$ . Inoltre posso supporre localmente  $S = g^{-1}(b)$  con  $b$  valore regolare di  $g$  (da 12), quindi presa  $F = (\tilde{f}, g)$  ho  $C = F^{-1}(a, b)$ . Dimostro  $J_{F(p)} = \begin{pmatrix} \nabla \tilde{f}(p) \\ \nabla g(p) \end{pmatrix}$  suriettivo:  $\nabla \tilde{f}(p)$  e  $\nabla g(p)$  indipendenti (non nulli in quanto  $p$  punto regolare per entrambe le funzioni), siccome

$$\ker dg_p = T_p S, \quad \dim(df_p) = 2, \quad \dim(df_p|_{T_p S}) = \dim(df_p) = 1 \implies \langle dg_p, df_p \rangle = \mathbb{R}^3$$

Quindi  $(a, b)$  valore regolare di  $F$ , e la tesi deriva dal teorema del 17 □

**Proposizione 50** Preso  $H \neq T_p S$  piano  $\implies S \cap (p + H)$  è una 1-varietà in un intorno di  $p$

*Dimostrazione.* (P. 57) □

**Definizione 8.8 (sezione normale):** Preso  $v \in T_p S$  e  $H = \text{span}(N(p), v)$ , la curva  $C = S \cap (p + H)$  ben definita per un intorno piccolo di  $p$  è detta sezione normale ad  $S$  in  $p$ . Vale  $T_p C = T_p S \cap H = \mathbb{R}v$ .

**Proposizione 51** Presa  $\alpha: (-\varepsilon, \varepsilon) \rightarrow S$  parametrizzazione naturale di una sezione normale ad  $S$  in  $p = \alpha(0)$ , vale

$$\kappa_n = \mathbf{II}_p(\dot{\alpha}(0), \dot{\alpha}(0)) = \pm \kappa_\alpha(0)$$

ovvero la curvatura normale equivale in modulo alla curvatura della sezione normale

*Dimostrazione.* Siccome  $\mathbf{n}(0) \in H$  e  $\mathbf{n}(0) \perp \mathbf{t}(0) = v$ , vale  $\mathbf{n}(0) = \pm N(p)$ , quindi  $\mathbf{II}_p(\dot{\alpha}(0), \dot{\alpha}(0)) = \langle N(p), \mathbf{n}(0) \rangle \cdot \kappa_\alpha(0) = \pm \kappa_\alpha(0)$  □

*Osservazione* Il segno della seconda forma fondamentale dipende dalla scelta di  $N$ , ma il modulo no.

*Osservazione* Se anche  $S$  non orientabile posso definire localmente  $\mathbf{II}_p$

### 8.3.3 Curvature principali e classificazione dei punti di una superficie

**Definizione 8.9 (curvature principali, direzioni principali di curvatura):**  $L_p$  essendo simmetrica ( $\mathbf{II}_p$  bilineare) la possiamo diagonalizzare (teo. spettrale) e quindi possiede due autovalori  $k_1, k_2$  detti curvature principali, i cui autospazi sono le direzioni principali di curvatura (per  $k_1 \neq k_2$ ). Si definisce linea di curvatura  $\alpha: I \rightarrow S$  t.c.  $\alpha'(t)$  direzione di curvatura  $\forall t$

**Definizione 8.10 (curvatura gaussiana, curvatura media):**

$$\text{CURVATURA GAUSSIANA} \quad K(p) = k_1 \cdot k_2 = \det L_p \quad \text{CURVATURA MEDIA} \quad H(p) = k_1 + k_2 = \text{Tr}(L_p)$$

**Proposizione 52** Sia  $f: S^1 \rightarrow \mathbb{R} \mid f(v) = \mathbf{II}_p(v, v)$  la restrizione a  $S^1$  della forma quadratica associata a  $L_p$ . Allora  $f$  ha un massimo e un minimo assoluti, che sono  $k_1$  e  $k_2$  rispettivamente.

*Dimostrazione.* Per  $\{e_1, e_2\}$  base di autovettori ortonormali di  $\mathbf{H}$  vale per  $v = v_1 e_1 + v_2 e_2$  di  $|v| = 1$

$$\mathbf{II}_p(v, v) = \langle L_p(v), v \rangle = \sum_{i,j} v_i v_j \langle L_p(e_i), e_j \rangle = k_1 v_1^2 + k_2 v_2^2 \quad \left\{ \begin{array}{l} \geq k_1 (v_1^2 + v_2^2) = k_1 \\ \leq k_2 (v_1^2 + v_2^2) = k_2 \end{array} \right.$$

□

*Osservazione* Nella curvatura Gaussiana, se cambio orientazione  $L_p \rightarrow -L_p$  il determinante non cambia (cambio i segni a tutta la matrice)  $\implies K_p$  è indipendente dalla scelta dell'orientazione  $\implies$  la possiamo definire su qualunque superficie, anche le non orientabili

**Definizione 8.11 (classificazione dei punti di una superficie):** In funzione di  $k_1$  e  $k_2$

ELLITTICO	$k_1 \cdot k_2 > 0$	PARABOLICO	$k_1 = 0$ e $k_2 \neq 0$
IPERBOLICO	$k_1 < 0 < k_2$	PLANARE	$k_1 = k_2 = 0$

Inoltre i punto si definisce OMBELICALE se  $k_1 = k_2$

**Definizione 8.12** (indicatrice di Dupin):  $Q := \{v \in T_p S \mid |\mathbf{II}_p(v, v)| = 1\}$

**Definizione 8.13** (isotropia per  $\mathbf{II}_p$ , direzione asintotica, curva asintotica, linea di curvatura):

ISOTROPIA	$v \neq \mathbf{0}$ isotropo per $\mathbf{II}_p$ se $\mathbf{II}_p(v, v) = 0$
DIREZIONE ASINTOTICA	$L \subset T_p S$ retta tale che $\forall v \in L$ vale $\mathbf{II}_p(v, v) = 0$
CURVA ASINTOTICA	$C \subseteq S \mid \forall p \in C, \forall v \neq \mathbf{0} \in T_p C \subset T_p S: v$ è direzione asintotica
LINEA DI CURVATURA	$C \subseteq S \mid \forall p \in C: T_p C$ è autospazio per $L_p$

*Osservazione* Se prendo  $C \subseteq S \mid \forall p \in C$   $p$  è iperbolico e  $T_p C$  è autospazio dell'autovalore 0  $\implies C$  è curva asintotica + linea di curvatura.

NB: ci sono linee asintotiche che non sono di curvatura (se ci sono punti iperbolici)

**Proposizione 53**  $S \subseteq \mathbb{R}^3$  superficie connessa e orientata, se  $\forall p \in S$  ombelicale  $\implies S$  aperto di una sfera o un piano

*Dimostrazione.*  $\forall p \in S: k_1(p) = k_2(p) := \lambda(p)$ , che a priori potrebbe variare con  $p$ .

- Vediamo che  $\lambda \equiv \text{cost.}$

$$dN_p = -L_p = -\lambda(p) \text{Id}_{T_p S} = \begin{pmatrix} -\lambda(p) & 0 \\ 0 & -\lambda(p) \end{pmatrix}$$

essendo  $\lambda(p)$  i due autovalori. Si tratta quindi di un "ingrandimento". Fisso  $p$  e prendo param. in suo intorno  $\varphi: U \rightarrow S$  con  $p \in \varphi(U)$ . Localmente abbiamo  $N = \frac{\varphi_u \wedge \varphi_v}{\|\varphi_u \wedge \varphi_v\|}$  con  $(u, v) \in U$ . Ma allora

$$dN_{\varphi(u,v)}(v) = -\lambda(\varphi(u, v))v \quad \forall v \in T_{\varphi(u,v)} S$$

In particolare vale

$$\begin{cases} dN_{\varphi(u,v)}(\varphi_u) = -\lambda(\varphi(u, v))\varphi_u \\ dN_{\varphi(u,v)}(\varphi_v) = -\lambda(\varphi(u, v))\varphi_v \end{cases} \implies \begin{cases} \frac{\partial(N \circ \varphi)}{\partial u}(u, v) = -\lambda \circ \varphi(u, v)\varphi_u \\ \frac{\partial(N \circ \varphi)}{\partial v}(u, v) = -\lambda \circ \varphi(u, v)\varphi_v \end{cases}$$

e derivando

$$\begin{cases} \frac{\partial^2}{\partial u \partial v}(N \circ \varphi) = -\frac{\partial \lambda}{\partial v}\varphi_u - \lambda\varphi_{uv} \\ \frac{\partial^2}{\partial v \partial u}(N \circ \varphi) = -\frac{\partial \lambda}{\partial u}\varphi_v - \lambda\varphi_{vu} \end{cases} \xrightarrow{\text{Schwarz}} \frac{\partial \lambda}{\partial v}\varphi_u = \frac{\partial \lambda}{\partial u}\varphi_v$$

Essendo  $\varphi_u, \varphi_v$  indipendenti  $\implies \frac{\partial \lambda}{\partial v} \equiv \frac{\partial \lambda}{\partial u} \equiv 0$  su tutto  $U \implies \lambda \equiv \text{cost.}$  su tutto  $U$  (eventualmente restringendo a una comp. connessa)  $\implies \lambda$  costante su tutte le comp. connesse di  $S \implies \lambda$  costante su tutta  $S$

- Se  $\lambda \equiv 0$ :  $\implies dN_p \equiv 0 \implies N \equiv \text{cost.}$   $\forall p \in S$ . Fisso  $p_0 \in S$  e  $\pi = \{q \in \mathbb{R}^3 \mid \langle q - p_0, N \rangle = 0\}$ , voglio verificare che  $S \subseteq \pi$  localmente in una param.  $\varphi: U \rightarrow S$ . Suppongo  $U$  connesso e prendo

$$\begin{aligned} f: U &\rightarrow \mathbb{R} \\ (u, v) &\mapsto \langle \varphi(u, v) - \varphi(u_0, v_0), N \rangle \end{aligned}$$

Ho che

$$\begin{cases} f(u_0, v_0) = 0 \\ \nabla f(u, v) = \begin{pmatrix} \frac{\partial f}{\partial u} \\ \frac{\partial f}{\partial v} \end{pmatrix} \stackrel{1)}{=} \begin{pmatrix} \langle \varphi_u, N \rangle \\ \langle \varphi_v, N \rangle \end{pmatrix} \stackrel{2)}{=} \mathbf{0} \end{cases} \implies f \equiv 0 \quad \text{su } U$$

In 1) poiché  $dN = 0$ , in 2) poiché  $\varphi_u \in T_p S \perp N$ . Allora ho la tesi.

- Se  $\lambda \equiv c \neq 0$ : ho che

$$\begin{cases} \frac{\partial(N \circ \varphi)}{\partial u} = -\lambda\varphi_u \\ \frac{\partial(N \circ \varphi)}{\partial v} = -\lambda\varphi_v \end{cases}$$

Definisco

$$\psi(u, v) := \varphi(u, v) + \frac{1}{\lambda} N(\varphi(u, v))$$

$$\nabla \psi = \begin{cases} \frac{\partial \psi}{\partial u} = \varphi_u + \frac{1}{\lambda} \frac{\partial(N \circ \varphi)}{\partial u} = 0 \\ \frac{\partial \psi}{\partial v} = \varphi_v + \frac{1}{\lambda} \frac{\partial(N \circ \varphi)}{\partial v} = 0 \end{cases} \implies \psi \equiv \text{cost.} = x_0 \in \mathbb{R}^3 \implies \varphi(u, v) = x_0 - \frac{1}{\lambda} N(\varphi(u, v))$$

In particolare

$$\|\varphi(u, v) - x_0\| = \left\| \frac{1}{\lambda} N(\varphi(u, v)) \right\| = \frac{1}{|\lambda|} \underbrace{\|N(\varphi(u, v))\|}_{=1} = \frac{1}{|\lambda|}$$

Quindi  $\forall p \in S$  abbiamo  $\|p - x_0\| = \frac{1}{|\lambda|}$  (luogo dei punti a distanza costante da  $x_0$ )  $\implies \varphi(U) \subseteq$  sfera di centro  $x_0$  e raggio  $\frac{1}{|\lambda|}$

□

### 8.3.4 Matrice dell'operatore di Weingarten

**Lemma 13**  $(V, \langle \cdot, \cdot \rangle)$  spazio euclideo di  $\dim(V) = n$ ,  $L \in \text{End}(V)$  t.c.  $h(a, b) = \langle La, b \rangle$  con  $L$  simmetrico su  $(V, \langle \cdot, \cdot \rangle)$  ( $\iff h$  bilineare). Per  $\mathcal{B} = \{\mathbf{v}_1, \dots, \mathbf{v}_n\}$  base definisco

$$G_{ij} = \langle \mathbf{v}_i, \mathbf{v}_j \rangle \quad (G \text{ SPD}) \quad H_{ij} = h(\mathbf{v}_i, \mathbf{v}_j) \quad (H \text{ simm}) \quad A \text{ matrice di } L \quad L\mathbf{v}_j = \sum_{i=1}^n \mathbf{v}_i a_{ij}$$

$$\text{Allora } A = G^{-1}H$$

*Osservazione (Immagine dell'operatore di Weingarten)* Abbiamo che  $L\mathbf{v}_j$  è sicuramente un vettore di  $T_p S$ , quindi lo possiamo scrivere come combinazione della base, ovvero

$$L\mathbf{v}_j = \mathbf{v}_1 a_{1j} + \dots + \mathbf{v}_n a_{nj} = (\mathbf{v}_1 | \dots | \mathbf{v}_n) \mathbf{a}_j = \sum_{i=1}^n \mathbf{v}_i a_{ij}$$

dove  $\mathbf{a}_j$  è il vettore delle componenti di  $L\mathbf{v}_j$  rispetto alla base  $\mathcal{B}$ . Quindi la matrice

$$A = (\mathbf{a}_1 | \dots | \mathbf{a}_n)$$

è la matrice che ha per **colonne** i vettori componenti rispetto a  $\mathcal{B}$  dell'immagine rispetto a  $L$  dei vettori di  $\mathcal{B}$ . È quindi la matrice associata a  $L$  nella base  $\mathcal{B}$ .

*Dimostrazione.*

$$h_{ij} = \langle L\mathbf{v}_i, \mathbf{v}_j \rangle = \left\langle \sum_{k=1}^n \mathbf{v}_k a_{ki}, \mathbf{v}_j \right\rangle = \sum_{k=1}^n a_{ki} \langle \mathbf{v}_k, \mathbf{v}_j \rangle = \sum_{k=1}^n a_{ki} g_{kj} = \langle A_i, G_j \rangle = A_i^T \cdot G_j$$

$$H = A^T G \quad \Rightarrow \quad A^T = H G^{-1} \quad \Rightarrow \quad A = (H G^{-1})^T = (G^{-1})^T H^T = G^{-1} H$$

□

**Corollario 13** Usando la formula per l'inversa di una matrice  $2 \times 2$ :

$$A = \begin{pmatrix} a & b \\ c & d \end{pmatrix} \implies A^{-1} = \frac{1}{\det A} \begin{pmatrix} d & -b \\ -c & a \end{pmatrix}$$

allora la matrice  $\mathbf{A}$  di  $L_p$  è

$$\mathbf{A} = \mathbf{G}^{-1} \mathbf{H} = \frac{1}{EG - F^2} \begin{pmatrix} G & -F \\ -F & E \end{pmatrix} \begin{pmatrix} e & f \\ f & g \end{pmatrix}$$

e dunque

$$\text{CURV. GAUSSIANA } K(p) = \det \mathbf{A} = \frac{\det \mathbf{H}}{\det \mathbf{G}} = \frac{eg - f^2}{EG - F^2} \quad H(p) = \text{Tr} \mathbf{A} = \frac{Eg + Ge - 2Ff}{2(EG - F^2)}$$

**Proposizione 54** Se  $f(x) = Ax + b$  è una isometria di  $\mathbb{R}^n$  e  $S$  è una superficie, allora  $S' := f(S)$  è una superficie,  $T_{f(p)} S' = A \cdot T_p S$  e gli operatori di Weingarten  $L_p$  e  $L'_{f(p)}$  di  $S$  e  $S'$  sono simili, ovvero  $(L'_{f(p)} = AL_p A^{-1})$ .

*Dimostrazione.* Per  $\varphi: U \rightarrow S$  parametrizzazione di  $S$ ,  $\psi := f \circ \varphi: U \rightarrow S'$  è parametrizzazione di  $S'$ , allora  $N'(q) := A \cdot N(f^{-1}(q))$  è una orientazione di  $S'$  e dunque

$$L'_{f(p)} = -dN'_{f(p)} = -A \cdot dN_p \cdot (df^{-1})_{f(p)} = -A \cdot dN_p \cdot A^{-1} = AL_p A^{-1}$$

□

### 8.3.5 Altri risultati sulla curvatura

**Proposizione 55** La curvatura Gaussiana  $K$  non dipende dall'orientazione ed è definita anche per  $S$  non orientabile.

**Proposizione 56** Le curvature principali in  $p \in S$  sono il minimo e il massimo di  $\mathbf{II}_p$  sul cerchio unitario in  $T_p S$

**Proposizione 57 (superficie come locale grafico di una funzione)** Ogni superficie è localmente il grafico di una funzione definita sul piano tangente.

*Dimostrazione.* WLOG assumo  $p = (0, 0, 0)$  e  $T_p S = \langle e_1, e_2 \rangle$  (a cui mi riconduco a meno di isometria), e  $\psi: (x, y, z) \mapsto (x, y)$ . Ma allora  $d\psi_p = \text{Id}_{T_p S}$  e per il funzione inversa per applicazioni tra varietà  $\psi$  è invertibile in un intorno di  $p$ .  $\square$

**Proposizione 58** Preso  $\Sigma = T_p S + p$  piano affine tangente in  $p$  ad  $S$  genera  $\Sigma_+ = \langle x - p, \mathbf{n} \rangle \geq 0$  e  $\Sigma_-$  semispazi di  $\mathbb{R}^3$

- Per  $p$  ellittico,  $\exists A \subset S$  intorno di  $p$  tale che  $A \setminus \{p\} \subseteq \Sigma_+$  oppure  $A \setminus \{p\} \subseteq \Sigma_-$
- Per  $p$  iperbolico,  $\forall A \subset S$  intorno di  $p$  vale  $A \setminus \{p\} \cap \Sigma_+ \neq \emptyset$  e  $A \setminus \{p\} \cap \Sigma_- \neq \emptyset$

*Dimostrazione.* (P. 66) WLOG assumo  $p = (0, 0, 0)$  e  $T_p S = \langle e_1, e_2 \rangle$  (a cui mi riconduco a meno di isometria) e prendo  $f: U \subseteq \mathbb{R}^2 \rightarrow \mathbb{R}$  funzione tale che  $S = \Gamma_f$  (Proposizione 57). Presa dunque la 7.2 standard del grafico  $\Gamma_f$  si osserva  $\mathbf{H} = H_f$  matrice Hessiana di  $f$  e che  $\nabla f(p) = 0$ . Le tesi dalla scomposizione di Taylor di  $f$  in  $p$  e dal fatto che  $H_f$  definita positiva per  $p$  ellittico e indefinita per  $p$  iperbolico.  $\square$

## 8.4 Coordinate polari e cilindriche e Superfici di rivoluzione

### 8.4.1 Coordinate

**Definizione 8.14 (coordinate polari):**

**Definizione 8.15 (coordinate cilindriche):**  $f \in C^\infty(\Omega, \mathbb{R}^3 - \{x = y = 0\})$  tale che  $f: (u, r, z) \mapsto (ru_1, ru_2, z)$  con  $\Omega := S^1 \times (0, +\infty) \times \mathbb{R}$  ( $S^1 \ni u = (u_1, u_2)$ ).

### 8.4.2 Superfici di rotazione

**Definizione 8.16 (superficie di rotazione):** Per  $C \subset \{(y, z) \in \mathbb{R}^2 \mid y > 0\}$  curva regolare, si definisce superficie di rotazione la superficie regolare  $S = \{(x, y, z) \mid (\sqrt{x^2 + y^2}, z) \in C\}$

*Osservazione* Presa  $\alpha: (a, b) \rightarrow C$  parametrizzazione di  $C$  ( $\alpha = (\beta, \gamma)$ ),

$$\varphi: (\theta_0, \theta_0 + 2\pi) \times (a, b) \rightarrow S \mid \varphi(u, v) = \begin{pmatrix} \beta(v) \cos u \\ \beta(v) \sin u \\ \gamma(v) \end{pmatrix}$$

è una parametrizzazione di  $S$  (dalle coordinate cilindriche, quindi la buona definizione delle superfici di rotazione come 2-varietà)

**Teorema 33** Sia  $C \subset \{(y, z) \in \mathbb{R}^2 \mid y > 0\}$  una 1-varietà e  $S = R_C = \{(x, y, z) \mid (\sqrt{x^2 + y^2}, z) \in C\}$ . Allora  $R_C$  è una 2-varietà (superficie) ed è omeomorfa a  $S^1 \times C$

*Dimostrazione.* (OK) Sia

$$f: \underbrace{S^1 \times (0, +\infty) \times \mathbb{R}}_{:=M} \rightarrow \mathbb{R}^3 \setminus \{\text{asse } z\} \supseteq S \mid ((a, b), r, z) \mapsto (ra, rb, z)$$

è diffeo. con  $M$  una 3-varietà e con inversa

$$f^{-1}(x, y, z) = \left( \frac{(x, y)}{\sqrt{x^2 + y^2}}, \sqrt{x^2 + y^2}, z \right)$$

Abbiamo che  $S$  è superficie  $\iff f^{-1}(S)$  è superficie e vediamo che

$$f^{-1}(S) = \{((a, b), r, z) \in M \mid \underbrace{(ra, rb, z)}_{\substack{\in S^1 \\ \iff (r\sqrt{a^2+b^2}, z) = (r, z) \in C}}\} = \underbrace{\{(a, b)\}}_{\in S^1} \underbrace{\{(r, z)\}}_{\in C} = S^1 \times C$$

□

*Osservazione (Invarianti delle superfici di rotazione)* Fissiamo

- Parametrizzazione per  $C$ :  $\alpha : J \rightarrow C \mid \alpha(v) = \begin{pmatrix} \beta(v) \\ \gamma(v) \end{pmatrix}$  con  $\beta, \gamma \in C^\infty(J)$
- Parametrizzazione per  $R_C$ :  $\varphi : (-\pi, \pi) \times J \rightarrow S \mid \varphi(u, v) = \begin{pmatrix} \beta(v) \cos u \\ \beta(v) \sin u \\ \gamma(v) \end{pmatrix}$

Allora:

- I f.f.

$$\begin{cases} \varphi_u = (-\beta \cdot \sin u, \beta \cdot \cos u, 0) \\ \varphi_v = (\beta' \cdot \cos u, \beta' \cdot \sin u, \gamma') \\ \varphi_{uu} = (-\beta \cdot \cos u, \beta \cdot \sin u, 0) \\ \varphi_{uv} = (-\beta' \cdot \sin u, \beta' \cdot \cos u, 0) \\ \varphi_{vv} = (\beta'' \cdot \cos u, \beta'' \cdot \sin u, \gamma'') \end{cases} \implies \begin{cases} E = \langle \varphi_u, \varphi_u \rangle = \beta^2 \\ G = \langle \varphi_v, \varphi_v \rangle = (\gamma')^2 + (\beta')^2 = \|\dot{\alpha}\|^2 \\ F = \langle \varphi_u, \varphi_v \rangle = 0 \end{cases} \implies \mathbf{H} = \begin{pmatrix} \beta(v)^2 & 0 \\ 0 & \|\dot{\alpha}\|^2 \end{pmatrix}$$

- Campo di Gauss:

$$\varphi_u \wedge \varphi_v = \det \begin{pmatrix} \mathbf{i} & \mathbf{j} & \mathbf{k} \\ -\sin u \beta(v) & \cos u \beta(v) & 0 \\ \cos u \beta'(v) & \sin u \beta'(v) & \gamma'(v) \end{pmatrix} = \beta(v) \begin{pmatrix} \gamma'(v) \cos u \\ \gamma'(v) \sin u \\ -\beta'(v) \end{pmatrix}$$

$$\|\varphi_u \wedge \varphi_v\| = |\beta| \sqrt{\gamma'^2 \cos^2 u + \gamma'^2 \sin^2 u + \beta'^2} \stackrel{\beta \geq 0}{=} \beta \sqrt{\gamma'^2 + \beta'^2}$$

Allora

$$\overline{N} = \frac{(\gamma' \cdot \cos u, \gamma' \cdot \sin u, -\beta')}{\sqrt{\gamma'^2 + \beta'^2}}$$

- II f.f.:

$$e = \frac{-\beta \gamma'}{|\dot{\alpha}|} \quad f = 0 \quad g = \frac{(\beta'' \gamma' - \beta' \gamma'')}{|\dot{\alpha}|}$$

$$k_1 = \frac{e}{E} = \frac{-\gamma'}{\beta |\dot{\alpha}|} \quad k_1 = \frac{g}{G} = \frac{(\beta'' \gamma' - \beta' \gamma'')}{|\dot{\alpha}|^3} \quad K = -\frac{\gamma' (\beta'' \gamma' - \beta' \gamma'')}{|\dot{\alpha}|^4 \beta}$$

OSS:

- $F = 0 \iff \{\varphi_u, \varphi_v\}$  sono base ortogonale di  $T_{\varphi(u,v)} R_C$
- $f = 0 \iff \{\varphi_u, \varphi_v\}$  sono disezioni principali di curvatura, ossia sono autovettori.

**Proposizione 59** Superficie di rotazione  $\implies$  orientabile

**Proposizione 60** Per una superficie di rotazione le linee coordinate sono linee di curvatura.

*Dimostrazione.* Dai risultati precedenti la matrice  $\mathbf{A} = \mathbf{G}^{-1} \mathbf{H} = \begin{pmatrix} e/E & 0 \\ 0 & g/G \end{pmatrix}$  è diagonale

□

**Proposizione 61** Una superficie di rotazione è invariante per le rotazioni attorno all'asse  $z$ .

**Definizione 8.17** (Paralleli e meridiani): Fissati  $v_0, u_0$ :  $\begin{cases} \text{PARALLELO : curva } u \mapsto \varphi(u, v_0) \\ \text{MERIDIANO : curva } v \mapsto \varphi(u_0, v) \end{cases}$

**Proposizione 62** La curvatura di una superficie di rotazione è costante lungo i paralleli.

*Esempio 11 (pseudosfera di Beltrami)* Superficie di rotazione ottenuta ruotando una **trattrice**  $C$  di parametrizzazione  $\alpha(t) = (\sin t, \cos t + \log(\tan t/2))$ . Ha curvatura Gaussiana costante  $K \equiv -1$ .

## 9 Derivata covariante, Simboli di Christoffel e Teorema Egregium

### 9.1 Campi vettoriali

**Definizione 9.1 (campo vettoriale):**  $X \in C^\infty(\Omega, \mathbb{R}^n)$  con  $\Omega \subseteq \mathbb{R}^n$  aperto

$\mathfrak{X}(\Omega)$  spazio vettoriale reale dei campi vettoriali su  $\Omega$ , e presi  $f \in C^\infty(\Omega, \mathbb{R})$  e  $X = (X_1, \dots, X_n) \in \mathfrak{X}(\Omega)$

$$(f \cdot X)(x) := f(x) \cdot X(x) \quad (Xf)(x) := \frac{\partial f}{\partial X}(x) = df_x(X(x))$$

*Osservazione* Dalla definizione differenziale di applicazioni tra varietà vale  $(Xf)(x) = \left[ \frac{d}{dt} f(\alpha(t)) \right]_{t=0}$  con  $\alpha: (-\varepsilon, \varepsilon) \rightarrow X$  tale che  $\alpha(0) = x$   
 $\dot{\alpha}(0) = v$

*Osservazione (proprietà della derivata di una funzione lungo un campo)*

$$\text{LINEARITÀ } X(\lambda_1 f_1 + \lambda_2 f_2) = \lambda_1 Xf_1 + \lambda_2 Xf_2 \quad \text{REGOLA DI LEIBNIZ } X(fg) = (Xf)g + f(Xg)$$

**Definizione 9.2 (derivata di un campo):** Presi  $X, Y \in \mathfrak{X}(x)$ , definiamo  $\frac{\partial Y}{\partial v}$  e  $\frac{\partial Y}{\partial X} : \mathfrak{X}(\Omega) \times \mathfrak{X}(\Omega) \rightarrow \mathfrak{X}(\Omega)$

$$\frac{\partial Y}{\partial v}(x) = \left( \frac{\partial Y_1}{\partial v}(x), \dots, \frac{\partial Y_n}{\partial v}(x) \right)^T \quad \frac{\partial Y}{\partial X}(x) := \frac{\partial Y}{\partial X(x)}(x) = \sum_{i=1}^n X_i(x) \frac{\partial Y}{\partial x_i}(x)$$

*Osservazione (proprietà della derivata di un campo lungo un campo)*

$$\frac{\partial Y}{\partial (f \cdot X)} = f \cdot \frac{\partial Y}{\partial X} \quad \frac{\partial}{\partial X}(f \cdot Y) = (Xf) \cdot Y + f \cdot \frac{\partial Y}{\partial X}$$

#### 9.1.1 Campi vettoriali su superficie e Campi tangenti

**Definizione 9.3 (campo vettoriale su una superficie):**  $X \in C^\infty(S, \mathbb{R}^3)$  campo vettoriale su una superficie  $S$ .

Campo vettoriale *tangente* se  $\forall p \in S$  vale  $X(p) \in T_p S$ , campo vettoriale *normale* se  $S$  orientabile e  $\forall p \in S$  vale  $X(p) \perp T_p S$ .  $\mathfrak{X}(S)$  spazio vettoriale reale dei campi tangenti ad  $S$ , e presa  $f \in C^\infty(S)$

$$(f \cdot X)(p) := f(p) \cdot X(p) \quad (Xf)(p) := df_p(X(p))$$

*Osservazione* Possiamo localmente estendere  $X$  campo su  $S$  a  $\tilde{X} \in \mathfrak{X}(A)$  con  $A \subseteq \mathbb{R}^3$  aperto e  $f \in C^\infty(S)$  a  $\tilde{f} \in C^\infty(A)$ , e vale dunque  $Xf|_{A \cap S} = \tilde{X}\tilde{f}$

### 9.2 Derivata covariante

**Definizione 9.4 (componenti di un campo su una superficie):** Dato  $X: S \rightarrow \mathbb{R}^3$  campo vettoriale su una superficie  $S$ , siano  $X^\top$  e  $X^\perp$  rispettivamente le componenti tangente e normale alla superficie, ovvero

$$X^\perp = \langle X(p), N(p) \rangle \cdot N(p) \quad X^\top = X - X^\perp \quad \forall p \in A \text{ con } A \subset S \text{ aperto orientabile e } N \text{ campo normale}$$

**Definizione 9.5 (derivata covariante):** Presi  $X, Y \in \mathfrak{X}(S)$

$$\nabla_X Y = \left[ \frac{\partial Y}{\partial X} \right]^\top$$

*Osservazione (proprietà della derivata covariante)* Direttamente dalle proprietà della derivata di un campo lungo un campo

$$\nabla_{f \cdot X} Y = f \cdot \nabla_X Y \quad \nabla_X (f \cdot Y) = (Xf) \cdot Y + f \cdot \nabla_X Y$$

#### 9.2.1 Campi coordinati

**Definizione 9.6 (campi coordinati):**  $X_i \in \mathfrak{X}(\varphi(U))$  campo tangente tale che  $X_i := \varphi_{u_i} \circ \varphi^{-1}$  per  $\varphi: U \rightarrow S$  parametrizzazione di  $S$  e  $(u_1, u_2) \in U$

**Proposizione 63 (scomposizione campo tangente)**  $\forall Y \in \mathfrak{X}(\varphi(U)) \exists a_1, a_2 \in C^\infty(\varphi(U))$  tali che  $Y = a_1 X_1 + a_2 X_2$



*Dimostrazione.* Di certo  $\exists! a_1, a_2$  funzioni, siccome  $\forall p \{X_1(p), X_2(p)\}$  base di  $T_p S$ , devo dimostrarle lisce. Suddividendo  $X_1, X_2, Y$  in componenti e ricordando  $X_1(p), X_2(p)$  indipendenti, vale

$$\begin{pmatrix} X_1 & X_2 \\ x_{11} & x_{12} \\ x_{21} & x_{22} \\ x_{31} & x_{32} \end{pmatrix} \begin{pmatrix} a_1 \\ a_2 \end{pmatrix} = \begin{pmatrix} Y \\ y_1 \\ y_2 \\ y_3 \end{pmatrix} \xrightarrow[\text{un minore inv.}]{\text{WLOG}} \begin{pmatrix} a_1 \\ a_2 \end{pmatrix} = \begin{pmatrix} x_{11} & x_{12} \\ x_{21} & x_{22} \end{pmatrix}^{-1} \begin{pmatrix} y_1 \\ y_2 \end{pmatrix}$$

Quindi  $\forall p, a_j$  composizione di funzioni lisce quindi liscia.  $\square$

*Osservazione (campi coordinati normalizzati)* In particolare, per  $\varphi: U \rightarrow S$  parametrizzazione ortogonale i campi coordinati sono ortogonali  $X_1(u) \perp X_2(u)$  e posso essere normalizzati  $e_1 = X_1/\sqrt{E}, e_2 = X_2/\sqrt{G}$

### 9.3 Simboli di Christoffel

*Notazione 4 (convenzione di Einstein)* Indici ripetuti indicano una somma sull'indice (es.  $a_i b^i = \sum_i a_i b^i$ )

*Notazione 5*  $\partial_1 = \frac{\partial}{\partial u_1}$  e  $\partial_2 = \frac{\partial}{\partial u_2}$

**Definizione 9.7 (simboli di Christoffel):**  $\Gamma_{ij}^k := \tilde{\Gamma}_{ij}^k \circ \varphi \in C^\infty(U)$ , con  $\tilde{\Gamma}_{ij}^k \in C^\infty(W)$  tali che  $\nabla_{X_i} X_j = \tilde{\Gamma}_{ij}^k X_k$ , con  $\varphi: U \rightarrow S$  parametrizzazione di  $S$  e  $X_i$  campi coordinati di  $\varphi(U) =: W$ , dunque

$$(\nabla_{X_i} X_j)(\varphi(u)) = \tilde{\Gamma}_{ij}^k X_k(\varphi(u))$$

**Proposizione 64 (proprietà dei simboli di Christoffel)** Valgono

$$(i) \quad (\nabla_{X_i} X_j) \circ \varphi = \varphi_{u_j u_i}^\top \quad (ii) \quad \nabla_{X_i} X_j = \nabla_{X_j} X_i \quad (iii) \quad \Gamma_{ij}^k = \Gamma_{ji}^k$$

*Dimostrazione.* Preso  $u = (u_1, u_2)$ , sia  $\alpha(t) := \varphi(u_1 + t, u_2)$ , per cui dunque  $\dot{\alpha}(0) = \varphi_{u_1} = X_1(\varphi(u))$ , quindi

$$(\nabla_{X_1} X_j)(\varphi(u)) = \left[ \frac{\partial X_j}{\partial X_1}(\varphi(u)) \right]^\top = \left[ \frac{d}{dt} X_j(\alpha(t)) \right]_{t=0}^\top = \left[ \frac{d}{dt} X_j(\varphi(u_1 + t, u_2)) \right]_{t=0}^\top \stackrel{\spadesuit}{=} \varphi_{u_j u_1}(u)^\top$$

( $\spadesuit$ ) siccome  $X_j \circ \varphi = \varphi_{u_j}$ . Analogamente per  $\nabla_{X_2} X_j$ , quindi (i). Per Schwarz  $\varphi_{u_2 u_1} = \varphi_{u_1 u_2}$ , da cui (ii) e (iii).  $\square$

#### 9.3.1 Formula chiusa dei simboli di Christoffel

Presi i coefficienti  $g_{ij} = \langle \varphi_{u_i}, \varphi_{u_j} \rangle$  della prima forma fondamentale, sia  $\langle X_i, X_j \rangle \in \varphi(W)$  la funzione  $p \mapsto \langle X_i(p), X_j(p) \rangle$ , allora  $g_{ij} = \langle X_i, X_j \rangle \circ \varphi$ .

Inoltre, siccome  $\mathbf{G}$  definita positiva e dunque invertibile, sia  $g^{ij} := [\mathbf{G}^{-1}]_{ij}$ , ovvero  $g^{ik} g_{kj} = \delta_{ij}$

**Proposizione 65** Vale

$$\Gamma_{ij}^k = \frac{1}{2} g^{km} \left( \frac{\partial g_{jm}}{\partial u_i} + \frac{\partial g_{im}}{\partial u_j} - \frac{\partial g_{ij}}{\partial u_m} \right) = \frac{1}{2} g^{km} (\partial_i g_{jm} + \partial_j g_{im} - \partial_m g_{ij})$$

*Dimostrazione.* Premesso un lemma

#### Lemma 14

$$\partial_i g_{jk} = \Gamma_{ij}^m g_{mk} + \Gamma_{ik}^m g_{mj}$$

*Dimostrazione.* Preso  $p = \varphi(u)$  e considerate le proprietà dei simboli di Christoffel (i)

$$\begin{aligned} \partial_i g_{jk} &= \frac{\partial}{\partial u_i} \langle \varphi_{u_j}, \varphi_{u_k} \rangle = \langle \varphi_{u_j u_i}, \varphi_{u_k} \rangle + \langle \varphi_{u_j}, \varphi_{u_k u_i} \rangle = \left\langle \varphi_{u_j u_i}^\top, \varphi_{u_k} \right\rangle + \left\langle \varphi_{u_j}, \varphi_{u_k u_i}^\top \right\rangle \\ \partial_i g_{jk}(u) &= \langle \nabla_{X_i} X_j(p), X_k(p) \rangle + \langle X_j(p), \nabla_{X_i} X_k(p) \rangle = \\ &= \langle \Gamma_{ij}^m X_m(p), X_k(p) \rangle + \langle X_j(p), \Gamma_{ik}^m X_m(p) \rangle = \Gamma_{ij}^m g_{mk}(u) + \Gamma_{ik}^m g_{mj}(u) \end{aligned}$$

$\square$

Da una permutazione ciclica degli indici  $i \rightarrow j \rightarrow k \rightarrow i$  e dal risultato del lemma otteniamo

$$\partial_i g_{jk} + \partial_j g_{ki} - \partial_k g_{ij} = 2\Gamma_{ij}^m g_{mk}$$

da cui moltiplicando per  $g^{ks}$  e esplicitando la somma sui  $k$  otteniamo (a meno di cambio di variabili) la tesi

$$g^{ks} (\partial_i g_{jk} + \partial_j g_{ki} - \partial_k g_{ij}) = 2\Gamma_{ij}^m g_{mk} g^{ks} = 2\Gamma_{ij}^m \delta_{ms} = 2\Gamma_{ij}^s$$

□

*Osservazione* La derivata covariante è un oggetto della geometria intrinseca

*Osservazione* In particolare, per una parametrizzazione ortogonale vale  $\mathbf{G} = \begin{pmatrix} E & 0 \\ 0 & G \end{pmatrix}$  e  $\mathbf{G}^{-1} = \begin{pmatrix} 1/E & 0 \\ 0 & 1/G \end{pmatrix}$ , da cui  $g_{km} = g^{km} = 0$  per  $k \neq m$ , e quindi  $\Gamma_{ij}^k = \frac{1}{2} g^{kk} (\partial_i g_{jk} + \partial_j g_{ik} - \partial_k g_{ij})$

$$i = j = k \quad \Gamma_{ii}^i = \frac{1}{2} g^{ii} \partial_i g_{ii} = \frac{\partial}{\partial g_{ii}} (\partial_i g_{ii}) = \frac{1}{2} \partial_i \log g_{ii} = \partial_i \sqrt{\log g_{ii}}$$

$$i = j \neq k \quad \Gamma_{ii}^k = \frac{1}{2} g^{kk} (2\partial_i g_{ik} - \partial_k g_{ii}) = -\frac{1}{2g^{kk}} \partial_k g_{ii}$$

$$\begin{matrix} i = 1 \\ j = 2 \end{matrix} \quad \Gamma_{12}^k = \frac{1}{2} g^{kk} (\partial_1 g_{2k} + \partial_2 g_{1k} - \partial_k g_{12}) = \partial_l \sqrt{\log g_{kk}} \text{ con } l = 1 \text{ se } k = 2, l = 2 \text{ se } k = 1$$

### 9.3.2 Formula chiusa della Curvatura Gaussiana

**Lemma 15** Sia  $\varphi: U \rightarrow S$  parametrizzazione, allora  $\forall u \in U$  vale

$$\det(\mathbf{H}_{\varphi(u)}) = \det(h_{ij})(u) = \langle \nabla_{X_1} \nabla_{X_2} X_2 - \nabla_{X_2} \nabla_{X_1} X_2, X_1 \rangle (\varphi(u))$$

*Dimostrazione.* Preso il versore normale identificato da  $\varphi$ , dalle proprietà dei simboli di Christoffel (i)

$$\begin{aligned} \nabla_{X_1} \nabla_{X_2} X_2 \circ \varphi &= \left[ \overbrace{\partial_1 (\nabla_{X_2} X_2) \circ \varphi}^{\spadesuit} \right]^\top = \varphi_{u_1 u_2 u_2} - h_{22} \cdot \bar{N}_{u_1} \quad \text{siccome } \bar{N}_{u_1} \perp N \\ \spadesuit &\rightarrow \frac{\partial}{\partial u_1} \left[ \overbrace{(\nabla_{X_2} X_2) \circ \varphi}^{\clubsuit} \right] = \varphi_{u_1 u_2 u_2} - \partial_1 h_{22} \cdot N - h_{22} \cdot \partial_1 (N \circ \varphi) = \varphi_{u_1 u_2 u_2} - \partial_1 h_{22} \cdot N - h_{22} \cdot \bar{N}_{u_1} \\ \clubsuit &\rightarrow (\nabla_{X_2} X_2) \circ \varphi = \varphi_{u_2 u_2}^\top = \varphi_{u_2 u_2} - \langle \varphi_{u_2 u_2}, N \rangle \cdot N = \varphi_{u_2 u_2} - h_{22} \cdot N \end{aligned}$$

da cui preso  $\nabla_{X_1} \nabla_{X_2} X_2 \circ \varphi - \nabla_{X_2} \nabla_{X_1} X_2 \circ \varphi = -h_{22} \cdot \bar{N}_{u_1} + h_{12} \cdot \bar{N}_{u_2}$ , deriva la tesi

$$\langle \nabla_{X_1} \nabla_{X_2} X_2 - \nabla_{X_2} \nabla_{X_1} X_2, X_1 \rangle \circ \varphi = -h_{22} \overbrace{\langle \bar{N}_{u_1}, X_1 \circ \varphi \rangle}^{\heartsuit} + h_{12} \overbrace{\langle \bar{N}_{u_2}, X_1 \circ \varphi \rangle}^{\diamondsuit} = h_{11} h_{22} - h_{12} h_{21}$$

$$\heartsuit \rightarrow \langle \bar{N}_{u_1}, X_1 \circ \varphi \rangle = \langle \bar{N}_{u_1}, \varphi_{u_1} \rangle = -\langle N, \varphi_{u_1 u_1} \rangle = -h_{11} \quad \diamondsuit \rightarrow \langle \bar{N}_{u_2}, X_1 \circ \varphi \rangle = -h_{21}$$

□

**Lemma 16**

$$\nabla_{X_i} \nabla_{X_j} X_k = (\partial_i \Gamma_{jk}^m + \Gamma_{jk}^s \Gamma_{is}^m) X_m$$

*Dimostrazione.*

$$\nabla_{X_i} \nabla_{X_j} X_k \circ \varphi = \nabla_{X_i} (\Gamma_{jk}^m \cdot (X_m \circ \varphi)) = (X_i \Gamma_{jk}^m) \cdot (X_m \circ \varphi) + \Gamma_{jk}^m \cdot \nabla_{X_i} (X_m \circ \varphi) = (\partial_i \Gamma_{jk}^m + \Gamma_{jk}^s \Gamma_{is}^m) X_m \circ \varphi$$

□

**Teorema 34 (teorema Egregium - I versione)**

$$K = \frac{\det(h_{ij})}{\det(g_{ij})} = \frac{g_{1m}}{\det(g_{ij})} \left( \frac{\partial \Gamma_{22}^m}{\partial u_1} - \frac{\partial \Gamma_{12}^m}{\partial u_2} + \Gamma_{22}^s \Gamma_{1s}^m - \Gamma_{12}^s \Gamma_{2s}^m \right) = \frac{g_{1m}}{\det(g_{ij})} (\partial_1 \Gamma_{22}^m - \partial_2 \Gamma_{12}^m + \Gamma_{22}^s \Gamma_{1s}^m - \Gamma_{12}^s \Gamma_{2s}^m)$$

*Dimostrazione.* Dai Lemmi precedenti

$$\begin{aligned}\det(h_{ij}) &= \langle \nabla_{X_1} \nabla_{X_2} X_2 - \nabla_{X_2} \nabla_{X_1} X_2, X_1 \rangle = \langle (\partial_1 \Gamma_{22}^m + \Gamma_{22}^s \Gamma_{1s}^m) - (\partial_2 \Gamma_{12}^m + \Gamma_{12}^s \Gamma_{2s}^m), X_1 \rangle \\ &= (\partial_1 \Gamma_{22}^m - \partial_2 \Gamma_{12}^m + \Gamma_{22}^s \Gamma_{1s}^m - \Gamma_{12}^s \Gamma_{2s}^m) \cdot g_{1m}\end{aligned}$$

□

**Corollario 14 (teorema Egregium - II versione)** La curvatura Gaussiana dipende solo dalla prima forma fondamentale e non dalla seconda, ed è dunque oggetto della geometria intrinseca.

*Osservazione* In particolare, per una parametrizzazione ortogonale vale

$$K = \frac{-1}{2\sqrt{EG}} \left( \partial_1 \left( \frac{\partial_1 G}{\sqrt{EG}} \right) + \partial_2 \left( \frac{\partial_2 E}{\sqrt{EG}} \right) \right)$$

## 10 Isometrie tra superfici - geometria intrinseca

La geometria intrinseca studia proprietà oggetti invarianti per isometrie.

**Definizione 10.1 (isometria tra superfici):**  $f: S_1 \rightarrow S_2$  se  $\begin{cases} f \text{ diffeomorfismo tra } S_1, S_2 \subset \mathbb{R}^3 \text{ superfici} \\ df_p: T_p S_1 \rightarrow T_{f(p)} S_2 \text{ è un'isometria} \end{cases}$

$df_p$  è un isometria vuol dire:

- $\forall p \in S_1 \forall \mathbf{v}, \mathbf{v}' \in T_p S_1$  vale  $\langle df_p(\mathbf{v}), df_p(\mathbf{v}') \rangle = \langle \mathbf{v}, \mathbf{v}' \rangle$
- $df_p$  è isometria  $\iff$  la matrice associata è ortogonale.

ovvero se il diff. mantiene gli angoli dei vettori di input.  
 $S_1$  e  $S_2$  sono dette isometriche

**Definizione 10.2 (isometria locale):**  $f: S_1 \rightarrow S_2 \in C^\infty$  t.c.:

- è suriettiva
- è  $C^\infty$
- $\forall p \in S_1 \exists U$  intorno aperto di  $p$  in  $S_1$  t.c.  $f(U)$  è aperto in  $S_2$  e  $f|_U: U \rightarrow f(U)$  è isometria

$S_1$  e  $S_2$  sono dette localmente isometriche se esistono  $f_1 \in C^\infty(S_1, S_2)$  e  $f_2 \in C^\infty(S_2, S_1)$  isometrie locali

*Osservazione* Una isometria locale è un diffeomorfismo locale.

**Esempio 12 (Piano e cilindro)** Esiste un'isometria locale tra il piano ( $S_1$ ) e il cilindro ( $S_2$ ) (posso arrotolare il foglio), data da

$$f: \mathbb{R}^2 \rightarrow \mathbb{R}^3 \mid f(x, y) = \begin{pmatrix} R \cos\left(\frac{x}{R}\right) \\ R \sin\left(\frac{x}{R}\right) \\ y \end{pmatrix}$$

si verifica che  $df_p$  è isometria. Però

- $\nexists g: S_2 \rightarrow S_1$  isometria locale
- $S_1$  e  $S_2$  non sono isometrici, se lo fossero ci sarebbe diffeo. e quindi omeo, ma  $\pi_1(S_1) = \{e\}$  mentre  $\pi_1(S_2) = \mathbb{Z}$

**Proposizione 66 (I di superfici isometriche)**  $f: S \rightarrow S'$  isometria tra superfici,  $\varphi: U \rightarrow S$  parametrizzazione di  $S$ , allora  $\psi := f \circ \varphi$  è parametrizzazione di  $S'$  t.c.  $\forall (v_0, u_0) \in U$  i coefficienti della **I** f.f. di  $S_1$  in  $\varphi(u_0, v_0)$  sono uguali ai coefficienti della **I** f.f. di  $S'$  in  $\psi(u_0, v_0) = f \circ \varphi(u_0, v_0)$ , ovvero  $(g_{ij})_\varphi = (g_{ij})_\psi$

*Dimostrazione.*  $\psi$  parametrizzazione perché  $f$  diffeomorfismo

$$(g_{ij})_\psi = \langle \psi_{u_i}, \psi_{u_j} \rangle = \langle \partial_i (f \circ \varphi), \partial_j (f \circ \varphi) \rangle = \langle df_{\varphi(u)} \varphi_{u_i}, df_{\varphi(u)} \varphi_{u_j} \rangle \stackrel{f \text{ isom}}{=} \langle \varphi_{u_i}, \varphi_{u_j} \rangle = (g_{ij})_\varphi$$

□

**Corollario 15** La curvatura gaussiana è invariante per isometrie,  $K_S(p) = K_{S'}(f(p))$

**Proposizione 67** (locale isometria di superfici con stessa **I**) Se  $S_1, S_2$  superfici e  $\varphi: U \rightarrow S_1$  parametrizzazioni e  $(g_{ij})_\varphi = (g_{ij})_\psi$ , allora  $\varphi(U)$  e  $\psi(U)$  isometriche di isometria  $f := \psi \circ \varphi^{-1}$

$$\begin{array}{ccc} & U & \\ \varphi \swarrow & & \searrow \psi \\ \varphi(U) \subseteq S_1 & \xrightarrow{f := \psi \circ \varphi^{-1}} & \psi(U) \subseteq S_2 \end{array}$$

*Dimostrazione.* Percorrendo a ritroso la dimostrazione della Proposizione 66. □

*Osservazione* Una curva è isometrica a un segmento aperto, tramite la parametrizzazione naturale. La geometria intrinseca delle varietà di dimensione 1 è dunque banale: sono tutte localmente isometriche.

## 11 Trasporto Parallelo e Geodetiche

### 11.1 Campo tangente e Derivata covariante lungo una curva

**Definizione 11.1** (campo vettoriale tangente lungo una curva):  $W \in C^\infty(I, \mathbb{R}^3)$  tangente a  $\alpha: I \rightarrow S$  con  $S$  superficie se  $W(t) \in T_{\alpha(t)}S \forall t \in I$ .

*Esempio 13*  $\dot{\alpha}(t)$  è campo tangente ad  $S$  lungo  $\alpha$

**Definizione 11.2** (derivata covariante lungo una curva):  $\frac{DW}{dt} := \left[ \frac{dW(t)}{dt} \right]^\top$ , dove  $[v]^\top$  è la proiezione di  $v$  su  $T_p S$ . È la derivata del campo vettoriale rispetto alla superficie, ovvero prende la variazione relativa alla superficie, non assoluta in  $\mathbb{R}^3$

siccome vale per  $X, Y \in \mathfrak{X}(S)$  opportuni

$$\frac{D(Y \circ \alpha)}{dt}(t_0) = (\nabla_X Y)(\alpha(t_0)) \quad \text{con } \alpha \text{ curva su } S \text{ tale che } X(\alpha(t_0)) = \dot{\alpha}(t_0)$$

*Osservazione* (**proprietà della derivata**  $\frac{DW}{dt}$ ) Presa  $\varphi: U \rightarrow S$  parametrizzazione contenente  $\alpha(t_0)$ , e  $t \in (t_0 - \varepsilon, t_0 + \varepsilon)$  tale che  $\alpha(t) \in \varphi(U)$

$$\text{REGOLA DI LEIBNIZ } \frac{D}{dt}(fW) = f' \cdot W + f \cdot \frac{DW}{dt} \quad \text{SCOMPOSIZIONE } W(t) = w_i(t) \cdot X_i(\alpha(t))$$

**Proposizione 68** (prodotto scalare di campi lungo una curva) Dati  $\alpha: I \rightarrow S$  e  $V, W$  campi lungo  $\alpha$ , allora vale

$$\frac{d}{dt} \langle V, W \rangle = \left\langle \frac{DV}{dt}, W \right\rangle + \left\langle V, \frac{DW}{dt} \right\rangle \quad \text{con } \langle V, W \rangle(t) := \langle V(t), W(t) \rangle$$

*Dimostrazione.*

$$\frac{d}{dt} \langle V, W \rangle = \left\langle \frac{dV}{dt}, W \right\rangle + \left\langle V, \frac{dW}{dt} \right\rangle = \left\langle \left[ \frac{dV}{dt} \right]^\top, W \right\rangle + \left\langle \cancel{\left[ \frac{dV}{dt} \right]^\perp}, W \right\rangle + \left\langle V, \left[ \frac{dW}{dt} \right]^\top \right\rangle + \left\langle V, \cancel{\left[ \frac{dW}{dt} \right]^\perp} \right\rangle$$

□

**Proposizione 69** (derivata  $\frac{DW}{dt}$  in coordinate) Siano  $(u_1(t), u_2(t)) := \varphi^{-1} \circ \alpha(t)$  e  $w_i$  le scomposizioni in coordinate di  $W$

$$\frac{DW}{dt} = (w'_k + w_j \cdot u'_i \cdot (\Gamma_{ij}^k \circ \alpha)) \cdot (X_k \circ \alpha)$$

*Dimostrazione.* Dimostro per  $W = X_1 \circ \alpha = \varphi_{u_1}(\varphi^{-1} \circ \alpha) = \varphi_{u_1}(u_1(t), u_2(t))$

$$\begin{aligned} \frac{dW}{dt} &= \frac{d}{dt} \varphi_{u_1}(u_1, u_2) = \varphi_{u_1 u_1}(u_1, u_2) \cdot u'_1 + \varphi_{u_1 u_2}(u_1, u_2) \cdot u'_2 \\ \frac{DW}{dt} &= \left[ \frac{dW}{dt} \right]^\top = \varphi_{u_1 u_i}^\top(u_1, u_2) \cdot u'_i = \nabla_{X_1} X_i(u_1, u_2) \cdot u'_i = (\nabla_{X_1} X_i \circ \alpha) \cdot u'_i = u'_i \cdot (\Gamma_{1j}^k \circ \alpha) (X_k \circ \alpha) \end{aligned}$$

La tesi scomponendo con Leibniz  $W = w_i \cdot (X_i \circ \alpha)$

$$\begin{aligned} \frac{DW}{dt} &= \frac{D}{dt} w_k \cdot (X_k \circ \alpha) = w'_k \cdot (X_k \circ \alpha) + w_k \cdot \frac{DX_k \circ \alpha}{dt} = w'_k \cdot (X_k \circ \alpha) + w_j \cdot \frac{DX_k \circ \alpha}{dt} = \\ &= (w'_k + w_j \cdot u'_i \cdot (\Gamma_{ij}^k \circ \alpha)) \cdot (X_k \circ \alpha) \end{aligned}$$

□

### 11.1.1 Campo Parallelo

**Definizione 11.3 (campo parallelo):**  $W \in C^\infty(I, \mathbb{R}^3)$  campo lungo  $\alpha: I \rightarrow S$  è parallelo se  $\frac{DW}{dt} \equiv 0$  su  $I$ .

*Osservazione*  $W$  parallelo  $\iff \begin{cases} \|W\| \text{ costante} \\ \text{angolo che forma } W \text{ con } S \text{ è costante} \end{cases}$ . Infatti un campo parallelo è determinato da un solo vettore in un solo punto (ha il grado di libertà di un vettore).

*Osservazione*  $W$  parallelo  $\iff w'_k = -u'_i \cdot w_j \cdot \Gamma_{ij}^k \circ \alpha$  per  $k = 1, 2$ , ovvero

$$\begin{pmatrix} w'_1 \\ w'_2 \end{pmatrix} = A \cdot \begin{pmatrix} w_1 \\ w_2 \end{pmatrix} \quad \text{con } A_{kj} = -u'_i \cdot \Gamma_{ij}^k \circ \alpha \quad (1)$$

**Proposizione 70 (esistenza e unicità di un campo parallelo)** Dati  $\alpha: I \rightarrow S$ ,  $t_0 \in I$  e  $w \in T_{p_0}S$ ,  $\exists! W$  campo parallelo lungo  $\alpha$  tale che  $W(t_0) = w$  e definito su tutto  $I$ . La mappa  $w \rightarrow W$  è lineare.

*Dimostrazione.* Presa la condizione iniziale  $(\bar{w}_1 \quad \bar{w}_2)^T$ ,  $\exists! (w_1 \quad w_2)^T$  che risolve l'equazione differenziale (1), e dunque  $W(t) := w_i \cdot X_i(\alpha(t))$  campo parallelo. Finita una parametrizzazione ne prendo una nuova, prendo la condizione iniziale e proseguo □

## 11.2 Trasporto Parallelo

**Definizione 11.4 (trasporto parallelo):** Presi  $\alpha: I \rightarrow S$ ,  $t_0, t_1 \in I$  si definisce trasporto parallelo lungo  $\alpha$   $P_{\alpha, t_0, t_1}: T_{\alpha(t_0)}S \rightarrow T_{\alpha(t_1)}S$  tale che  $P_{\alpha, t_0, t_1}(w) := W(t_1)$  con  $W: I \rightarrow \mathbb{R}^3$  unico campo parallelo tale che  $W(t_0) = w$

*Osservazione* Il trasporto parallelo  $P$  è lineare, ed è un isomorfismo tra  $T_{\alpha(t_0)}S$  e  $T_{\alpha(t_1)}S$ . Per semplicità scriviamo  $P_\alpha: T_p S \rightarrow T_q S$  con  $t_0 = 0$ ,  $t_1 = 1$  e  $[0, 1] \subset I$

**Proposizione 71 (trasporto parallelo come isometria tra superfici)**  $P_\alpha$  è un'isometria tra superfici

*Dimostrazione.*  $\langle v, w \rangle = \langle P_\alpha v, P_\alpha w \rangle$  siccome  $\langle V(t_0), W(t_0) \rangle = \langle V(t_1), W(t_1) \rangle$  per i campi paralleli costruiti  $V, W$ , siccome da 68 vale  $\frac{d}{dt} \langle V, W \rangle = \left\langle \frac{DV}{dt}, W \right\rangle + \left\langle V, \frac{DW}{dt} \right\rangle = 0$ . □

**Proposizione 72** Il trasporto parallelo non dipende dalla parametrizzazione di  $\alpha$

*Dimostrazione.* Per  $\beta$  riparametrizzazione di  $\alpha$  prendo  $h$  diffeomorfismo tra le coordinate, il campo parallelo trovato lungo  $\beta$  sarà  $Z = W \circ h$  con  $W$  campo parallelo trovato lungo  $\alpha$  □

**Esempio 14 (trasporto parallelo su una sfera (Levi - Civita))** Trasporto parallelo lungo l'equatore e lungo gli altri paralleli della sfera. Il trasporto parallelo NON è invariante per omotopia

### 11.2.1 Isometrie e Trasporto parallelo

**Proposizione 73 (invarianza per isometria tra superfici della derivata  $\frac{DW}{dt}$ )** Dati  $\alpha: I \rightarrow S$ ,  $V$  campo lungo  $\alpha$  e  $f: S \rightarrow S'$  isometria tra superfici, presi  $\beta := f \circ \alpha$  e  $W(t) := df_{\alpha(t)} V(t)$   $V$  campo lungo  $\beta$ , vale

$$\frac{DW}{dt} = \frac{D}{dt} df_{\alpha(t)} V(t) = df_{\alpha(t)} \left( \frac{DV}{dt} \right)$$

*Dimostrazione.* Sviluppando  $\frac{DW}{dt} = (w'_k + w_j \cdot u'_i \cdot (\Gamma_{ij}^k \circ \alpha)) \cdot (X_k \circ \alpha)$  osservo che  $\frac{DW}{dt}$  si comporta bene per isometria perché per isometria non variano  $\Gamma_{ij}^k$  e  $X_k$ . □

*Osservazione* In particolare  $V$  parallelo lungo  $\alpha \iff W$  parallelo lungo  $\beta$

**Proposizione 74 (invarianza per isometria tra superfici del trasporto parallelo)** Il trasporto parallelo commuta con le isometrie, ovvero  $P_\beta \circ df = df \circ P_\alpha$  ed è commutativo

$$\begin{array}{ccc} T_{\alpha(t_0)}S & \xrightarrow{P_\alpha} & T_{\alpha(t_1)}S \\ df_{\alpha(t_0)} \downarrow & & \downarrow df_{\alpha(t_1)} \\ T_{\beta(t_0)}S' & \xrightarrow{P_\beta} & T_{\beta(t_1)}S' \end{array}$$

*Dimostrazione.* Da 73 e nelle stesse notazioni, con  $V$  parallelo lungo  $\alpha$ ,  $v \in T_{\alpha(t_0)}S$  e  $\bar{v} = df_{\alpha(t_0)}(v)$ , allora

$$P_\beta \bar{v} = W(t_1) = df_{\alpha(t_1)}(V(t_1)) = df_{\alpha(t_1)}P_\alpha v \implies P_\beta \circ df_{\alpha(t_1)} = df_{\alpha(t_0)} \circ P_\alpha$$

□

### 11.3 Geodetiche

**Definizione 11.5 (geodetica parametrizzata):** Curva  $\alpha: I \rightarrow S$  tale che  $\dot{\alpha}: I \rightarrow S$  campo parallelo lungo  $\alpha$ , ovvero  $\frac{D\dot{\alpha}}{dt} = [\ddot{\alpha}]^\top = 0$ . In particolare quindi  $\alpha$  geodetica  $\iff \ddot{\alpha} \perp T_{\alpha(t)}S$  ovvero  $\ddot{\alpha} = \lambda \cdot N(\alpha(t))$ .

*Osservazione*  $|\dot{\alpha}(t)|$  costante per  $\alpha$  geodetica parametrizzata, siccome  $\frac{d}{dt}\langle W, W \rangle = 2\left\langle \frac{DW}{dt}, W \right\rangle = 0$ , per  $W$  campo parallelo lungo  $\alpha$

**Teorema 35** Sia  $\beta: J \rightarrow U \mid \beta(t) = \begin{pmatrix} u(t) \\ v(t) \end{pmatrix}$  curva in  $U$ , sia  $\alpha: J \rightarrow S$  curva tracciata,  $\varphi: U \rightarrow S$  param. t.c.  $\alpha(J) \subseteq \varphi(U)$ .  $\alpha(t) = \varphi \circ \beta = \varphi(u(t), v(t))$  con  $u, v \in C^\infty(J)$ . Allora:

$$\alpha \text{ è geodetica} \iff \begin{cases} \frac{d}{dt}(Eu' + Fv') = \frac{1}{2}(E_u u'^2 + 2F_u u'v'G_u v'^2) = \frac{1}{2}(u', v') \begin{pmatrix} E_u & F_u \\ F_u & G_u \end{pmatrix} \begin{pmatrix} u' \\ v' \end{pmatrix} \\ \frac{d}{dt}(Fu' + Gv') = \frac{1}{2}(E_v u'^2 + 2F_v u'v'G_v v'^2) = \frac{1}{2}(u', v') \begin{pmatrix} E_v & F_v \\ F_v & G_v \end{pmatrix} \begin{pmatrix} u' \\ v' \end{pmatrix} \end{cases}$$

ovvero

$$\frac{d}{dt}(\mathbf{M}\beta') = \frac{1}{2} \begin{pmatrix} \beta'^T \mathbf{M}_u \beta' \\ \beta'^T \mathbf{M}_v \beta' \end{pmatrix}$$

*Osservazione* È un problema di cauchy e le eq. dipendono solo dalla  $\mathbf{I}$  f.f. (geom. intrinseca)

**Corollario 16** Fisso  $p \in S$  superficie. Allora  $\forall v \in T_p \quad \exists! \alpha: (-\varepsilon, \varepsilon) \rightarrow S \mid \begin{cases} \alpha(0) = p \\ \dot{\alpha}(0) = v \\ \alpha \text{ geodetica} \end{cases}$

**Corollario 17 (immagine isometrica di una geodetica parametrizzata)** Le isometrie mandano geodetiche in geodetiche, ovvero  $\alpha$  geodetica su  $S$ ,  $f: S \rightarrow S'$  isometria tra superfici  $\Rightarrow f \circ \alpha$  geodetica

*Dimostrazione.* Da 73,  $\dot{\alpha}$  parallelo lungo  $\alpha \Rightarrow df_{\alpha(t)}(\dot{\alpha}) = W = \dot{\beta}$  parallelo lungo  $f \circ \alpha = \beta$ , ma dunque  $\frac{D\dot{\beta}}{dt} \equiv 0$ ,  $f \circ \alpha$  geodetica parametrizzata □

**Esempio 15 (geodetiche sul cilindro)** Rette verticali, circonferenze orizzontali, eliche. Infatti il piano è isometrico local. al cilindro e quelle appena citate sono le immagini di rette sul piano, che sono le sue uniche geodetiche.

**Definizione 11.6 (triangolo geodetico):** Regione di superficie  $S$  delimitata da tre geodetiche.

**Teorema 36** Presa  $\alpha: J \rightarrow \mathbb{R}$  curva tracciata su  $S$ , se vale che  $\forall t_0, t_1 \in J$  e  $\forall \beta: L \rightarrow S$  curva tracciata t.c.  $\begin{cases} \beta(s_0) = \alpha(t_0) \\ \beta(s_1) = \alpha(t_1) \end{cases}$

$$\int_{s_0}^{s_1} \|\dot{\beta}(\tau)\| d\tau \geq \int_{t_0}^{t_1} \|\dot{\alpha}(\tau)\| d\tau$$

$\implies \alpha$  geodetica.

Ovvero se tra due punti prendo la curva tracciata più corta, allora è geodetica.

*Osservazione* Non è vero il viceversa, infatti posso avere più geodetiche che collegano due punti (vedi cilindro)

## 12 Teorema di Gauss - Bonnet

### 12.1 Valore algebrico della derivata covariante e Curvatura geodetica

Sia  $\bar{\cdot} : T_p S \rightarrow T_p S$  la rotazione di  $90^\circ$  in senso antiorario dei vettori tangenti in  $p$  a  $S$  orientata, ovvero  $\bar{v} := N(p) \wedge v$ .  $\bar{\cdot}$  è un'isometria,  $\langle \bar{v}, \bar{u} \rangle = \langle v, u \rangle$

**Definizione 12.1** (valore algebrico della derivata covariante): Preso  $X$  campo lungo  $\alpha$  tangente a  $S$  orientata tale che  $\|X\| \equiv 1$

$$\left[ \frac{DX}{dt}(t) \right] := \left\langle \frac{DX}{dt}(t), \bar{X}(t) \right\rangle \quad \text{con } \bar{X}(t) = N(\alpha(t)) \wedge X(t)$$

*Osservazione* Siccome vale  $0 = \frac{d}{dt} \|X\|^2 = \frac{d}{dt} \langle X, X \rangle = 2 \langle \frac{DX}{dt}, X \rangle = 0$ , allora  $\frac{DX}{dt} \perp X$  su  $T_{\alpha(t)} S$  e perciò  $\frac{DX}{dt} = \lambda \cdot \bar{X}$ , e  $\{N, X, \bar{X}\}$  base positiva.

**Definizione 12.2** (curvatura geodetica): Per  $\alpha = \alpha(s)$  tracciata su  $s$  e  $X = \dot{\alpha}$  ( $\|\dot{\alpha}\| = 1$ )

$$\kappa_g := \left[ \frac{D\dot{\alpha}}{ds} \right]$$

*Osservazione*  $\kappa_g = \left[ \frac{D\dot{\alpha}}{ds}(t) \right] = \left\langle \frac{D\dot{\alpha}}{ds}, N \wedge \dot{\alpha} \right\rangle = \left\langle [\ddot{\alpha}]^\top, N \wedge \dot{\alpha} \right\rangle = \langle \ddot{\alpha}, N \wedge \dot{\alpha} \rangle$ , e quindi ricordando  $\kappa_n = \langle \ddot{\alpha}, N \rangle$

$$\begin{aligned} \ddot{\alpha} &= \ddot{\alpha}^\perp + \ddot{\alpha}^\top \\ &= \langle \ddot{\alpha}, N \rangle + \langle \ddot{\alpha}, N \wedge \dot{\alpha} \rangle \\ &= \boxed{\kappa_n N + \kappa_g (N \wedge \dot{\alpha})} \end{aligned} \quad \|\ddot{\alpha}\|^2 = \kappa_n^2 + \kappa_g^2$$

dove  $\begin{cases} \kappa_n = \text{curvatura normale (estrinseca)} \\ \kappa_g = \text{curvatura geodetica (intrinseca)} \end{cases}$

#### 12.1.1 Angolo tra campi tangenti lungo una curva

**Lemma 17** Prese  $a, b \in C^\infty(I, \mathbb{R})$  e  $\varphi_0, t_0$  tali che  $a^2 + b^2 \equiv 1$  e  $\begin{matrix} a(t_0) = \cos \varphi_0 \\ b(t_0) = \sin \varphi_0 \end{matrix}$ , allora  $\exists \varphi \in C^\infty(I, \mathbb{R})$  tale

$$\text{che } \varphi(t_0) = \varphi_0 \text{ e } \begin{matrix} a \equiv \cos \varphi \\ b \equiv \sin \varphi \end{matrix}$$

*Dimostrazione.* Se esistesse  $\varphi$  allora varrebbe  $\varphi' = ab' - a'b$  (calcolando  $a'$  e  $b'$ ), definisco allora

$$\varphi(t) := \varphi_0 + \int_{t_0}^t (ab' - a'b)(\tau) d\tau$$

e verifico che sia la  $\varphi$  cercata, ovvero tale che

$$F(t) = (a - \cos \varphi)^2 + (b - \sin \varphi)^2 = 2 - 2 \overbrace{(a \cos \varphi + b \sin \varphi)}^A \equiv 0$$

Ciò è vero vero in quanto  $F(t_0) = 0$  e  $\frac{d}{dt} F \equiv 0$ , dato che (ricordando  $a^2 + b^2 = 1 \Rightarrow 2(aa' + bb') = 0$ )

$$A' = a' \cos \varphi + b' \sin \varphi - a(ab' - a'b) \sin \varphi + b(ab' - a'b) \cos \varphi = [\dots] \stackrel{=0}{=} (1 - b^2 - a^2) [a' \cos \varphi + b' \sin \varphi] = 0$$

□

**Lemma 18** (angolo tra campi tangenti lungo una curva) Prese  $V, W$  campi lungo  $\alpha$  tangente a  $S$  orientata tali che  $\|V\| \equiv \|W\| \equiv 1$ , allora  $\exists \varphi \in C^\infty$  determinazione dell'angolo tra  $V(t)$  e  $W(t)$  (ossia considerando la base lungo  $\alpha$   $\{V(t), \bar{V}(t)\}$   $\exists \varphi$  tale che  $W(t) = \cos \varphi \cdot V + \sin \varphi \cdot \bar{V}$ ) per cui vale  $\left[ \frac{DW}{dt} \right] = \left[ \frac{DV}{dt} \right] + \varphi$

*Dimostrazione.* Ricordando che  $\frac{DV}{dt} = \lambda \cdot \bar{V} \implies \lambda := \langle \frac{DV}{dt}, \bar{V} \rangle$  e che  $\frac{D\bar{V}}{dt} = \overline{\frac{DV}{dt}}$

$$\left[ \frac{DW}{dt} \right] = \left\langle \frac{DW}{dt}, \bar{W} \right\rangle = \left\langle \frac{d\clubsuit W}{dt}, \heartsuit \bar{W} \right\rangle = \varphi' \sin^2 \varphi + \cos^2 \varphi \cdot \left\langle \frac{DV}{dt}, \bar{V} \right\rangle + \varphi' \cos^2 \varphi - \sin^2 \varphi \cdot \left\langle \frac{D\bar{V}}{dt}, V \right\rangle = \varphi' + \left\langle \frac{DV}{dt}, \bar{V} \right\rangle$$

$$\clubsuit \rightarrow \frac{d\clubsuit W}{dt} = -\varphi' \sin \varphi \cdot V + \cos \varphi \cdot \frac{dV}{dt} + \varphi' \sin \varphi \cdot \bar{V} + \cos \varphi \cdot \frac{d\bar{V}}{dt} \quad \heartsuit \rightarrow \bar{W} = \cos \varphi \cdot \bar{V} + \sin \varphi \cdot \bar{\bar{V}} = -\sin \varphi \cdot V + \cos \varphi \cdot \bar{V}$$

□

**Proposizione 75 (angolo tra un campo tangente e  $e_1$ )**  $e_1$  e  $e_2$  campi coordinati normalizzati per una parametrizzazione ortogonale  $\varphi$  compatibile con l'orientazione di  $S$  (vale dunque  $e_2 = \bar{e}_1$ ),  $\psi \in C^\infty$  determinazione dell'angolo tra  $W$  campo unitario lungo  $\alpha(t) = \varphi(u_1(t), u_2(t))$  tangente a  $S$  e  $e_1$  (ossia  $W(t) = \cos \psi \cdot e_1 + \sin \psi \cdot e_2$ ), allora

$$\left[ \frac{DW}{dt} \right] = \frac{1}{2\sqrt{EG}} (u'_2 \cdot \partial_1 G - u'_1 \cdot \partial_2 E) + \psi'$$

*Dimostrazione.* Dal Lemma precedente calcolo  $\left[ \frac{De_1}{dt} \right]$  ( $\spadesuit$  dalla scrittura in coordinate di  $\frac{DX_1}{dt}$  (69) con componenti  $w_1 \equiv 1, w_2 \equiv 0$ )

$$\begin{aligned} \left[ \frac{De_1}{dt} \right] &= \left\langle \frac{De_1}{dt}, \bar{e}_1 \right\rangle = \left\langle \frac{De_1}{dt}, e_2 \right\rangle \stackrel{\diamond}{=} \frac{1}{\sqrt{E}} \left\langle \frac{DX_1}{dt}, e_2 \right\rangle \stackrel{\spadesuit}{=} \frac{1}{\sqrt{E}} (u'_i \cdot \Gamma_{i1}^2(u_1, u_2)) \stackrel{\|X_2\|=\sqrt{G}}{=} \frac{1}{\sqrt{E}} \langle X_2, e_2 \rangle = \\ &= \sqrt{\frac{G}{E}} (u'_1 \cdot \Gamma_{11}^2 + u'_2 \cdot \Gamma_{21}^2) = \sqrt{\frac{G}{E}} \left( u'_1 \cdot \frac{-\partial_2 E}{2G} + u'_2 \cdot \frac{\partial_1 G}{2G} \right) = \frac{1}{2\sqrt{EG}} (u'_2 \cdot \partial_1 G - u'_1 \cdot \partial_2 E) \\ \diamond &\rightarrow \frac{De_1}{dt} = \frac{D}{dt} \left( \frac{1}{\sqrt{E}} \cdot X_1 \right) = \frac{d}{dt} \frac{1}{\sqrt{E}} \cdot X_1 + \frac{1}{\sqrt{E}} \cdot \frac{DX_1}{dt} \\ \spadesuit &\rightarrow \frac{DX_1}{dt} = \left( \overset{\perp e_2}{\bar{w}_1^1} \cdot u'_i \cdot (\Gamma_{i1}^k \circ \alpha) \right) \cdot X_k \quad \text{prendo solo } k=2 \text{ per componente } \|e_2 \end{aligned}$$

□

## 12.2 Curve regolari a tratti, chiuse e semplici e Regione poligonale semplice

**Definizione 12.3 (angolo orientato):**  $\theta := \varepsilon \cdot \arccos \frac{\langle v_1, v_2 \rangle}{\|v_1\| \|v_2\|}$  con  $v, u \in V$  vettori in  $(V, \langle \cdot, \cdot \rangle)$  piano euclideo

orientato e  $\varepsilon = \pm 1$  segno della base  $\{u, v\}$  (se  $u + v \neq 0$ , altrimenti  $\theta = \begin{cases} 0 & u, v \text{ stesso verso} \\ \text{N.D.} & u, v \text{ verso opposto} \end{cases}$ )

**Definizione 12.4 (curva parametrizzata su un compatto):**  $\alpha: [a, b] \rightarrow \mathbb{R}^3$  per cui  $\exists \tilde{\alpha} \in C^\infty((a - \varepsilon, b + \varepsilon), \mathbb{R}^3)$  (per semplicità parametrizzata naturalmente) tale che  $\alpha = \tilde{\alpha}|_{[a, b]}$

*Osservazione* Una curva  $\alpha: [a, b] \rightarrow \mathbb{R}^3$  è regolare se restrizione di  $\tilde{\alpha}$  regolare e quindi  $\dot{\alpha} = \dot{\tilde{\alpha}}|_{[a, b]}$

**Definizione 12.5 (curva regolare a tratti):**  $\alpha: [a, b] \rightarrow \mathbb{R}^3$  per cui  $\exists a = t_0 < t_1 < \dots < t_{N+1} = b$  tali che

- (i)  $\alpha$  continua
- (ii)  $\alpha|_{[t_{i-1}, t_i]}$  curva parametrizzata regolare
- (iii)  $\alpha(t_i)$  non punti di cuspidi

*Osservazione* Per ogni punto  $\alpha(t_i)$  posso identificare due vettori tangenti

$$\dot{\alpha}(t_i^-) := \lim_{s \rightarrow t_i^-} \dot{\alpha}(s) \quad \dot{\alpha}(t_i^+) := \lim_{s \rightarrow t_i^+} \dot{\alpha}(s)$$

In particolare  $\alpha(t_i)$  di cuspidi se  $\dot{\alpha}(t_i^-)$  e  $\dot{\alpha}(t_i^+)$  paralleli e di verso opposto. Sia dunque  $\theta_i$  l'angolo orientato tra  $\dot{\alpha}(t_i^-)$  e  $\dot{\alpha}(t_i^+)$  detto *angolo esterno* (ben definito in quanto non punto di cuspidi).

**Definizione 12.6 (curva semplice e chiusa):**  $\alpha: [a, b] \rightarrow \mathbb{R}^3$  curva parametrizzata tale che

- (i)  $\alpha$  continua
- (ii)  $\alpha(a) = \alpha(b)$
- (iii)  $\alpha|_{[a, b]}$  iniettiva

*Osservazione* Sia  $\theta_0$  l'angolo orientato tra  $\dot{\alpha}(b)$  e  $\dot{\alpha}(a)$



**Definizione 12.7** (regione poligonale semplice):  $R \subseteq S$  compatta tale che

1.  $R$  omeomorfa a  $D^2$  e  $R^\circ$  omeomorfa a  $(D^2)^\circ$
2.  $\partial R$  è curva semplice e chiusa regolare a tratti senza cuspidi nemmeno in  $\alpha(a) = \alpha(b)$

**Definizione 12.8** (curva positivamente orientata):  $\alpha: [a, b] \rightarrow \mathbb{R}^2$  per cui  $\exists R$  regione poligonale semplice in  $\mathbb{R}^2$  tale che  $\partial R = \alpha([a, b])$  e  $R$  rimane sulla sinistra, ovvero  $\forall t \in [a, b] \exists \lambda > 0$  t.c.  $\alpha(t) + \lambda \dot{\alpha}(t) \in R^\circ$

### 12.2.1 Teorema delle tangenti di Heinz Hopf

**Teorema 37** (teorema delle tangenti di Heinz Hopf) Siano  $\alpha: [a, b] \rightarrow \mathbb{R}^2$  curva semplice e chiusa regolare a tratti senza cuspidi,  $\beta_i: (t_i - \varepsilon, t_{i+1} + \varepsilon) \rightarrow \mathbb{R}^2$  le estensioni regolari dei tratti  $\alpha|_{[t_i, t_{i+1}]} = \beta_i|_{[t_i, t_{i+1}]}$  e  $\psi_i \in C^\infty$  determinazioni dell'angolo fra  $\dot{\beta}_i$  e  $e_1 = (1, 0)$  (75). Allora

$$\sum_{i=0}^N [\psi_i(t_{i+1}) - \psi_i(t_i)] + \sum_{i=0}^N \theta_i = \pm 2\pi$$

Il segno  $\pm$  è concorde con l'orientazione di  $\alpha$  (+ per  $\alpha$  positivamente orientata)

### 12.3 Gauss - Bonnet locale

**Teorema 38** (Gauss - Green) Sia  $\Omega \subseteq \mathbb{R}^2$  aperto,  $R \subseteq \Omega$  regione poligonale semplice con  $\partial R = \alpha([a, b])$  semplice chiusa, regolare a tratti, e  $P, Q \in C^\infty(\Omega)$ . Allora

$$\iint_R (\partial_1 Q - \partial_2 P) du_1 du_2 = \int_{\partial R} P du_1 + Q du_2 := \int_a^b [P(\alpha(t)) u'_1(t) + Q(\alpha(t)) u'_2(t)] dt$$

**Teorema 39** (Gauss - Bonnet locale) Siano  $S$  superficie orientata,  $\varphi: U \rightarrow S$  parametrizzazione ortogonale,  $R \subseteq \varphi(U) \subseteq S$  regione poligonale semplice con  $\partial R = \alpha([a, b])$  semplice chiusa e regolare a tratti ( $\alpha(t) = \varphi(u_1(t), u_2(t))$ ), e  $\theta_i$  angoli esterni nei vertici  $\alpha(t_i)$ . Allora

$$\iint_R K d\sigma + \sum_{i=0}^N \int_{t_i}^{t_{i+1}} \kappa_g(s) ds + \sum_{i=0}^N \theta_i = 2\pi$$

*Dimostrazione.* Siano  $\psi_i \in C^\infty$  determinazioni dell'angolo fra  $\dot{\alpha}_i$  e  $e_1 = \frac{X_1}{\|X_1\|}$ , allora dalla (75) vale che  $\kappa_g(s) = \left[\frac{D\dot{\alpha}}{ds}\right] = \left[\frac{De_1}{ds}\right] + \psi_i$  e quindi definito  $A := \left[\frac{De_1}{ds}\right]$  si ha

$$\begin{aligned} \sum_{i=0}^N \int_{t_i}^{t_{i+1}} \kappa_g(s) ds &= \sum_{i=0}^N \left[ \int_{t_i}^{t_{i+1}} A(s) ds + \psi_i(t_{i+1}) - \psi_i(t_i) \right] = \int_a^b A(s) ds + \sum_{i=0}^N [\psi_i(t_{i+1}) - \psi_i(t_i)] \stackrel{(37)}{=} \\ &= \boxed{\int_a^b A(s) ds} + 2\pi - \sum_{i=0}^N \theta_i = - \iint_R K d\sigma + 2\pi - \sum_{i=0}^N \theta_i \end{aligned}$$

Sviluppando ora  $A = \left[\frac{De_1}{ds}\right]$  come da (75) e ricordando lo sviluppo di  $K$

$$A = \frac{1}{2\sqrt{EG}} (u'_2 \cdot \partial_1 G - u'_1 \cdot \partial_2 E) \quad K = \frac{-1}{2\sqrt{EG}} \left( \partial_1 \left( \frac{\partial_1 G}{\sqrt{EG}} \right) + \partial_2 \left( \frac{\partial_2 E}{\sqrt{EG}} \right) \right)$$

$$\begin{aligned} \spadesuit \rightarrow \int_a^b A(s) ds &= \int_{\varphi^{-1}(\partial R)} \left[ \frac{-\partial_2 E}{2\sqrt{EG}} u'_1(t) + \frac{\partial_1 G}{2\sqrt{EG}} u'_2(t) \right] ds = (\text{Gauss - Green}) \\ &= \iint_{\varphi^{-1}(R)} \left[ \partial_1 \left( \frac{\partial_1 G}{2\sqrt{EG}} \right) + \partial_2 \left( \frac{\partial_2 E}{2\sqrt{EG}} \right) \right] du dv = - \iint_{\varphi^{-1}(R)} K \cdot \boxed{\frac{d\sigma \text{ per } F=0}{\sqrt{EG} du dv}} = - \iint_R K d\sigma \end{aligned}$$

□

**Esempio 16** (teorema di Gauss sul triangolo geodetico) Se  $R = T$  triangolo geodetico si ha  $N = 2$ ,  $\kappa_g \equiv 0$  e presi gli angoli interni  $\alpha_i = \pi - \theta_i$ , dal teorema di Gauss - Bonnet locale

$$\iint_R K d\sigma = \alpha_0 + \alpha_1 + \alpha_2 - \pi$$

## 12.4 Triangolazioni

**Teorema 40 (classificazione delle superfici)**  $\forall S$  superficie compatta e orientata è omeomorfa a un  $g$ -toro (toro con  $g$  buchi).  $g \in \mathbb{N}$  è detto *genere* di  $S$

**Definizione 12.9 (regione poligonale):**  $R \subseteq S$  compatta con  $S$  superficie orientata e  $\partial R = \bigsqcup_{j=1}^k C_j$  con  $C_j$  curva semplice e chiusa regolare a tratti senza cuspidi e orientata in modo da tenere  $R$  a sinistra (cioè in senso antiorario per i bordi esterni e orario per gli interni)

**Definizione 12.10 (triangolazione):**  $\mathcal{T} = \{T_i\}$  triangolazione di  $R \subseteq S$  regione poligonale se  $T_i \subseteq R$  omeomorfi al triangolo chiuso tali che  $R = \bigcup_i T_i$  per  $i \neq j$

$$T_i \cap T_j = \begin{cases} \emptyset \\ \text{un lato in comune} \\ \text{un vertice in comune} \end{cases}$$

Quindi NO vertice che tocca lato, lati che si toccano ma parzialmente (uno più corto), triangoli che si sovrappongono

**Definizione 12.11 (caratteristica di Eulero - Poincaré):** Data  $S$  e  $\mathcal{T}$  una sua triangolazione,

$$\chi(\mathcal{T}) = \overset{F}{\# \text{facce}} - \overset{L}{\# \text{lati}} + \overset{V}{\# \text{vertici}}$$

### 12.4.1 Teoremi sulle triangolazioni

**Teorema 41 (esistenza di una triangolazione)**  $\forall R \subseteq S$  regione poligonale esiste sempre  $\mathcal{T}$  triangolazione.

**Teorema 42 (buona definizione di  $\chi$ )**  $\forall R \subseteq S$  la caratteristica di Eulero - Poincaré  $\chi(\mathcal{T})$  non dipende dalla triangolazione  $\mathcal{T}$  ma solo da  $R$ .

**Proposizione 76 (caratteristica di un  $g$ -toro)** Per  $R$   $g$ -toro vale  $\chi(R) = (2 - 2g)$

**Proposizione 77 (invarianza omologica di  $\chi$ )**  $\chi(R)$  è invariante per omologia di  $R$

## 12.5 Gauss - Bonnet globale

**Teorema 43 (Gauss - Bonnet globale)** Siano  $S$  superficie orientata,  $R \subseteq S$  regione poligonale con  $\partial R = \bigsqcup_{j=1}^k C_j$ , e  $\chi(R)$  caratteristica di Eulero - Poincaré. Allora

$$\iint_R K d\sigma + \sum_{j=1}^k \int_{C_j} \kappa_g(s) ds + \sum_{j=1}^k \left( \sum_{\text{di } C_j}^{\text{ang. est.}} \theta_s \right) = 2\pi \cdot \chi(R)$$

*Dimostrazione.* Sia  $\mathcal{T} = \{T_i\}_{i=1}^F$  triangolazione di  $R$ ,  $l_{ji}$  lati orientati positivamente e  $\theta_{js}$  angoli esterni di  $T_j$ ,  $\{P_1, \dots, P_V\}$  vertici di  $\mathcal{T}$ ,  $\{\beta_{ti} = \pi - \alpha_{ti}\}_i$  angoli esterni nel vertice  $P_t$ ,  $h_t := \#\{\beta_{ti}\}_i$  e  $q_t := \#\{\text{lati in } P_t\}$ . Allora applicando Gauss - Bonnet locale ai  $T_j$  e sommando sui  $T_j$  ottengo

$$\iint_{T_j} K d\sigma + \sum_{i=1}^3 \int_{l_{ji}} \kappa_g + \sum_{s=1}^3 \theta_{js} = 2\pi \quad \xrightarrow{\sum_{j=1}^F} \quad \boxed{\sum_{j=1}^F \sum_{i=1}^3 \iint_{T_j} K d\sigma} + \boxed{\sum_{j=1}^F \sum_{i=1}^3 \int_{l_{ji}} \kappa_g} + \boxed{\sum_{j=1}^F \sum_{s=1}^3 \theta_{js}} = 2\pi \cdot F$$

$$\begin{aligned}
\heartsuit &\rightarrow \sum_{j=1}^F \sum_{i=1}^3 \int_{l_{ji}} \kappa_g = \sum_{\substack{l \text{ lato} \\ \text{esterno}}} \int_l \kappa_g = \sum_{j=1}^k \int_{C_j} k_g(s) ds && \text{siccome i lati interni vengono} \\
&&& \text{percorsi due volte in sensi opposti} \\
\clubsuit &\rightarrow \sum_{j=1}^F \sum_{s=1}^3 \theta_{js} = \sum_{t=1}^V \sum_{i=1}^{h_t} \beta_{ti} = \sum_{t=1}^V (h_t \cdot \pi - \boxed{\sum_{i=1}^{h_t} \alpha_{ti}}) = \sum_{t=1}^a \left( \overbrace{h_t}^{q_t-2} \right) \pi + \sum_{t=a+1}^V \left( \overbrace{h_t}^{q_t-2} \right) \pi + \sum_{\text{di } \partial R}^{\text{ang. est.}} \sigma_s = \\
&= \sum_{t=1}^V (q_t - 2) \pi + \sum_{\text{di } \partial R}^{\text{ang. est.}} \sigma_s = \boxed{\sum_{t=1}^{2 \cdot L} q_t} \cdot \pi - 2\pi \cdot V + \sum_{\text{di } \partial R}^{\text{ang. est.}} \sigma_s = 2\pi \cdot L - 2\pi \cdot V + \sum_{\text{di } \partial R}^{\text{ang. est.}} \sigma_s \\
\Diamond &\rightarrow \sum_{i=1}^{h_t} \alpha_{ti} = \begin{cases} 2\pi & \text{per } P_t \text{ v. interno} \\ \pi & \text{per } P_t \text{ v. est. punto liscio di } \partial R, \\ \pi - \theta_s & \text{per } P_t \text{ v. est. spigolo di } \partial R \end{cases} \quad h_t = \begin{cases} q_t & \text{per } P_t \text{ v. interno} \\ q_t - 1 & \text{per } P_t \text{ v. esterno} \end{cases}
\end{aligned}$$

$$\left( \iint_R K d\sigma \right) + \left( \sum_{j=1}^k \int_{C_j} k_g(s) ds \right) + \left( 2\pi \cdot L - 2\pi \cdot V + \sum_{\text{di } \partial R}^{\text{ang. est.}} \sigma_s \right) = 2\pi \cdot F$$

□

**Teorema 44 (Gauss - Bonnet globale per genere)** Presa  $S \subseteq \mathbb{R}^3$  superficie compatta e orientata e  $g$  genere di  $S$  vale

$$\iint_S K d\sigma = 2\pi (2 - 2g)$$

**Corollario 18** Se  $K > 0 \forall p \in S$ , allora  $g = 0$  e  $S$  è omeomorfa allo 0-toro ovvero a  $S^1$

*Dimostrazione.*  $2 - 2g > 0 \Rightarrow g < 1 \Rightarrow g = 0$

□

## Parte III

# Recap

## 13 Geometria algebrica

### 13.1 Gruppi fondamentali

- $\pi_1(X \times Y) = \pi_1(X) \times \pi_1(Y)$   $\rightarrow$  vedi toro  $T = S^1 \times S^1$
- $\pi_1(X \vee Y) = \pi_1(X) * \pi_1(Y)$   $\rightarrow$  vedi bouquet di due circonferenze  $B = S^1 \vee S^1$

Gruppi Fondamentali				
$S^1$	$S^{n \geq 2}$	$T = S^1 \times S^1$	$\mathbb{R}^2$ - retta	$\mathbb{R}^2$ - circonferenza
$\mathbb{Z}$	$\{*\}$	$\mathbb{Z} \times \mathbb{Z}$	$\mathbb{Z}$	$\mathbb{Z}$

$\frac{C_a * C_b}{\ll ab^{-1} \gg} \cong \mathbb{Z}$	$\frac{C_a * C_b}{\ll aba^{-1}b^{-1} \gg} \cong \mathbb{Z}^2$
--	---

## 14 Geometria differenziale

### Geometria Intrinseca

$\mathbf{I}_p$  e  $(g_{ij})$  Lunghezza vettori tangenti e curve su  $S$  Area regioni di  $S$  Curvatura Gaussiana

### Geometria Estrinseca

Campo ortogonale  $N$  Operatore di Weingarten  $L_p$   $\mathbf{II}_p$  e  $(h_{ij})$

**Invarianti** Invarianti Topologici Gruppo fondamentale Dimensione Invarianti intrinseche  
**Trasformazioni** Omeomorfismi Equivalenza omotopica Diffeomorfismi Isomorfismi

### 14.1 Curve e curvature

Nome	Definizione	Formula
Curvatura (per curva)	$\kappa(s) = \ \ddot{\alpha}(s)\ $	$\kappa(s(t)) = \frac{\ \alpha' \wedge \alpha''\ }{\ \alpha'\ ^3}$
Curvatura normale	$\kappa_n := \ \ddot{\alpha}(s)^\perp\ $	$\kappa_n := \kappa(0) \cdot \langle N(p), \mathbf{n}(0) \rangle = \kappa \cos \theta$
Curvatura geodetica	$\kappa_g := \ \ddot{\alpha}(s)^\top\  = \left\  \frac{D\dot{\alpha}}{ds} \right\ $	$\kappa_v(p) = h_p(\mathbf{v}, \mathbf{v}) = \langle L_p \mathbf{v}, \mathbf{v} \rangle$
Direzione asintotica Curva asintotica	$L \subset T_p S$ retta tale che $\forall \mathbf{v} \in L$ vale $\mathbf{II}_p(\mathbf{v}, \mathbf{v}) = 0$ $C \subseteq S \mid \forall p \in C, \forall \mathbf{v} \neq \mathbf{0} \in T_p C \subset T_p S : \mathbf{v}$ dir. asin. $\iff [\ddot{\alpha}]^\perp = 0$	$\ddot{\alpha}^\top = \langle \ddot{\alpha}, N \wedge \dot{\alpha} \rangle = k_g(N \wedge \dot{\alpha})$
Geodetica	$\alpha \mid \dot{\alpha}$ campo parall. lungo $\alpha$ $\iff [\ddot{\alpha}]^\top = 0$	
Sezione normale	$C = S \cap (p + H)$ con $v \in T_p S$ e $H = \text{span}(N(p), v)$	
Curvature principali Direzioni principali Linea di curvatura	$k_1, k_2$ autovalori di $L_p$ autospazi di $L_p$ $\alpha \mid \alpha'$ direz. di curvatura $\forall t$	
Curvatura Gaussiana	$K(p) = k_1 k_2 = \det L_p = \frac{\det \mathbf{H}}{\det \mathbf{G}}$	
Curvatura media	$H(p) = k_1 + k_2 = \text{Tr}(L_p)$	
Paralleli (sup. di rot.) Meridiani (sup. di rot.)	curva $u \mapsto \varphi_{\text{standard}}(u, v_0)$ curva $u \mapsto \varphi_{\text{standard}}(u_0, v)$	

Curvature (scalari $\in \mathbb{R}$ )		Direzioni (rette $\in T_p S$ )		Curve $\subset S$	
Curvatura	$\ \ddot{\alpha}(s)\ $	Direzione:		Curva:	$\forall p \in \alpha(s)$
– normale	$\ \ddot{\alpha}(s)\ ^\perp$	(asintotica)		(asintotica)	$[\ddot{\alpha}]_p^\perp = \mathbf{II}_p(\dot{\alpha}, \dot{\alpha}) = 0$
– geodetica	$\ \ddot{\alpha}(s)\ ^\top$			geodetica	$[\ddot{\alpha}]_p^\top = \left[\frac{D\dot{\alpha}}{ds}\right]_p = 0$
– principali	$k_1, k_2 \in \sigma(\mathbf{II}_p)$	principali asintotica	$k_i$ -autospazio 0-autosp (dim=1)	principali (linee di curv.) asintotica	$\mathbf{II}_p(\dot{\alpha}, \dot{\alpha}) = k_i$ $\mathbf{II}_p(\dot{\alpha}, \dot{\alpha}) = 0$
– gaussiana	$k_1 \cdot k_2 = \det(\mathbf{II}_p)$				
– media	$k_1 + k_2 = \text{tr}(\mathbf{II}_p)$				
				paralleli meridiani	curva $\theta \mapsto \varphi(\theta, z_0)$ curva $z \mapsto \varphi(\theta_0, z)$

### Legenda:

■ vale  $\forall$  direzione iniziale in  $T_p S$

■ riguarda la  $\mathbf{II}_p$

■ riguarda ogni superficie di rotazione in parametrizzazione standard, ovvero: presa  $\alpha: (a, b) \rightarrow C$  parametrizzazione di  $C$  ( $\alpha = (z, f(z))$ ),

$$\varphi: (0, 2\pi) \times (a, b) \rightarrow S \mid \varphi(\theta, z) = \begin{pmatrix} f(z) \cos \theta \\ f(z) \sin \theta \\ z \end{pmatrix}$$

### Ricordiamo:

- curva asintotica  $\begin{matrix} \Rightarrow \\ \Leftarrow \end{matrix}$  linea di curvatura
- geodetica  $\begin{matrix} \Rightarrow \\ \Leftarrow \end{matrix}$  linea di curvatura
- paralleli/meridiani  $\begin{matrix} \Rightarrow \\ \Leftarrow \end{matrix}$  geodetiche + linee di curvatura